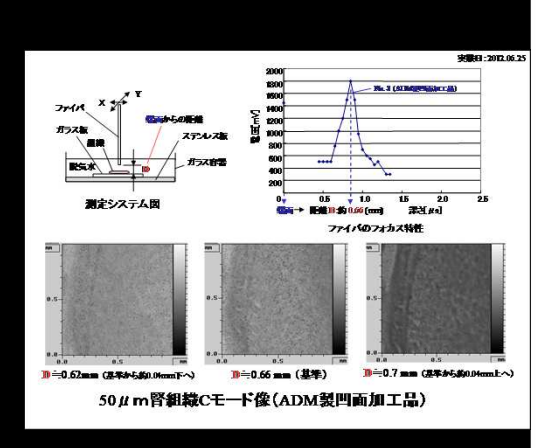
超音波による計量診断

伊東紘一 常陸大宮済生会病院·名誉院長 自治医科大学名誉教授 日本超音波医学会名誉会員

日本学術会議医療技術開発学講演会
香川県高松市

常陸大宮済生会病院 自治医科大学

ME(医用工学) 臨床検査医学 内科診断学 超音波医学 医療技術開発学







United States Patent tob et al.		Patent No.: Date of Patent;	US 8,021,30: Sep. 20,
ULTRASOL ND PROBE, ULTRASONIH-RAPII, AND ULTRASONOGRAPHY	FORTEGN EXTENT PROCESSENTS		
	49.	0872391 07-mi	31895 top 0

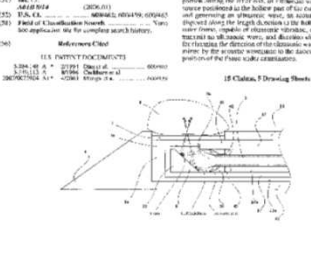
(Zi) Apol. No.: 11/975,009

1171 PC/ Da. No.: 15-02065030349 Prior Publication Date 85 JAN 2007 217 A1 Apr. 24, 2745

PCT//GP2085/014775

(6) PCYNA

OTHER PUBLICATIONS





门以下全台。

PK 54 17

JP 4415021 82 2011.11.16

(P47507)

##460k 12 (# 11 M | 日本年本会 2000年 (全月を マイクリストラルズ土を マイクリストラルズ土を エイクリストラルズ土を ので、「大人」 1000日 (1000日) 1000日 (1000日) 1000日 (1000日) 100日 (100日) 100日 (10 ---

(SEOS 2 CERT (SE)

位配収明金組の支払に向けられて副配用(ミラ・ドより更引された存取認合権の方向を 成人で実定者検別機に向け得収する。下板な第273一と、からなる。 ことを特徴とする。認用成プロ・ブ・

「通式名2] 少なくとも背配相自被反連挙対が、質配外要名の中意思は、仕予方向に行って過数率割 コ 少なくとも背配相自被反連挙対が、質配外要名の中意思は、仕予方向に行って過数率割











特許第4815621号

発明の名称 (TITLE OF THE INVENTION)

超音波プローブ及び超音波診断装置

特許権者 (PATEN EF)

東京都文京区本郷3-9…11

マイクロソニック株式会社

発明者 : NVENTORO

出版書号 OMPOILED THOM HUMBERO

特概2006-535129

2: 85 2) (Filling DATE)

平成17年 9月12日(September 12, 2005)

登録日 (NEGISTHAFTION DATE)

平成23年 9月 9日(September 9,2011)

この発明は、特許するものと確定し、特許原準に登録されたことを証する。 (THIS IS TO GARTERY INAT THE PATENT IS RELISTEDED ON THE INCIDING OF THE JAPAN PATENT CIFFICE.)

平成23年 9月 9日(September 9,701)

その他別象製薬

特許庁長官 (COMMISSIONER, JAPAN PATIN OFFICE)



(施書 1)

特許第4815621号:PATENT MANBERO

特額2006-535129 APPLICATION NUMBERO

発明者 : NVENTONO

入江 喬介

【以下余白》



(12) United States Patent Itoh et al.

- (54) ULTRASOLND PROBE, ULTRASONOGRAPH, AND ULTRASONOGRAPHY
- (75) Inventore Konichi Mah, Tokyo (1P); Tadashi Moriya, Kanagawa (1P); Takasuke Irie.
- (73) Assignee: Microsonic Co., Ltd., Toxyo (IP)
- (*) Notice: Sulger, to any displainer, the term of this patent is extended or adjusted under 35 U.S.C. 154(b) by 971 days.
- 11/575,069 (21) Apol. No.:
- (22) PCI Filed: Sep. 12, 2045
- (86) PCT No.: PC717JP2005/016775 \$ 371 (091).
 - (2), (4) Date: Oct. 22, 2007
- (87) PCT Pub. No.: 14/O2006/028249 PCT Pub. Date: Maz. 16, 2006
- Prior Publication Data
- US 3006/0097217 A1 Apr. 24, 2108 (30) Pareign Application Priority Data

(51) Int. Cl.

- AGIR NIIA (2026.01)
- (52) U.S. Cl. 60IN462; 600/459; 600/463 (58) Field of Classification Search
 - Yuna Soc application tile for complete search history.

References Clied

U.S. PATENT DOCUMENTS

5.284.148 A * 5.549.113 A		Dias et al		
2003/0073964 A15	4/2003	Manga at a N00439		

US 8,021,305 B2 (.0) Patent No.: (45) Date of Patent; Sep. 20, 2011

FOREIGN PATENT DOCUMENTS

0672334 3/1995

(Girtimin)

OTHER PUBLICATIONS

His Zhiqimg et al., "Karosei Denso Soundo Madikija Pidag Asalishu. Hosbiki Choompa Naisinikwo na Kento", The Transactions of the Institute of Fleemonies, information and Communication Engineers A, Dea I, 2001, vol. J84 A, No. 12, pp. 1557 1a64.

Printery Estambler Unau Jung

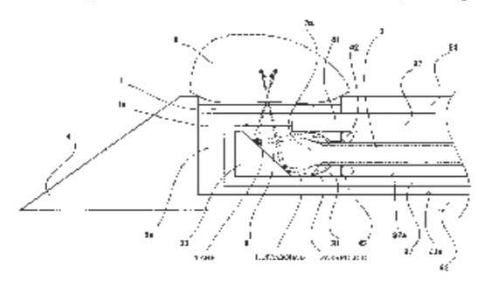
Assistant Examiner Nigel Fortents

(34) Attonies, Agent, or Firm Laws Hauptman Ham & Berner, LJ.P.

ABSTRACT

A non-invasive thaving sufficiently small diameter so as not to give nauch pain to a subject) ultrasonic ultrasound probe of high special resolution and high signal-to-noise ratio, an altrasociograph using the proper, and an ultrasonography are pen-sided. The ultrasound probe is inserted into the classe under examination and transmits an ultrasonic wave. The probe is characterized by comprising a bollow outer frame having odd of needle shipe, a purctive needle portion having the one and and inverted into the risses of the subject, and an exceeded parties inving the other and, an otherwise wave generating source positioned in the hollow part of the extended position and generating an ultrasonic wave, an acoustic waveguide disposed along the length direction to the hollow pair of the unter frame, enpublic of olunsonic vibration, and acsored to transmit to ull associa wave, and direction changing masses for changing the direction of the chrosonic wave beam transmirror by the acoustic waveguide to the direction toward the position of the Fisage under examination.

15 Claims, 5 Drawing Sheets



JP 4815821 82 2011.11.16

112)特 許 公 報(82) (18) 日本国特許厅(19) (11) 表對係号 特許着4815621月 (P4815621) 20分差第日 平成公年9月8日(2011, 9.5) (45) 発行日 平4829年11月18日(2011.11.16) (51) Int. Cl. A618 8/12 (2008, 81) A81B 8/12 調水頃の数 12 (全 2) 頁) (21) 出願會等 特限2006 585128 \$2006-535123) (73) 特許推計 500583286 (80) (22) 出版日 平成17年8月12日(2005.9.12) マイクロソニック株式会社 60) 国際出版電号 PCT/JP2005/016775 東京領文京区本第3-9-11 (87) 国際公開会号 N02006/028243 (74) 代理人 1(0000051 神許學研法人共生互際特許事務所 (67) 国際公開日 平成18年3月16日 (2006.3.16) 平成20年6月19日 (2008.6.19) 春至開来日 (72)発明者 伊東 唯一 (81) 優先楼主要委号 特別2004-264146 (92004-254) 45 東京都新書区大久保一「目14番1]号 平成16年9月10日 (2004. 9. 10) (32) 極先日 749発明書 守星 正 (93) 優先極主義的 日本国(99) 神奈川県横浜市舎菜区松開合1-8 グラ シフォルA青条白3 106 (72) 発用者 入江 南介 東京都町田市本町田3040-27 等在官 育川 督復 最終責に続く (54) 【発眼の名称】超音波プローブ及び超音波珍麗要量 (57)【特許請求の範囲】 [無來與:] 被検羅機に挿入され、配音波を照射する超音波プローブであって、 一方の先端が針状をした中空前状の外装体と、 前記外装体は、前記一方の先端を含み被検報欄に挿入される雰朝針部と、他方の端を含 む類性部からなり、 前記鑑仲部の中央部に位置して、前記超音波を発生する超音被発信儀と、 前記外機体の中空部に、長季方向に沿って超音波表面可能なように設置され、常利超音 波を伝達する超音波伝達部材と、 前記辞계針部の中空部に位置して、前記聞音波伝達部材により伝達された超音波ピーム 10 の方向を複換組織の位置する向さに変換する方向変換手段と、を含み、 前記型音波伝達部材は、最先得に向かって直径の新禅するテーパー状の分離部を有し、 前記方向変換手段は、前記超音波伝達部材の動方向を中心とする国際放物面をなして前 記録刺針部の先輩は面しつつ前記超音波伝達部射の先端部の関語全角を随む第1ミラーと 前記穿刺針部の先端に微けられて前記第1ミラ、打より反射された前記超音波の方向を

変えて前記被検糾維に向け限制する、平板を第2ミラーと、からなる。

少なくとも前記組音被伝達部材が、前配外装体の中空部に、長手方向に沿って前記穿刺 20

ことを特徴とする、超音波プロ・ゾー

[請求30.2]

粉件 日本国教艺术



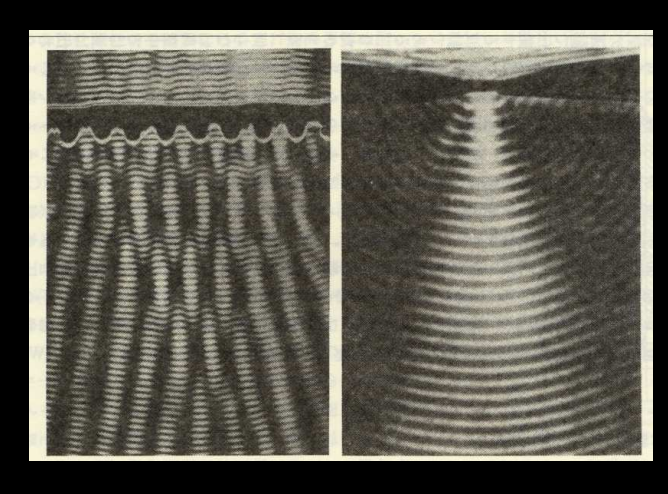
「超音波による計量診断」

- 1;どのようにして超音波で生体内部を見るのか
- 2;超音波医学の発展に貢献した日本人たち
- 3;生体内組織レベルの情報を得る方法
 - ①超音波断層像 ②音響組織特性 ③血流情報
- 4; 超音波を用いた定量的な診断法
 - (1)音響組織特性
 - ①音響パラメーター ②組織レベルの情報
 - ③定量的解析(数值化)
 - (2)ボリューム計測
 - ①二次元画像利用 ②三次元画像利用
- 5;診断法
 - ①存在診断 ②部位診断 ③質診断 ④グレード診断

超音波とは

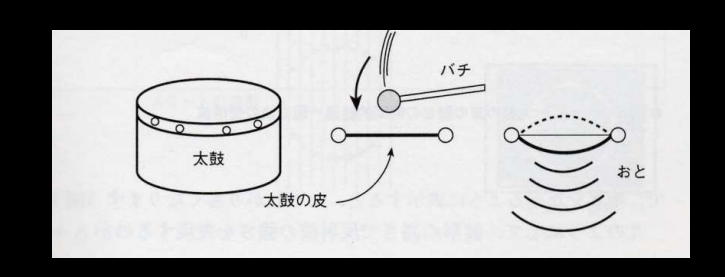


音響標識

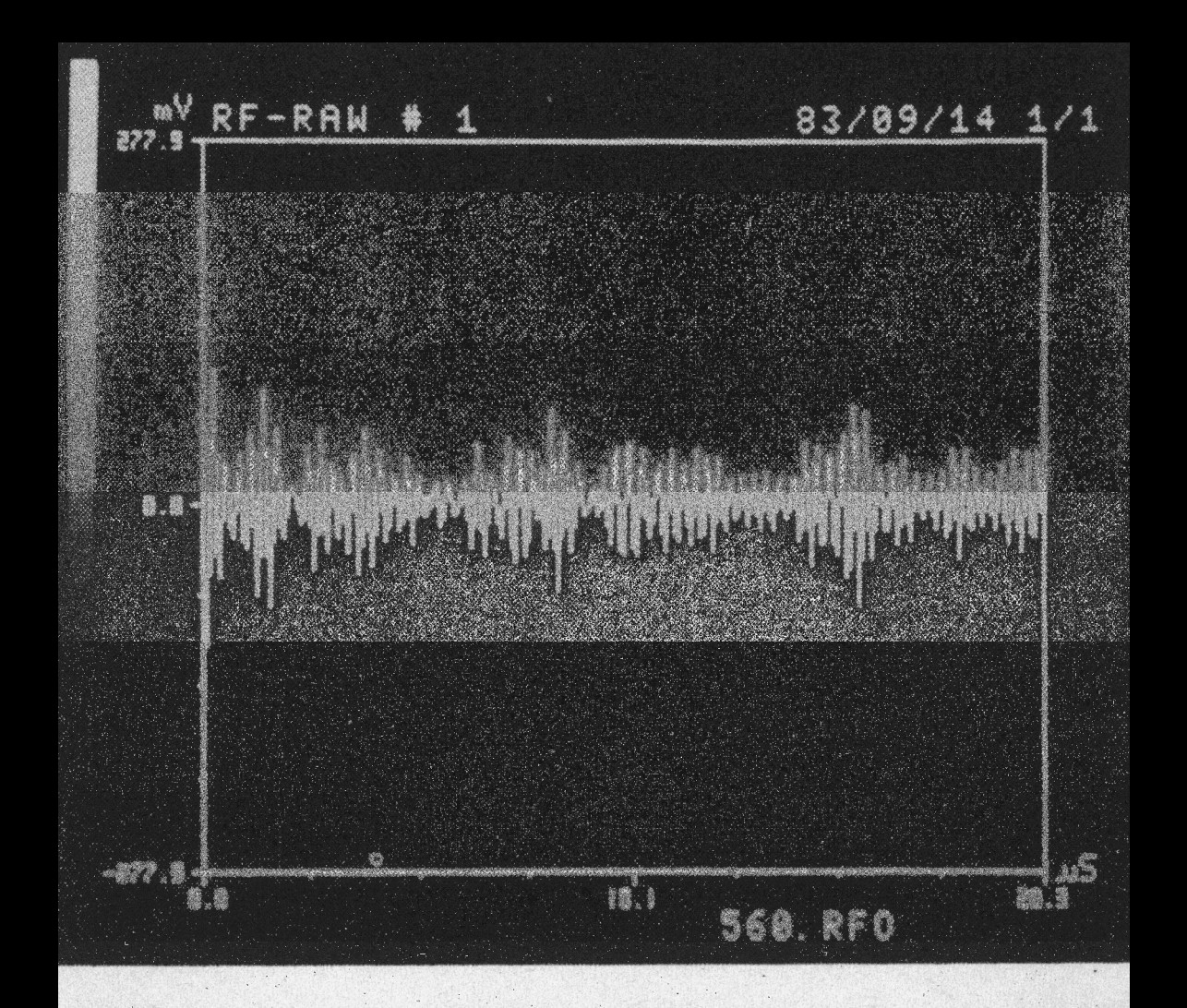


- 動物ではコウモリ、イルカ、蛾、などが発信と受信を行っている。また、犬笛で知られているように、動物に聞き取れるが「人には聞き取れないようなレベルの周波数」を超音波という。
- 臨床診断に用いる超音波のレベルは、メガヘルツMHz(1--30)
- ・治療にはキロヘルツKHz〜細胞内の染色体や細胞や組織の構造描出も可能
- 探傷器、工業分野における利用 は盛んである

どの様にして超音波で生体内部を見るのか

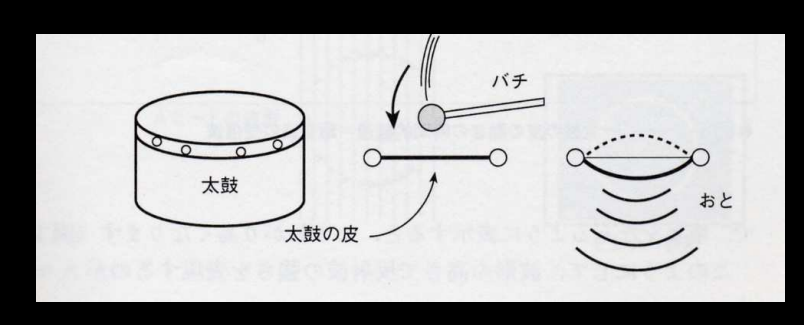


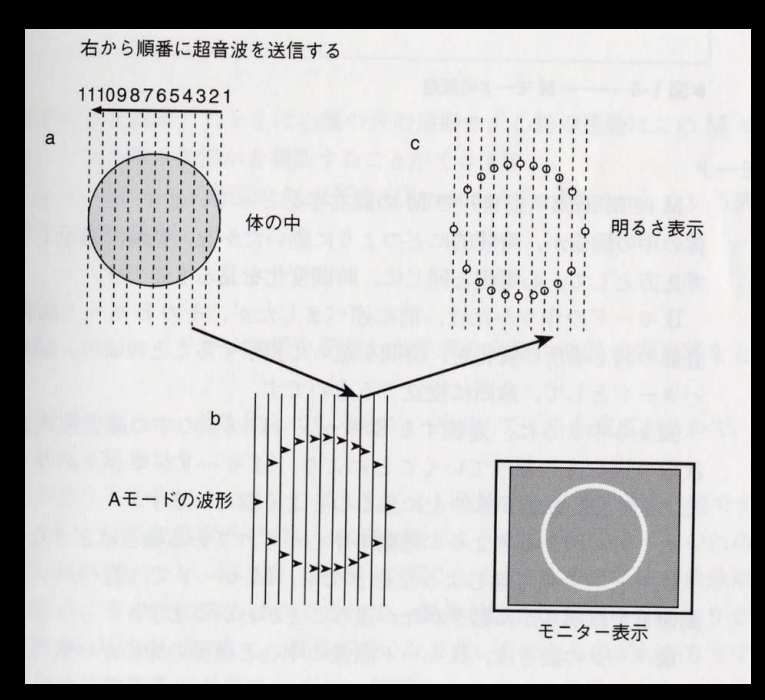
- Radio Frequency(RF) 信号から解剖学的断層像を作る
- 実時間超音波画像により高精細、動画像を得ること が可能になった
- ▶ドプラ法による血流画像を得た
- 超音波造影剤(マイクロバブル)を利用する

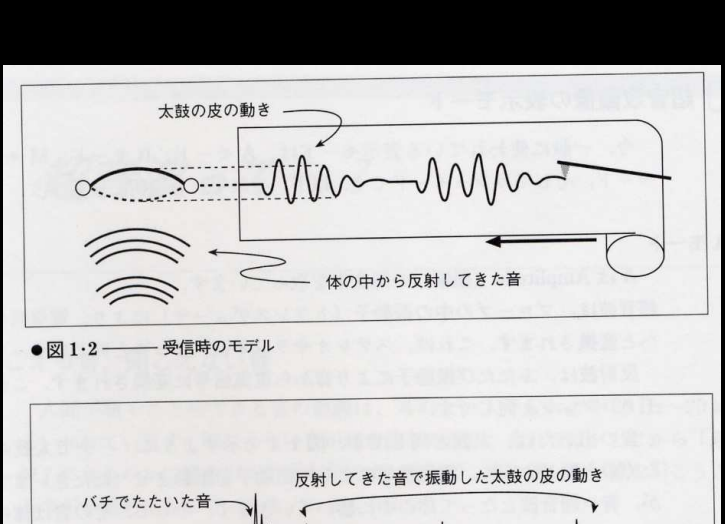


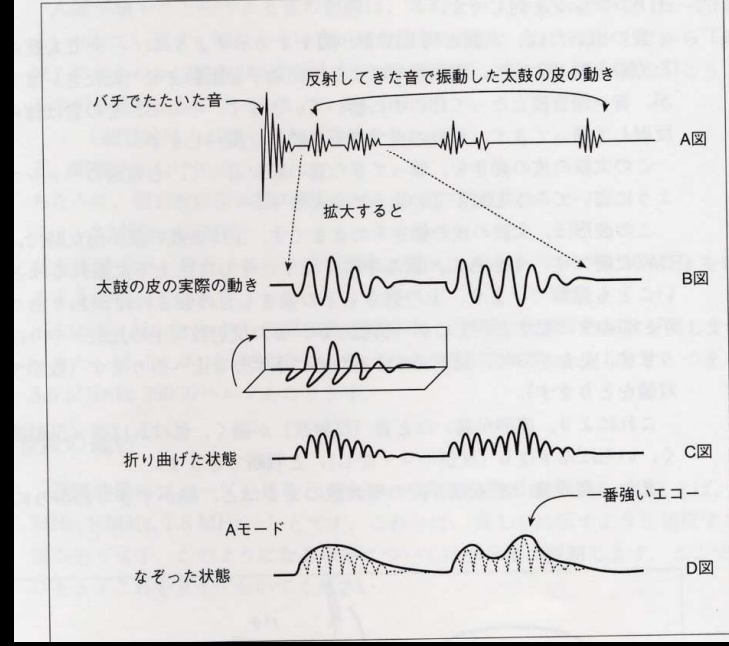
RFデータ

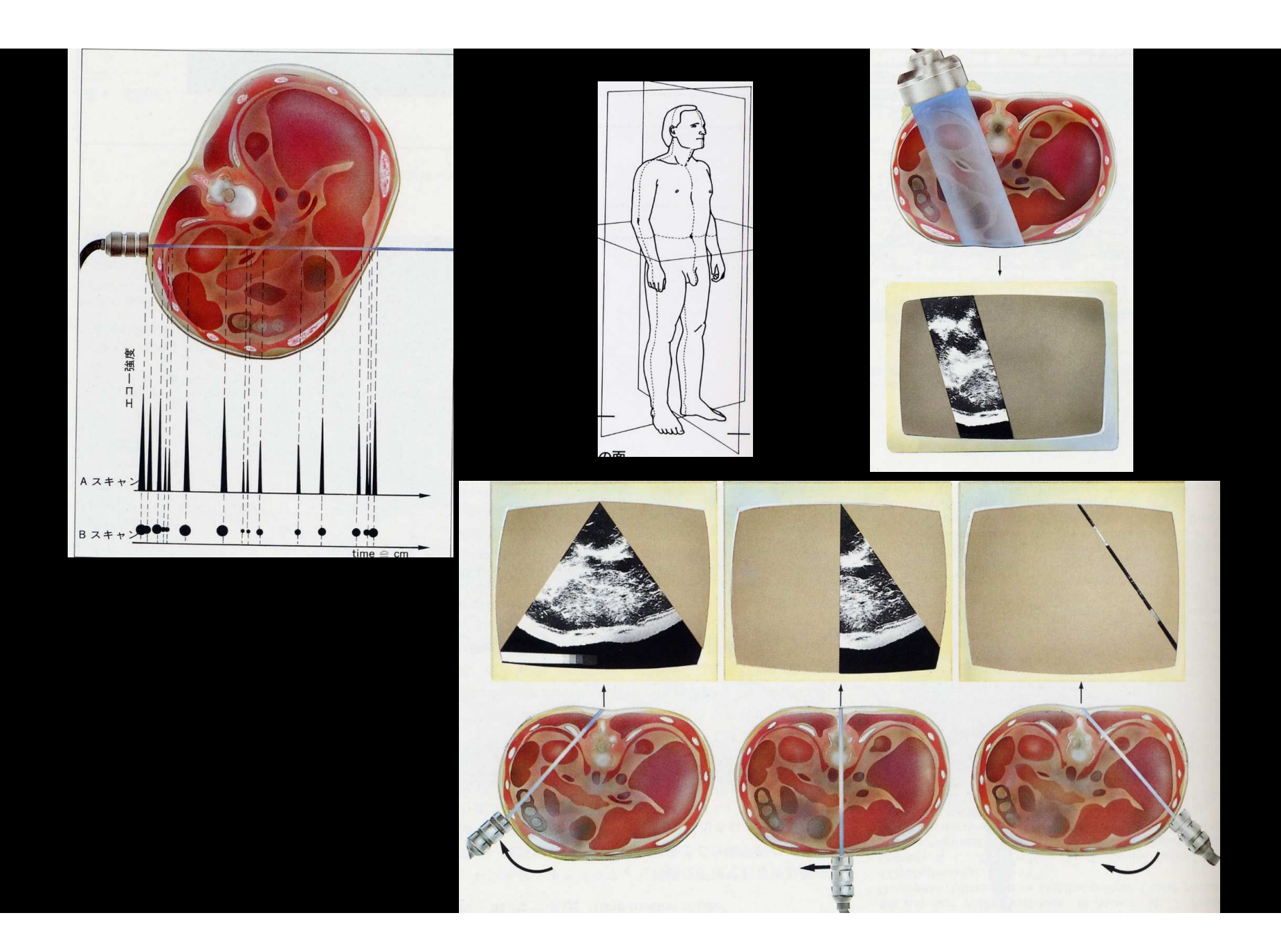
超音波画像構築法













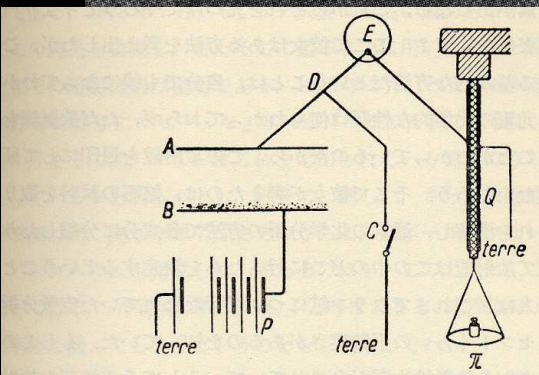
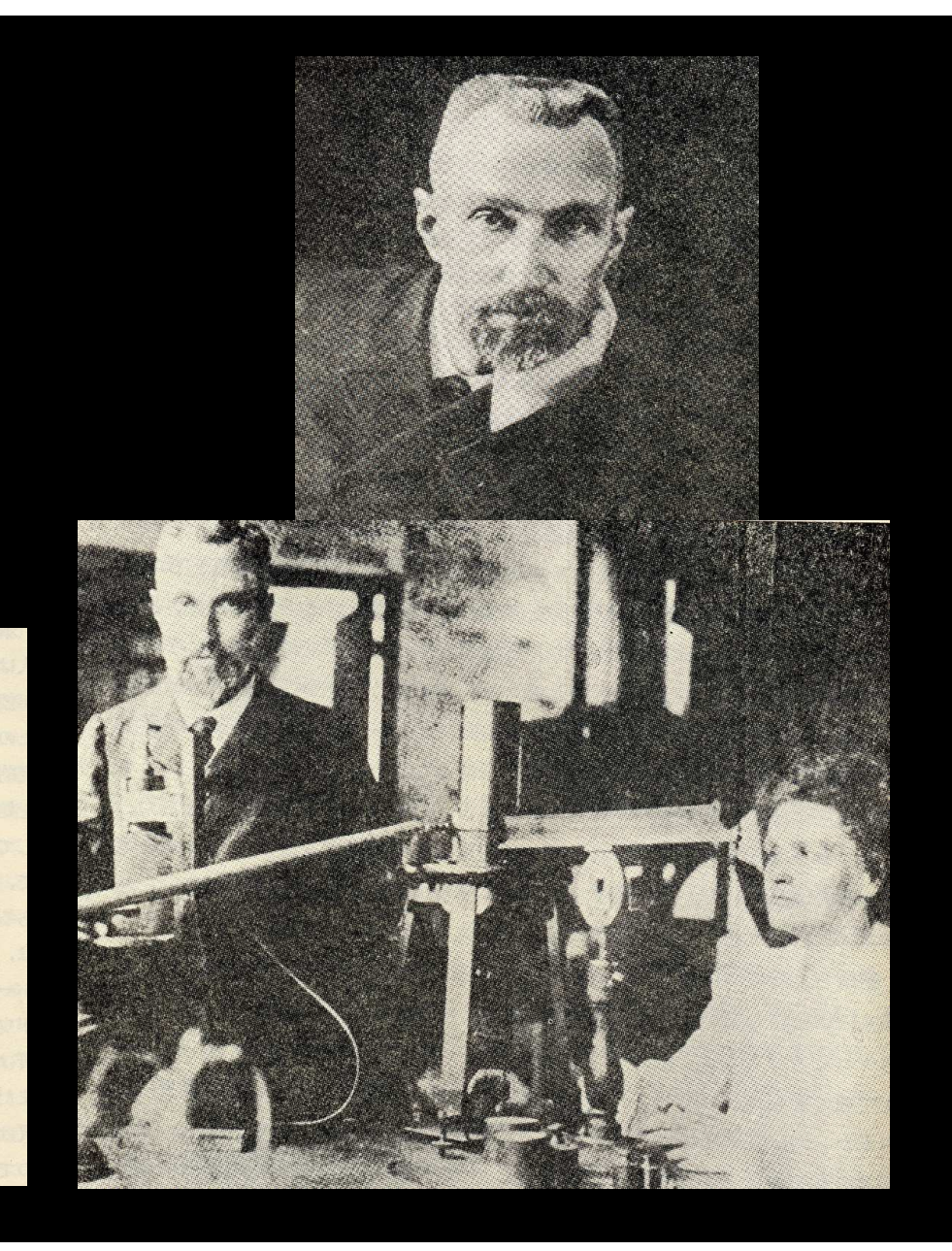


図2.5 電位計の図解. Revue générale des Sciences [10, 41 (1899)] に載ったマリー・キュリーの論文より. この装置は、Bに置かれた放射性物質から出る放射線によって起こる空気のイオン化の度合を測定するのに用いられた. コンデンサー ABの下側の極板Bに放射性物質が置かれている. 電位計Eは、ピエゾ電気を発生する水晶Qに、おもりによって生じた電位差が、イオン化のために流れた電流による電位差を正確に打ち消すところを検出するために用いられる.



超音波の発展に貢献した日本

- 技術立国 (平賀源内、からくり人形、他)
- 人工水晶生産 (戦艦大和の大砲)
- 階調性画像
- スキャンコンバータの利用
- 電子型診断装置と振動素子
- カラードプラ装置
- コンベックス型振動子
- 多段フオーカス

オートクレーブのインストール





オートクレーブ内部の状態



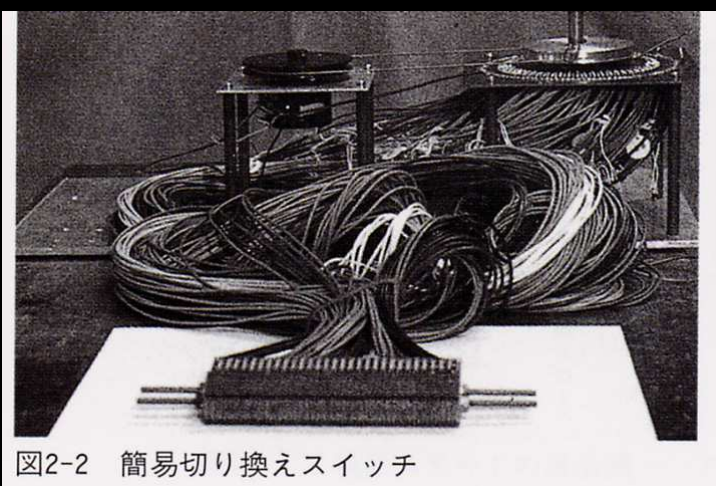




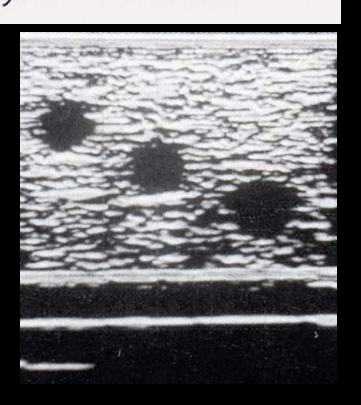
育成後結晶引き上げの様子

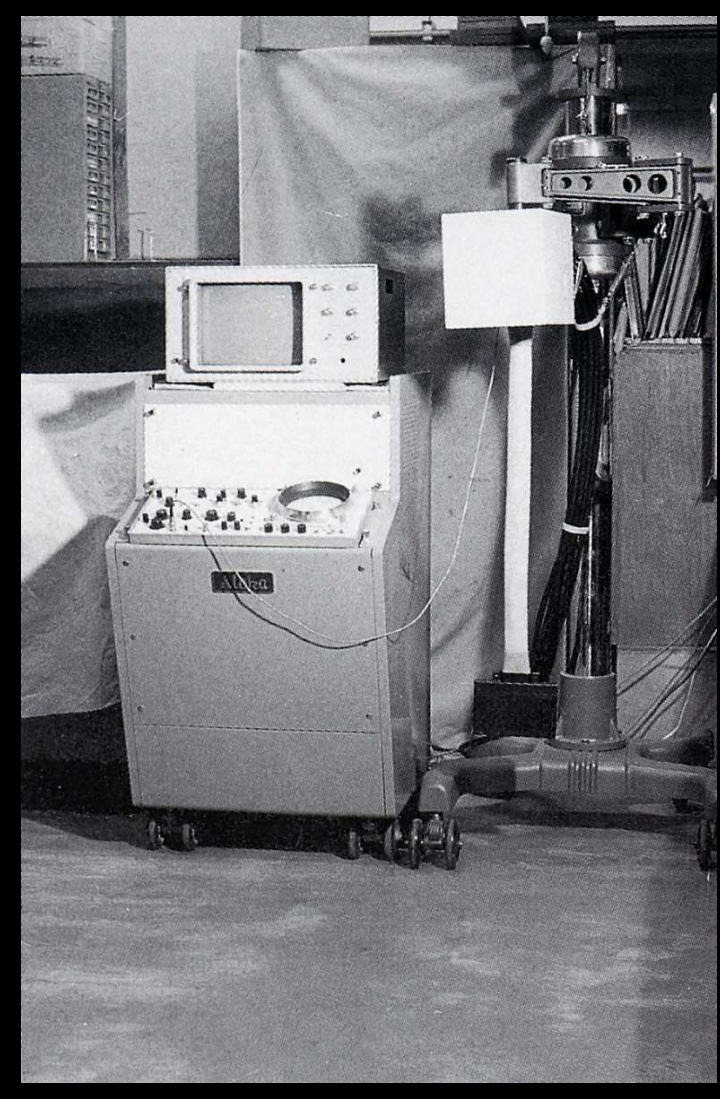




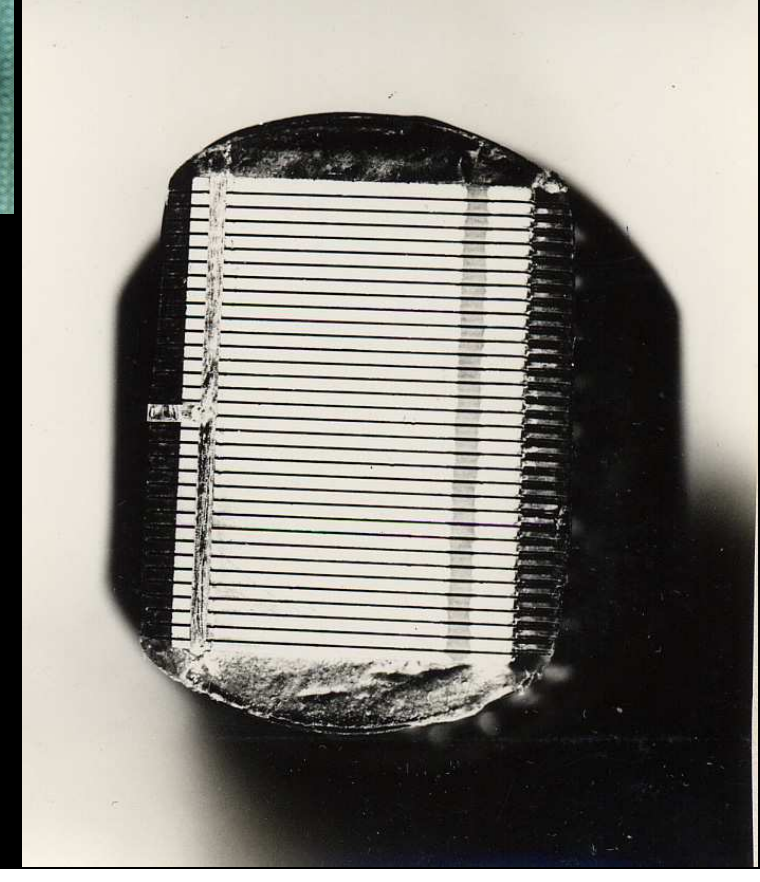


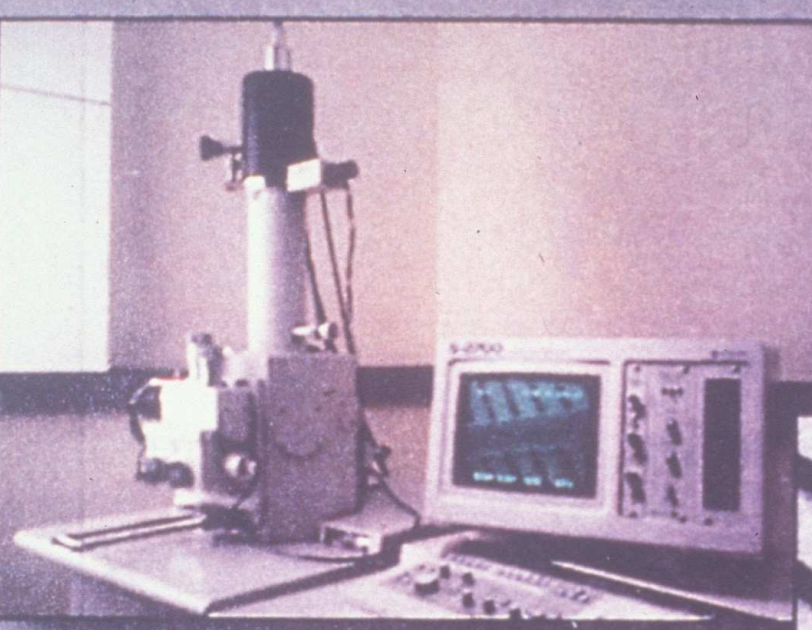






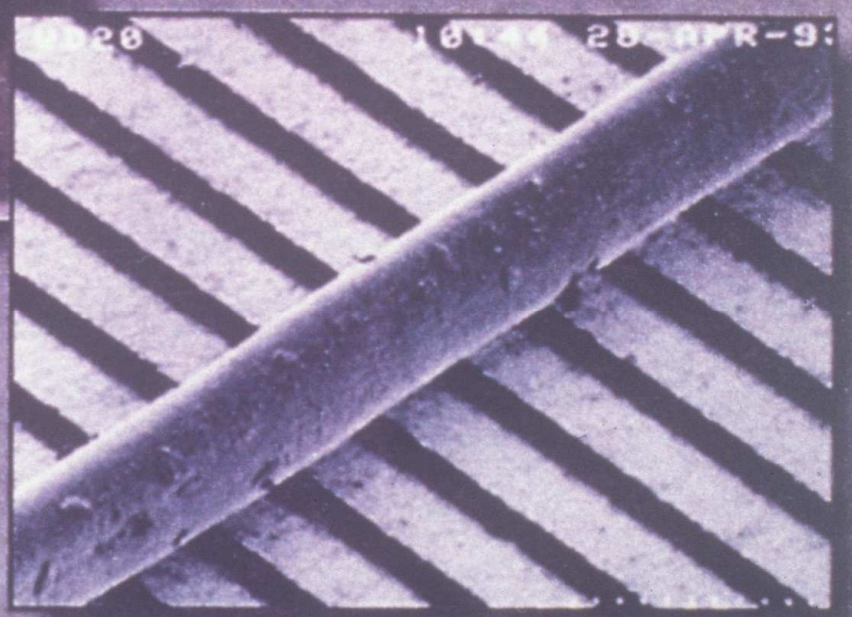


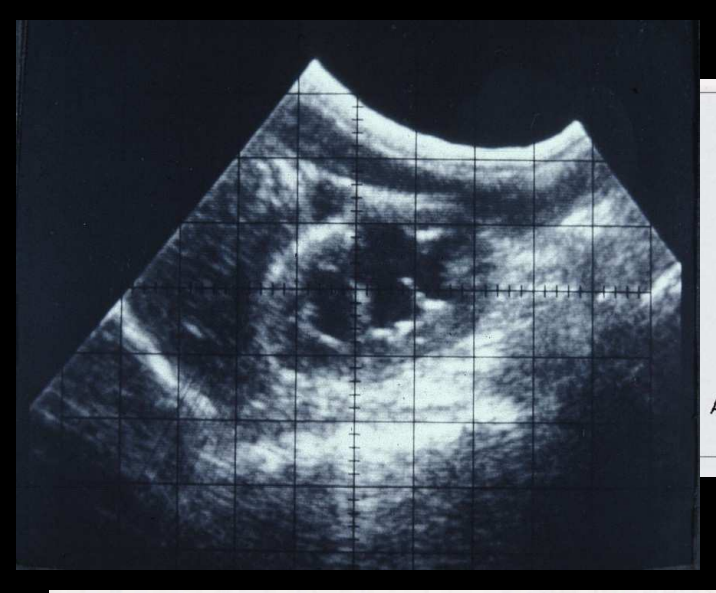


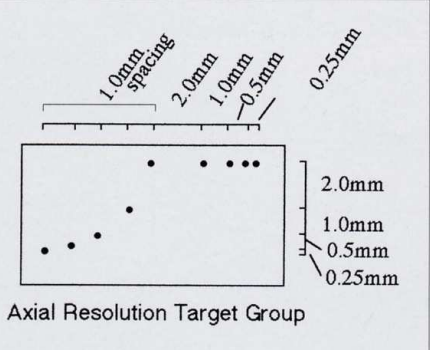


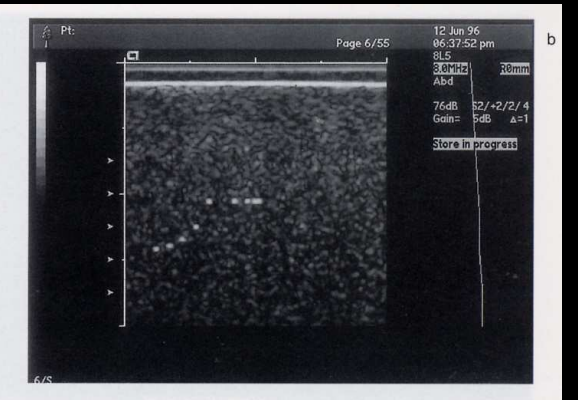
Scanning electron microscope

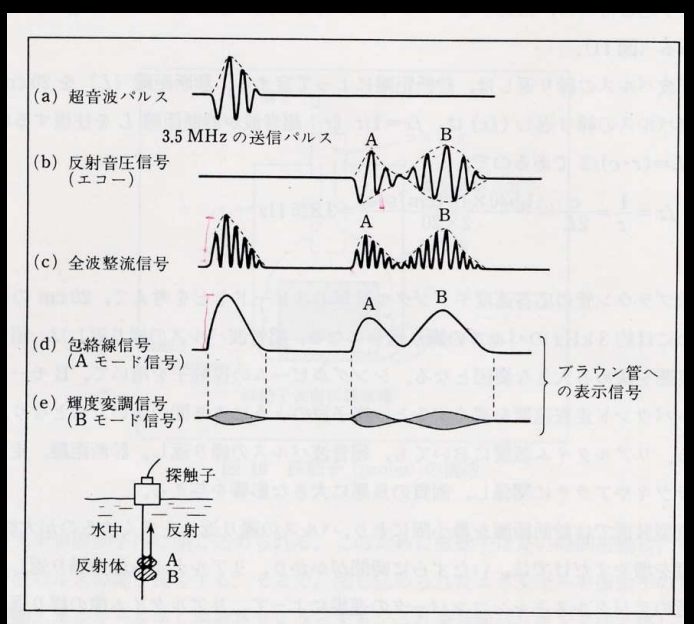
Micrograph of a human hair across the tiny elements of the V7 transducer



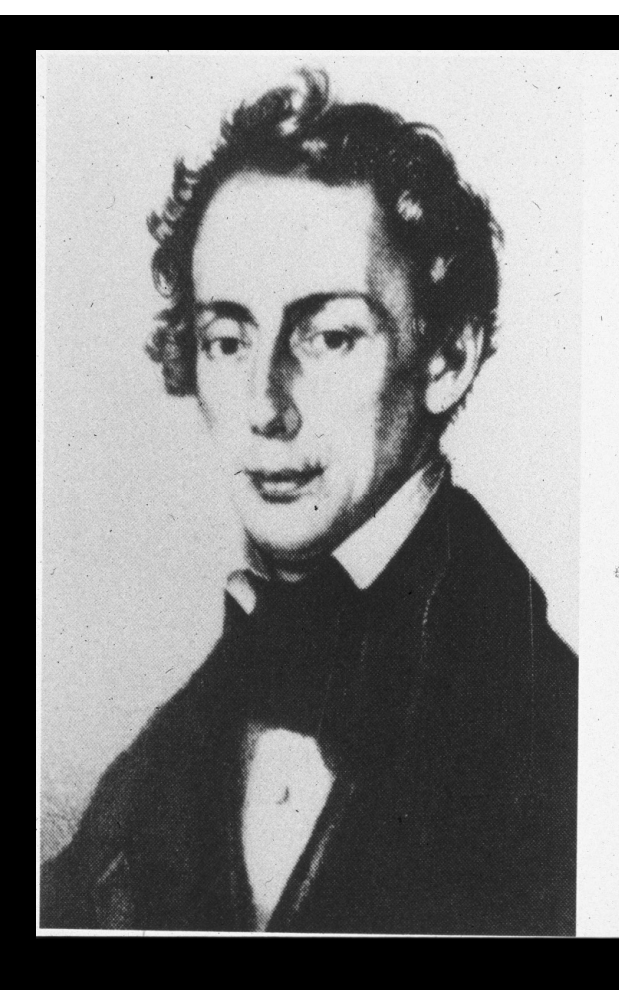




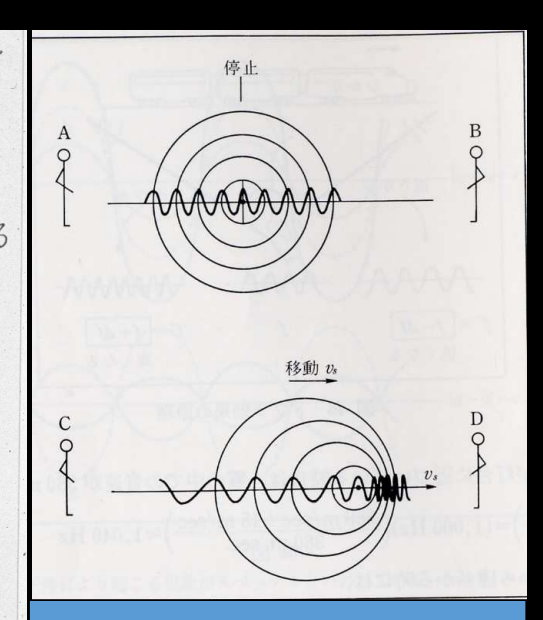








Christian J.Doppler (1803-1853) 1803年11月29日ザルツブルクに生まれる 1853年3月17日ヴエネチアで没す ウィーン大学物理学教授 ドプラ効果の発見 (1842)



光も音も波である



里村 茂夫 (100)

Satomura Shigeo (1920-1960) 大阪大学理学部物理学科卒 大阪大学産業科学研究所助教授(没後 教授)

1955年頃大阪産業科学研究所にて微小振動計測法として超音波ドプラ法の原理を考案し、生体への試みを提唱した仁村らの心臓への検討が始められると共に協力して研究をおこなった大血管から得られる雑音様のドプラ信号が血流に関係するドプラー信号であ

る事を証明し血流計測への道を開いた

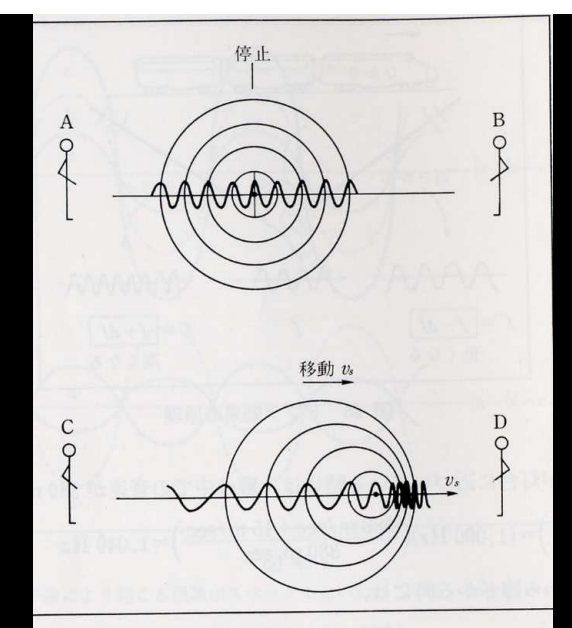


図 47

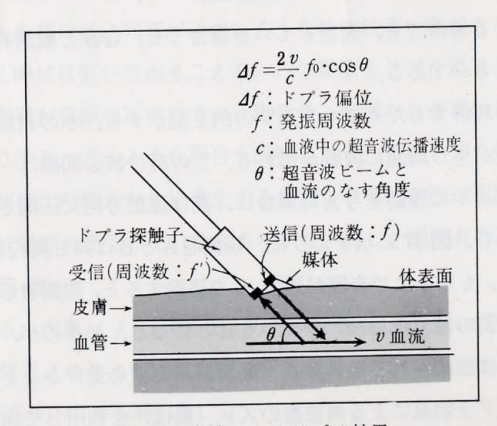
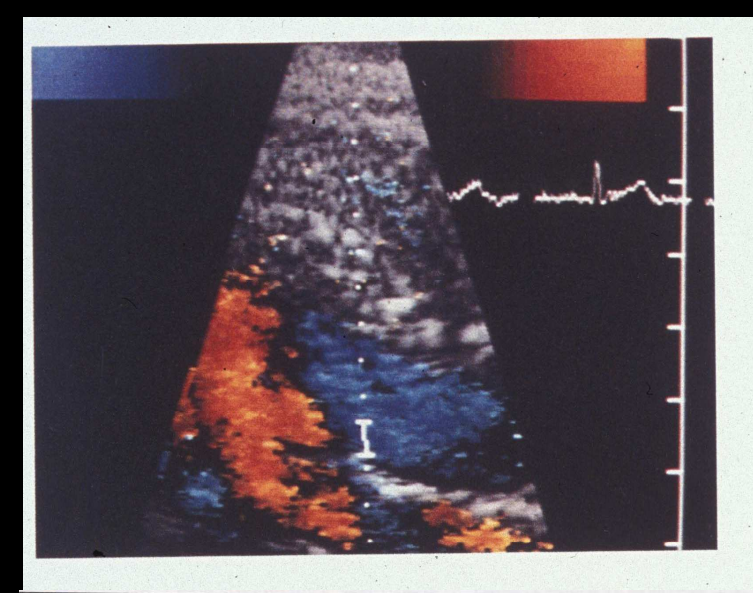


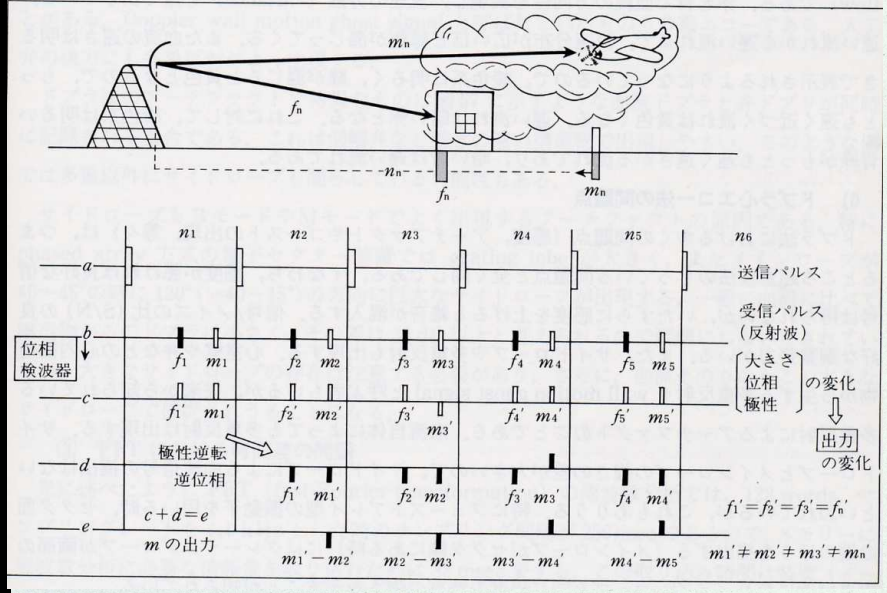
図 48 血流によるドプラ効果

$$\Delta f = |f - f'| = \frac{2v \cdot \cos \theta}{c} \cdot f$$

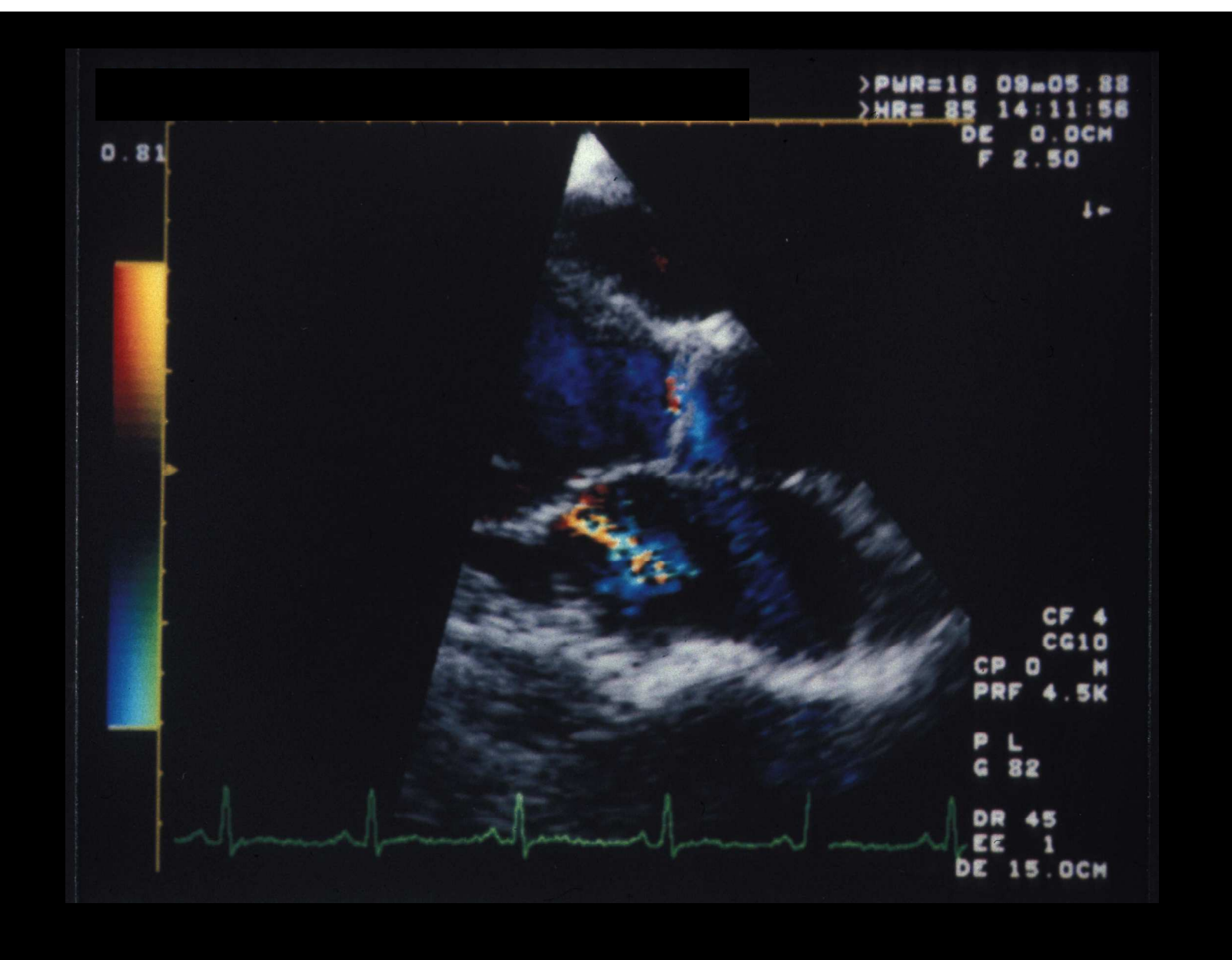
$$v = \frac{c \cdot \Delta f}{2f \cdot \cos \theta}$$



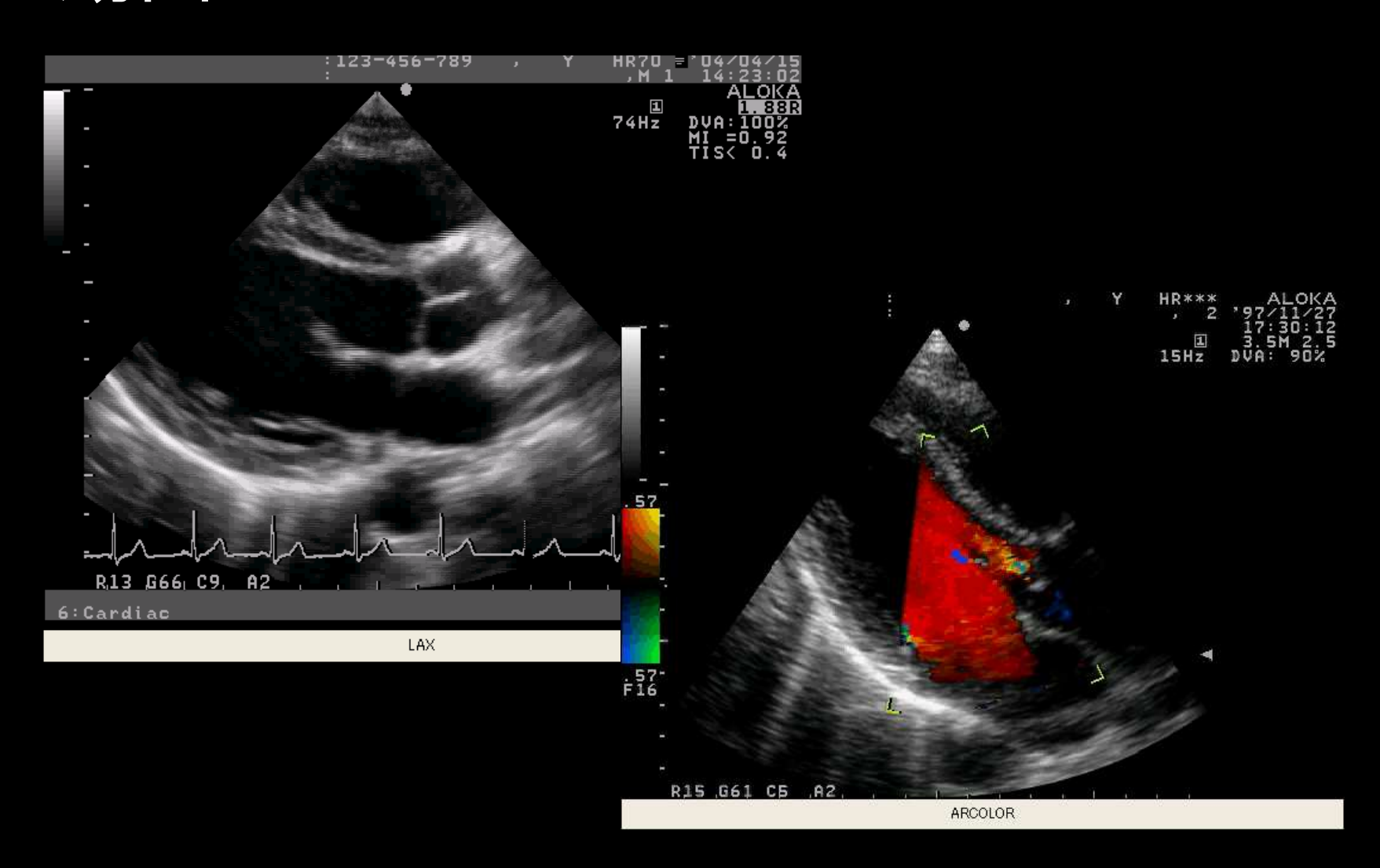
滑川孝六、小谷野明により発明された世界最初の2次元ドプラ断層(カラードプラ)は1980年に世界超音波医学生物学学術連合大会(イギリス、ブライトン市)で発表された。当時はメカニカルセクタースキャナーを用いた。(小谷野明)

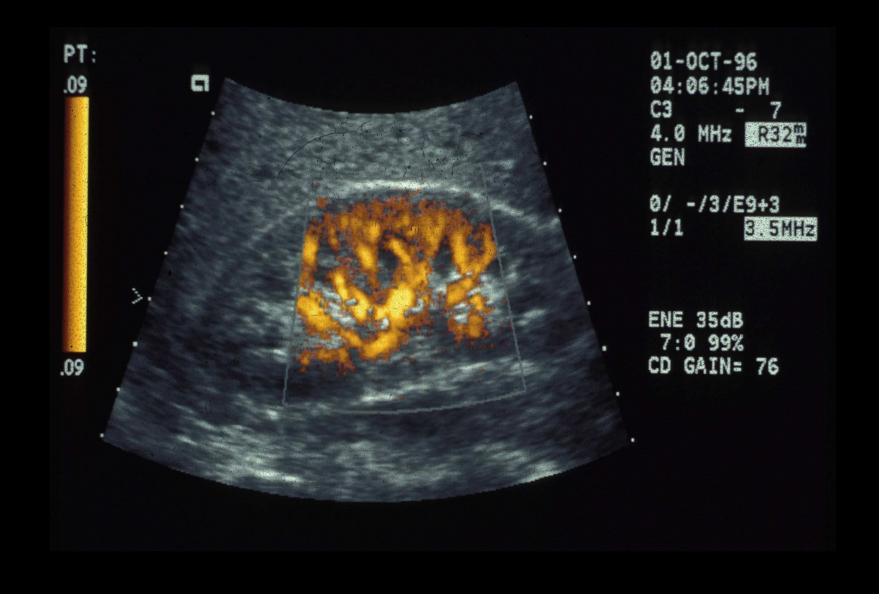


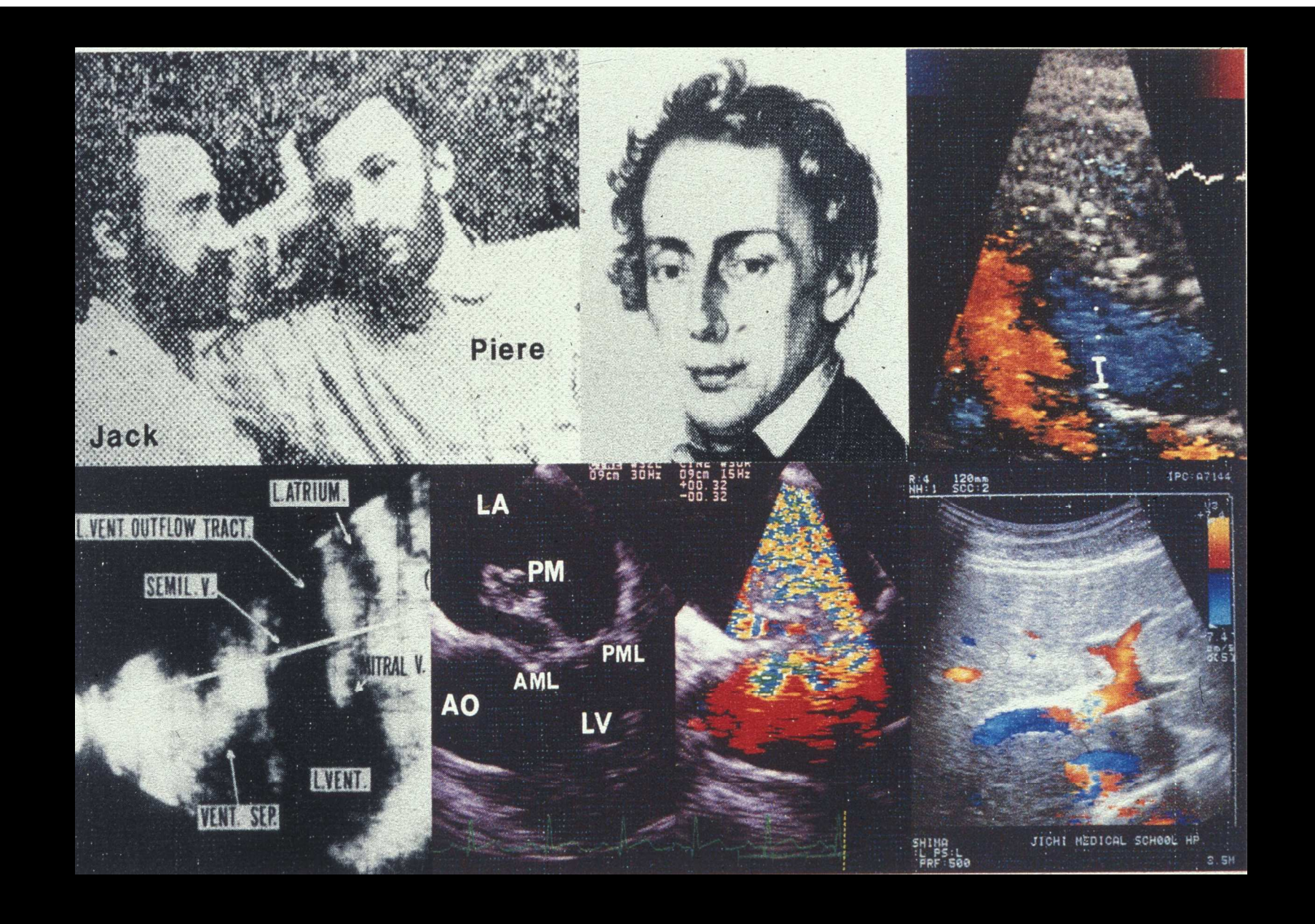




動画

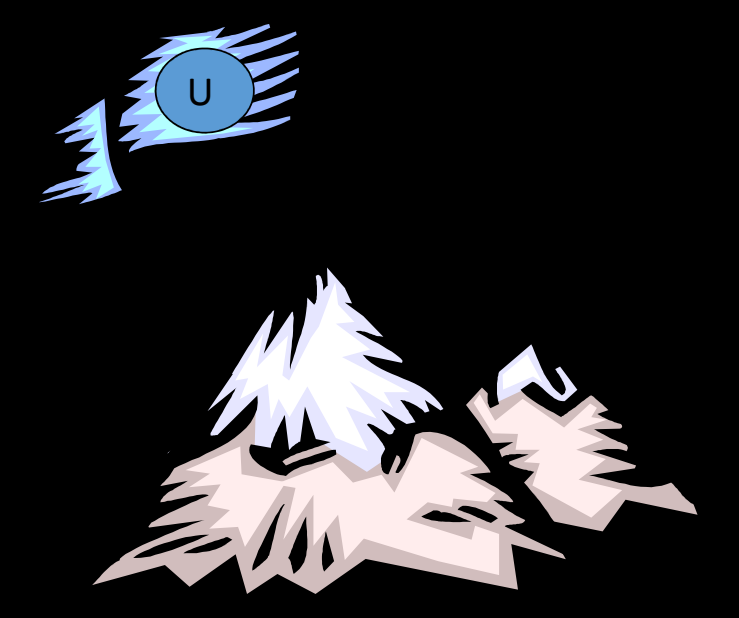






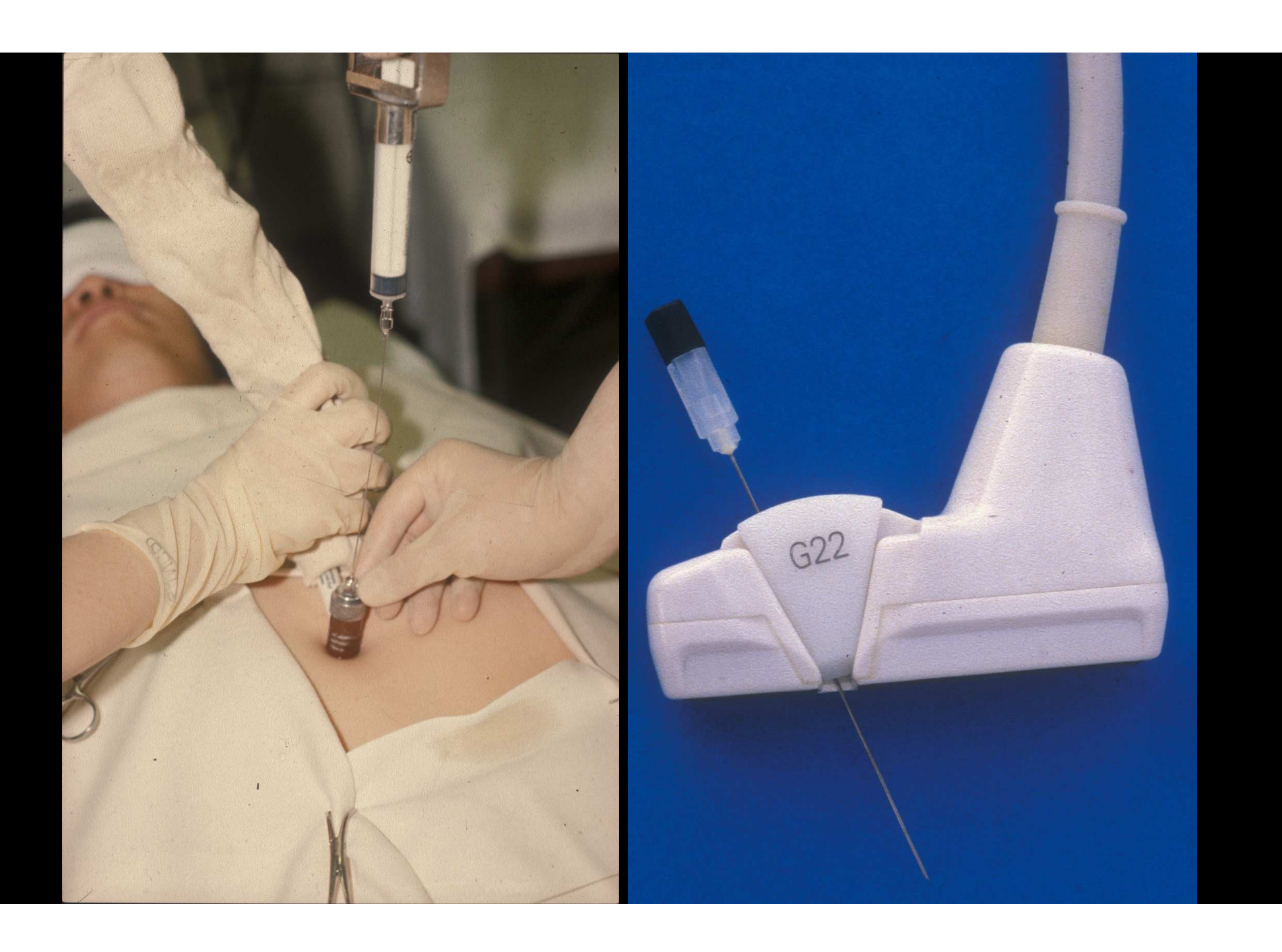
Itoh's Ultrasound Labo.

- Today I will present of the studies of the quantitative diagnosis using ultrasound in my US Labo. with my coworkers.
- Nobuyuki Taniguchi, Kiyoka Omoto, Yasutomo Fujii,
- the others



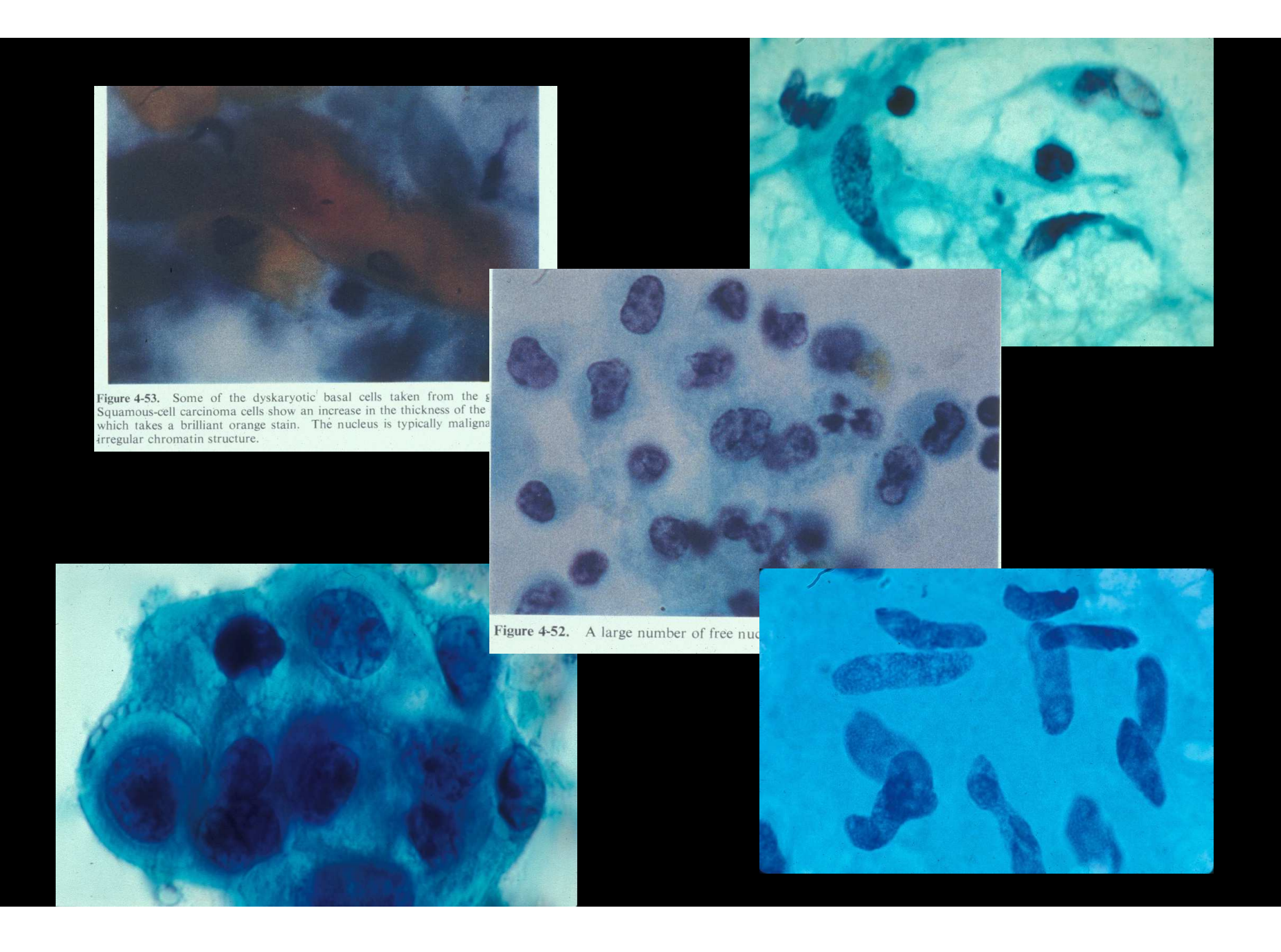
Tissue Level Informations(1)

- Needle Aspiration Biopsy, Cytology
- Optical Microscope
 Acoustic Pattern & Pathological findings
 of the Breast Carcinoma
- Electron Microscope
- Acoustic Microscope
 US-pattern & Acoustic Microscopic Findings
 of Liver Carcinoma



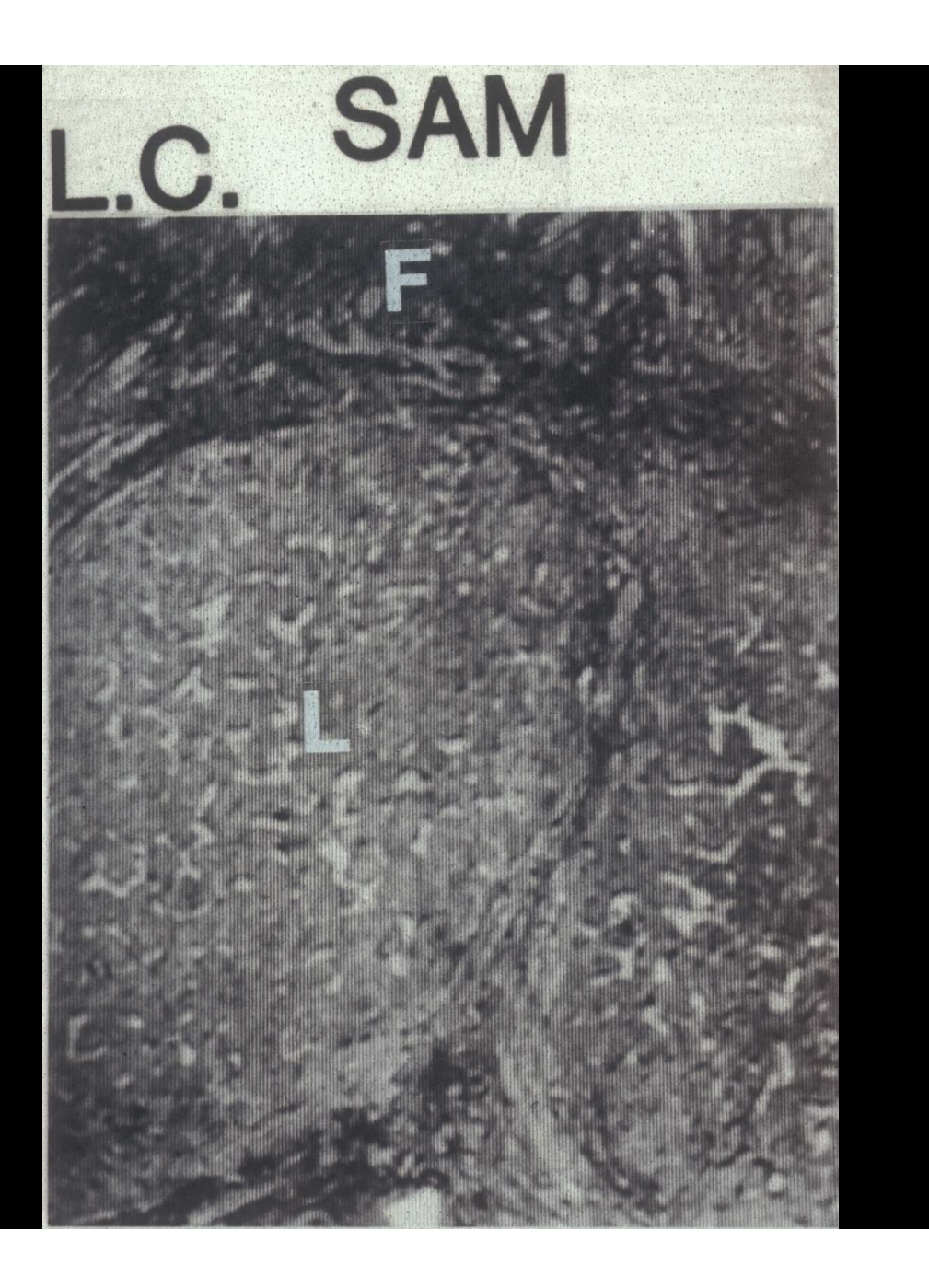
Aspiration Biopsy

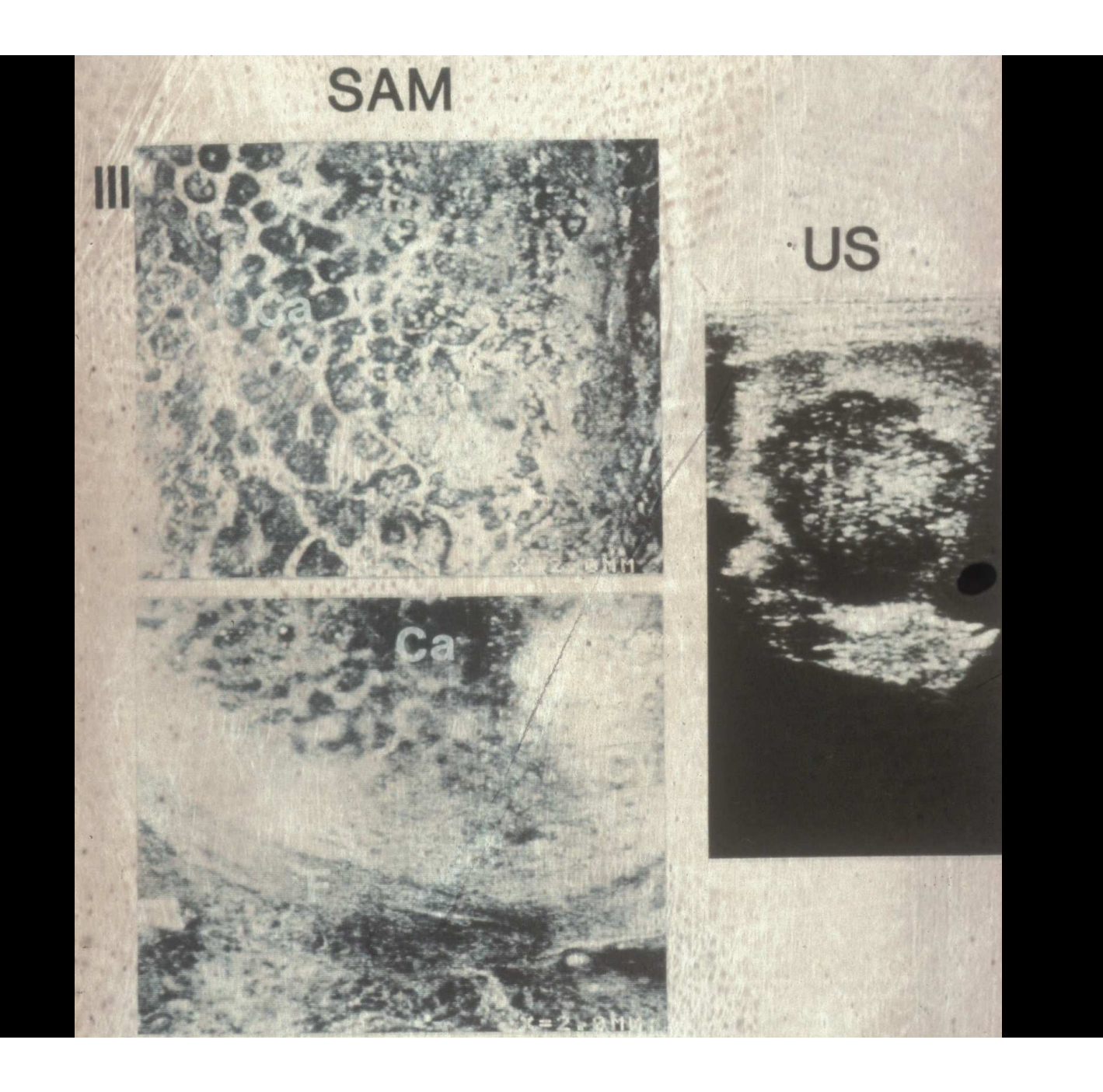
- The break-through episode of needle aspiration biopsy was to the Pancreatic Carcinoma under ultrasonic guidance by Hancke, Smith and Kouichi Itoh. After this episode the method of aspiration biopsy under ultrasonic guidance developed all over the world.
- We can take a specific finding by aspirated cells.
 - Adenocarcinoma, Plattenepithel carcinoma, and so on

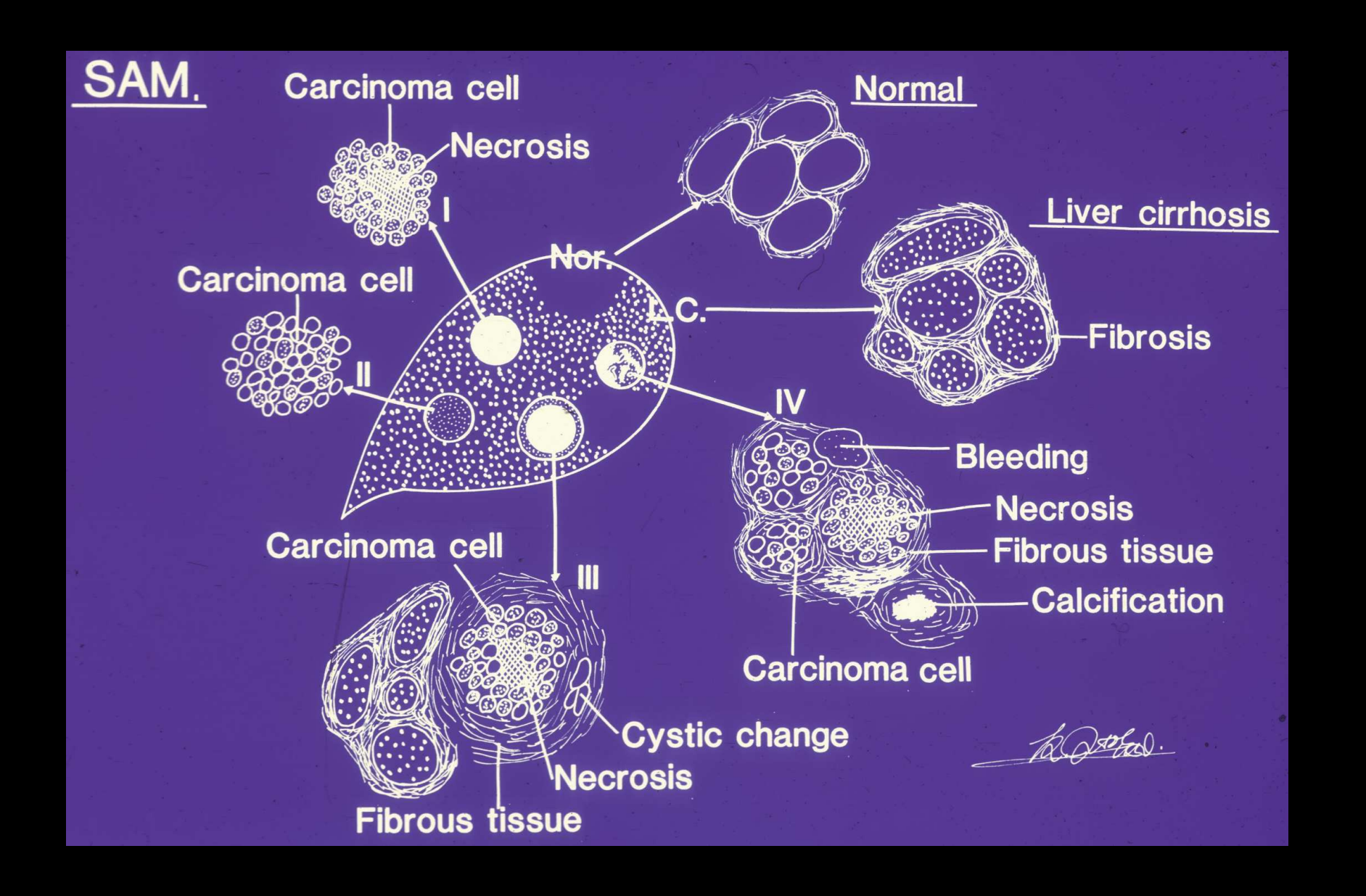


Scanning Acoustic Microscopy

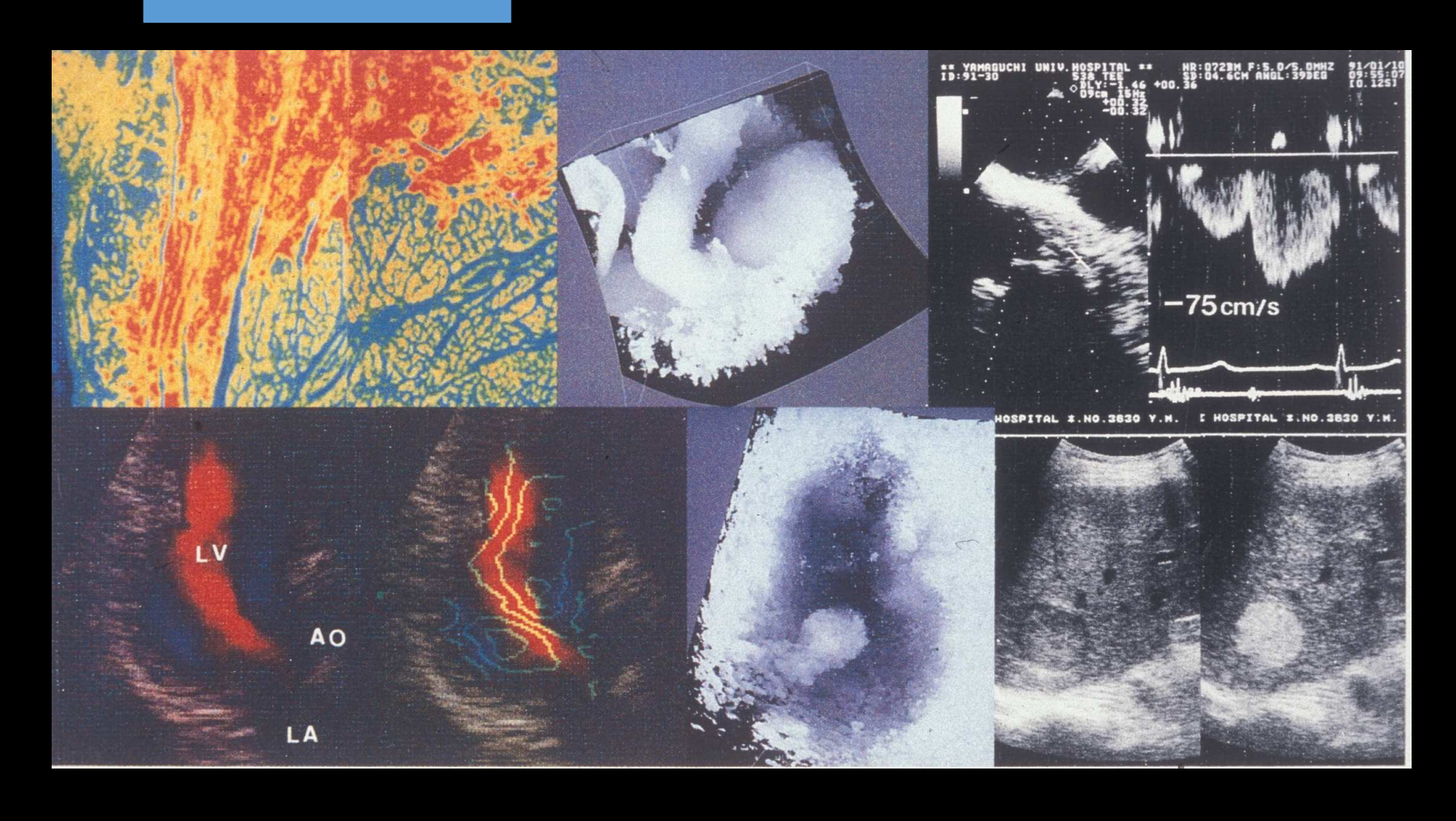
- We investigated the tissue characterization of liver carcinoma using a scanning acoustic microscope(SAM).
- SAM shows the increase or decrease of attenuation in the tissue level.







→田中元直氏の 心筋データ

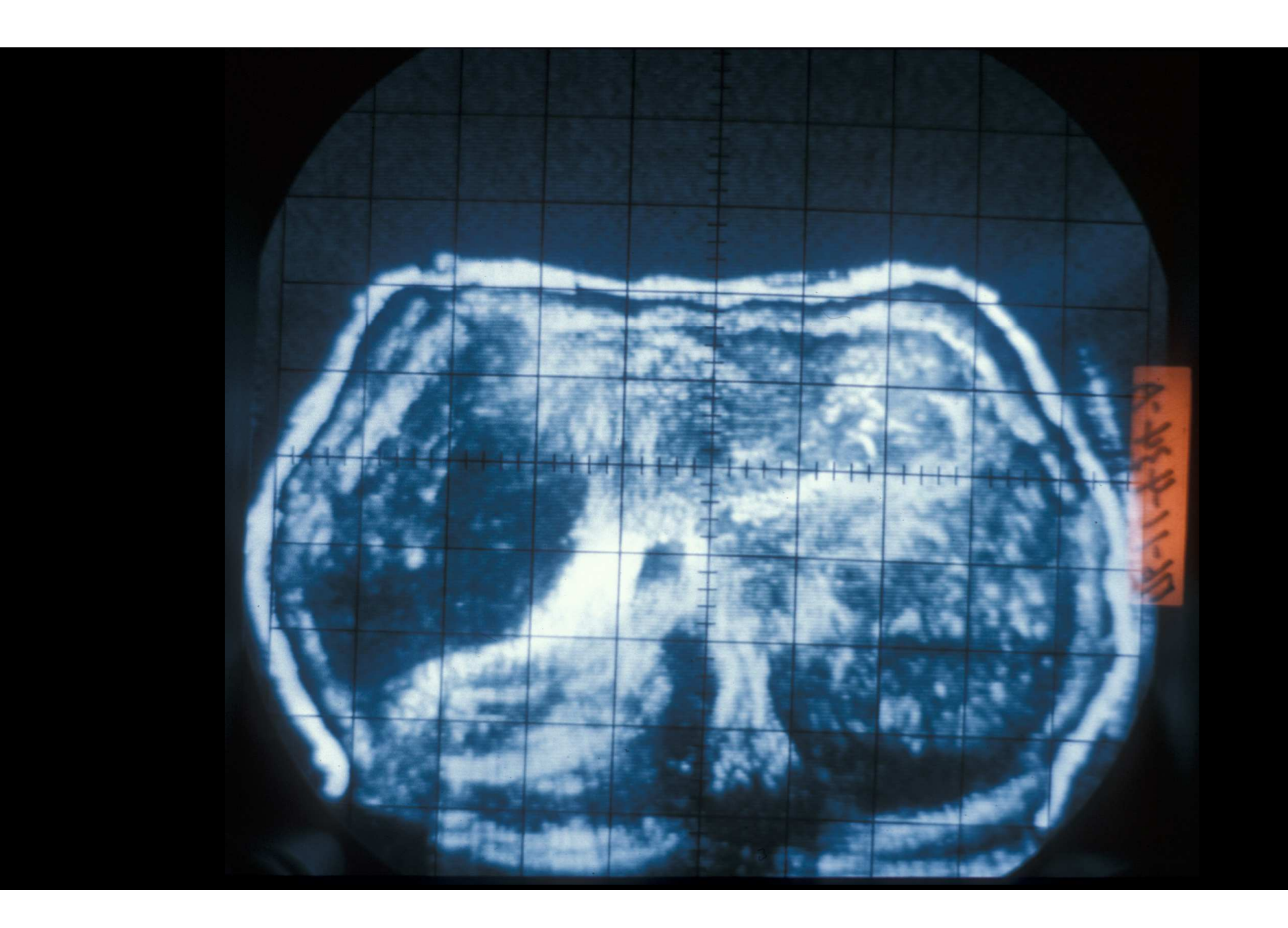


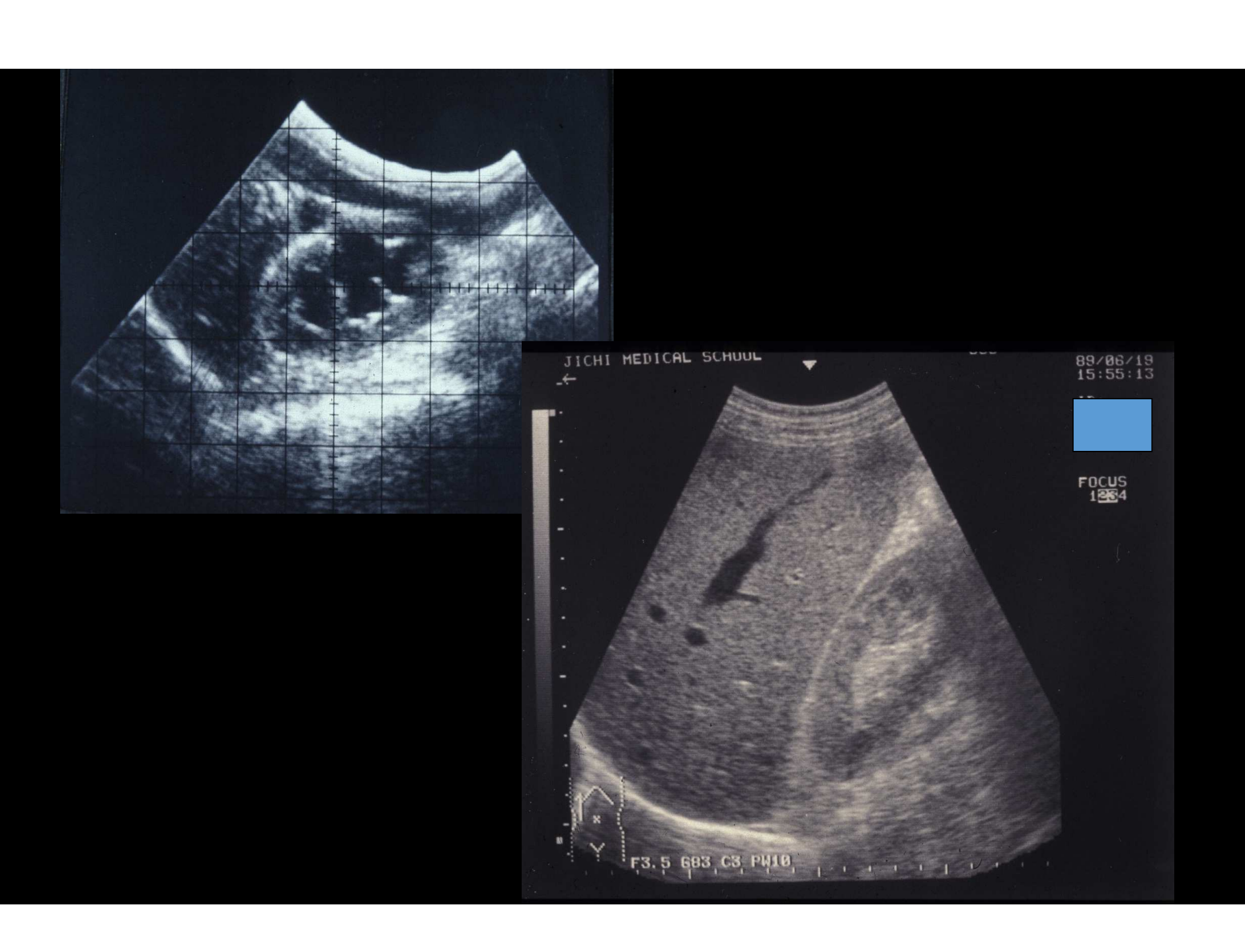
Tissue Level Informations

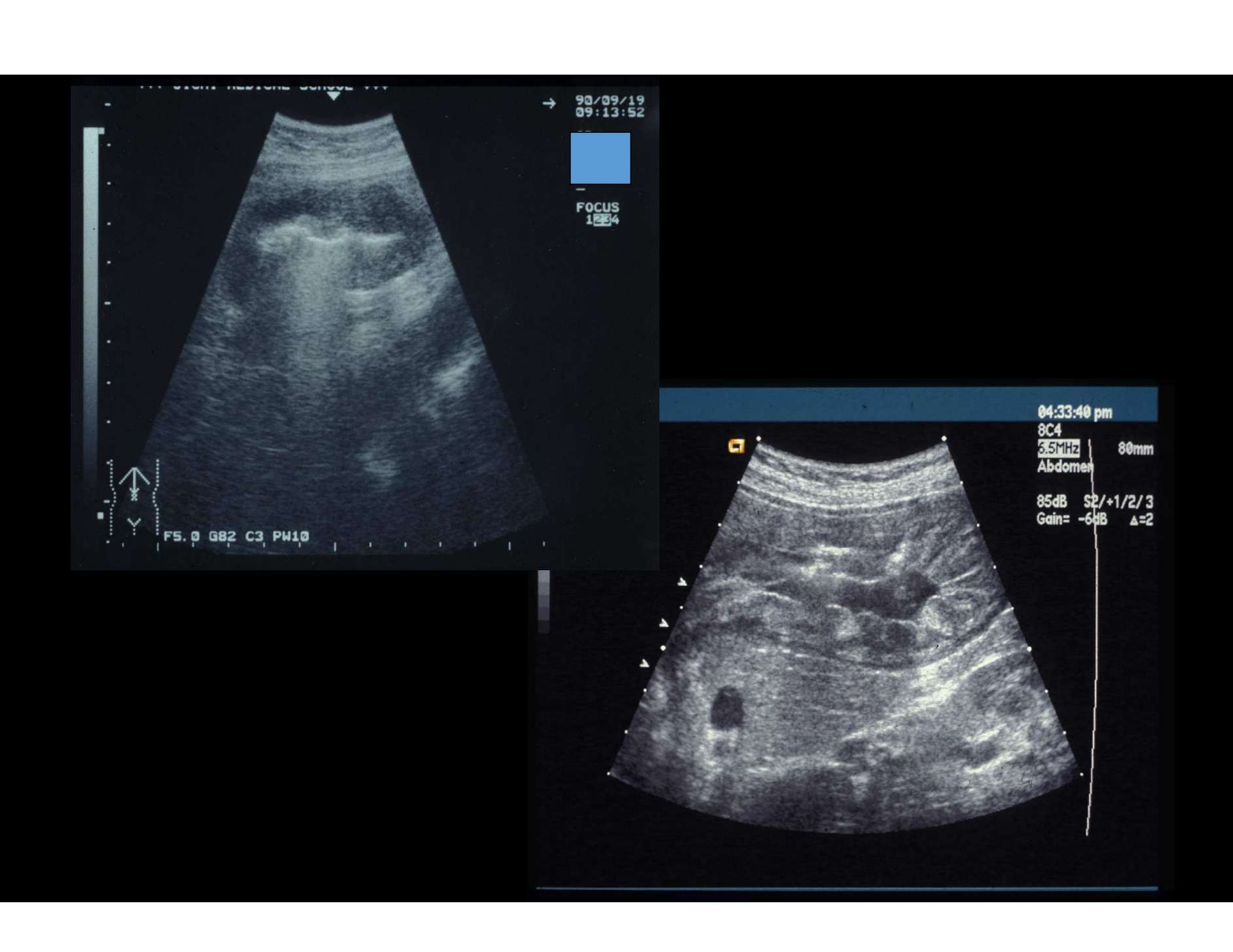
Ultrasound Tomography

Acoustic Tissue Characterization

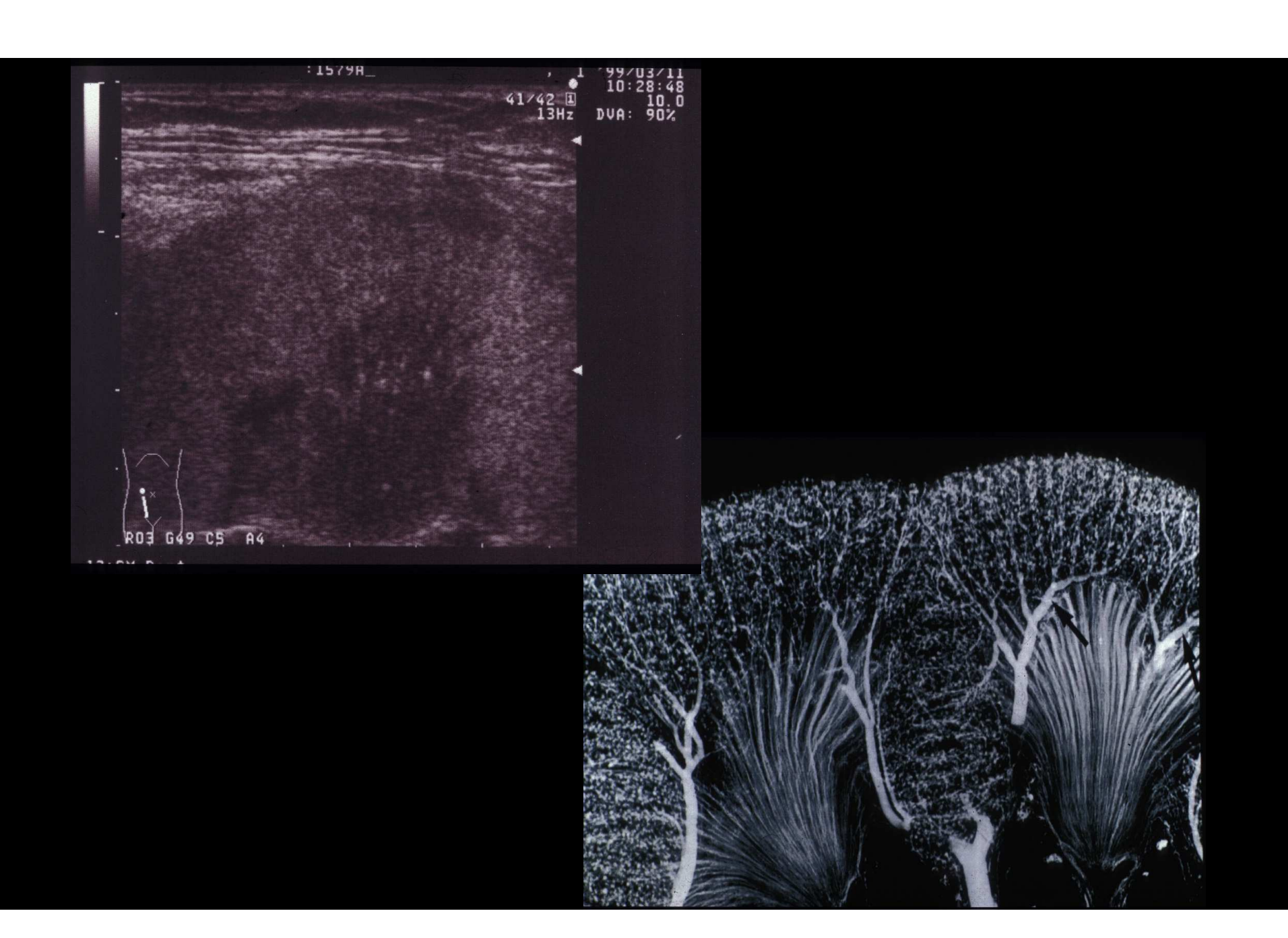
• Blood Flow Information

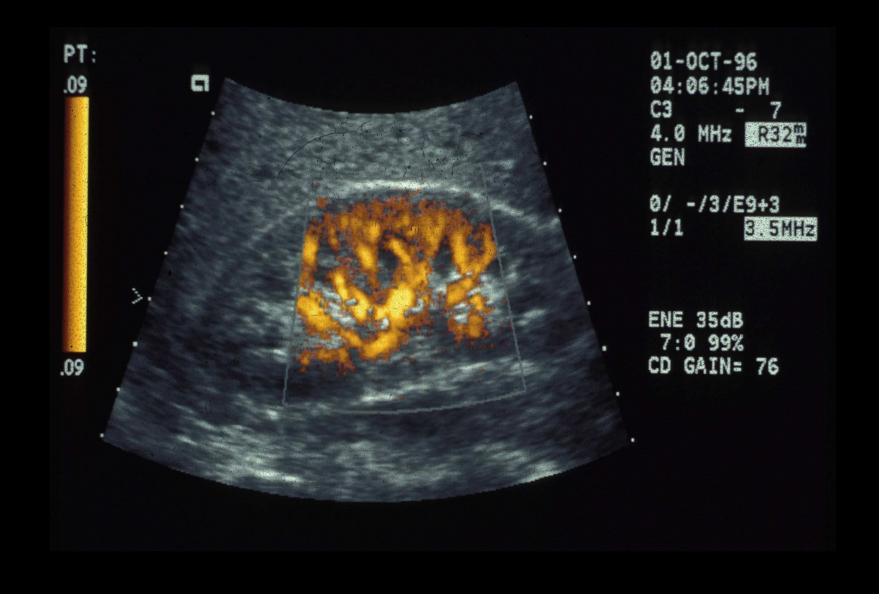


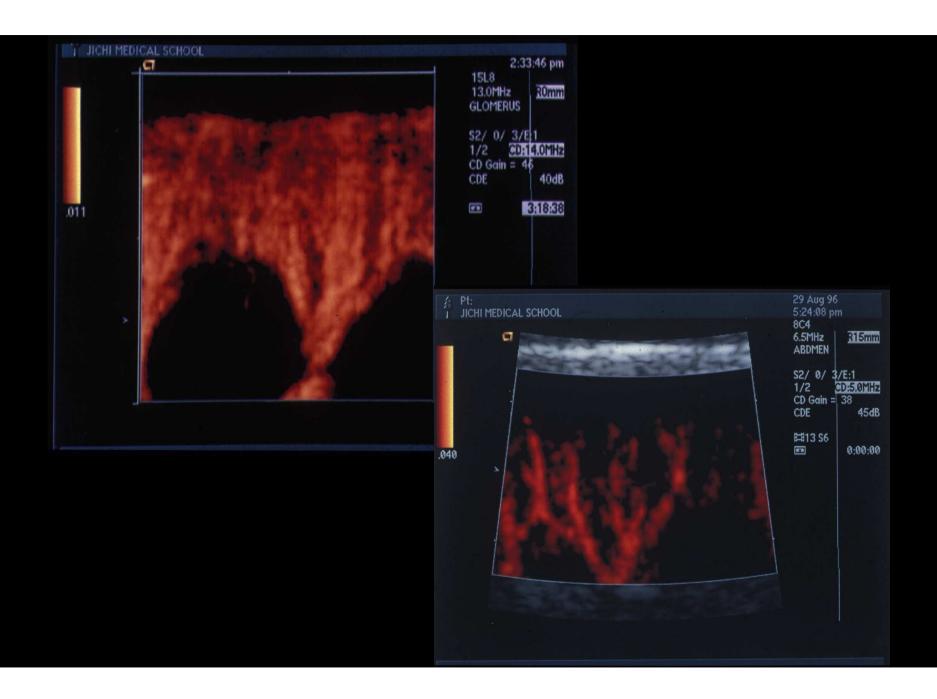






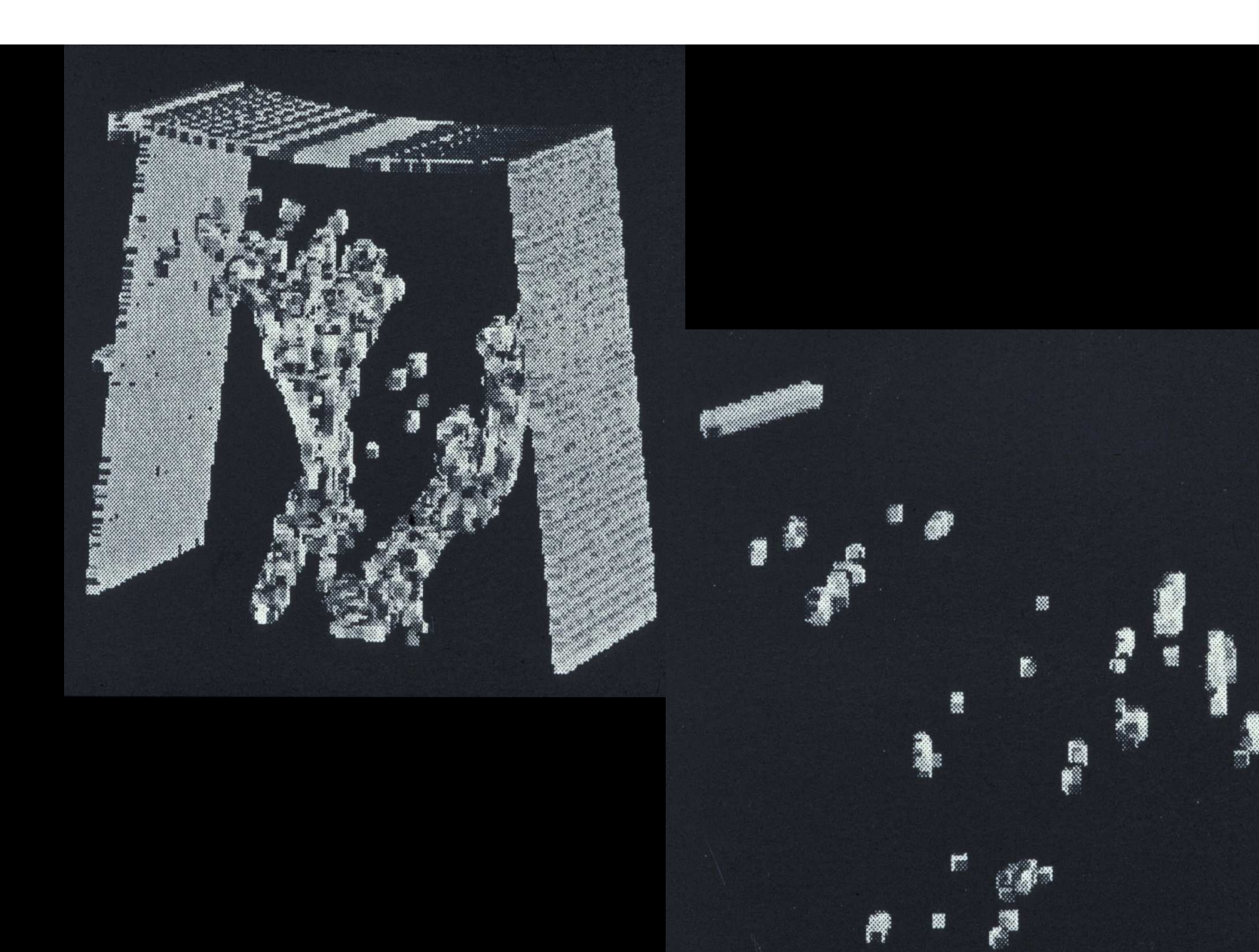












Quantitative Diagnosis using Ultrasound

<Tissue Characterization>

- * Informations of the Tissue level
- * Acoustic Physical parameters
 - Acoustic impedance, Sound velocity,
 - Attenuation, Elasticity,
- * Quantitative analysis

Tissue Level Informations

- Ultrasound Tomography
- Acoustic Tissue Characterization
- Blood Flow Information

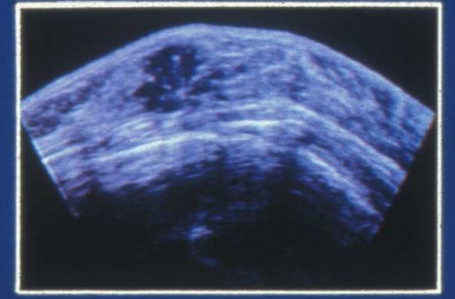
PATTERNS OF BREAST TUMOURS

ATTENUATION TYPE

INTERMEDIATE TYPE ACCENTUATION TYPE

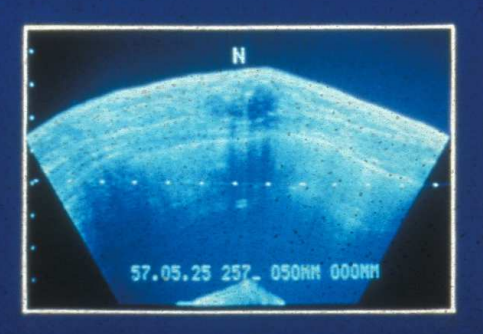
CANCER



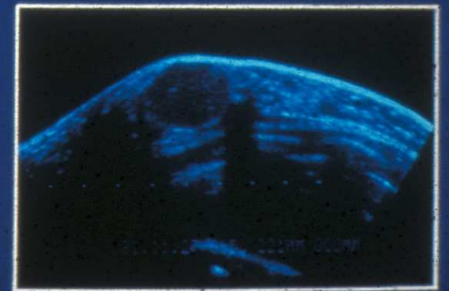


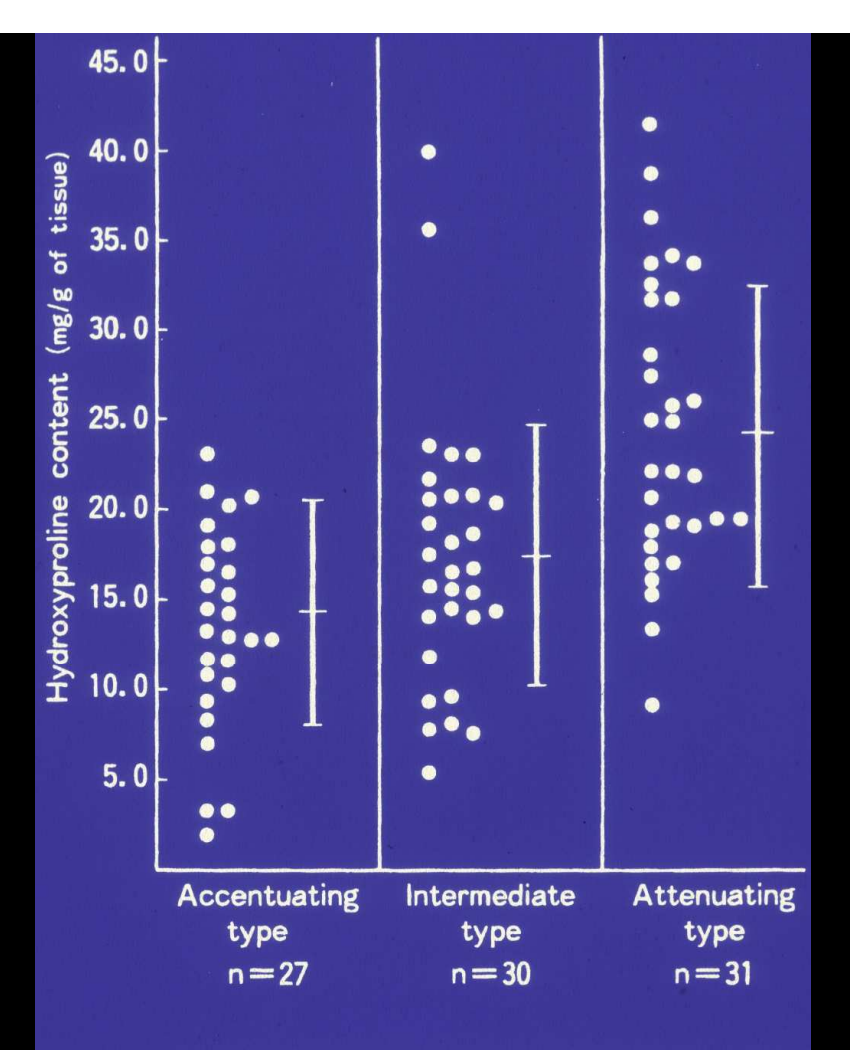


BENIGN

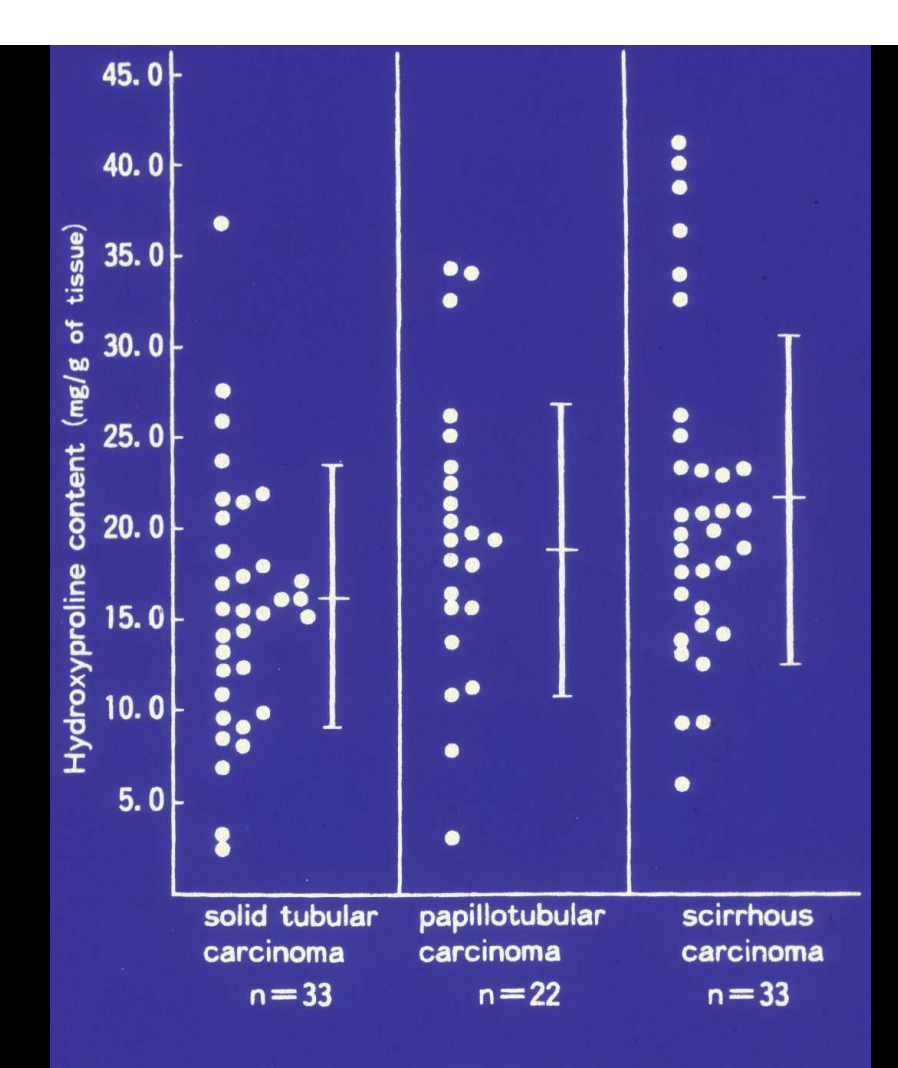








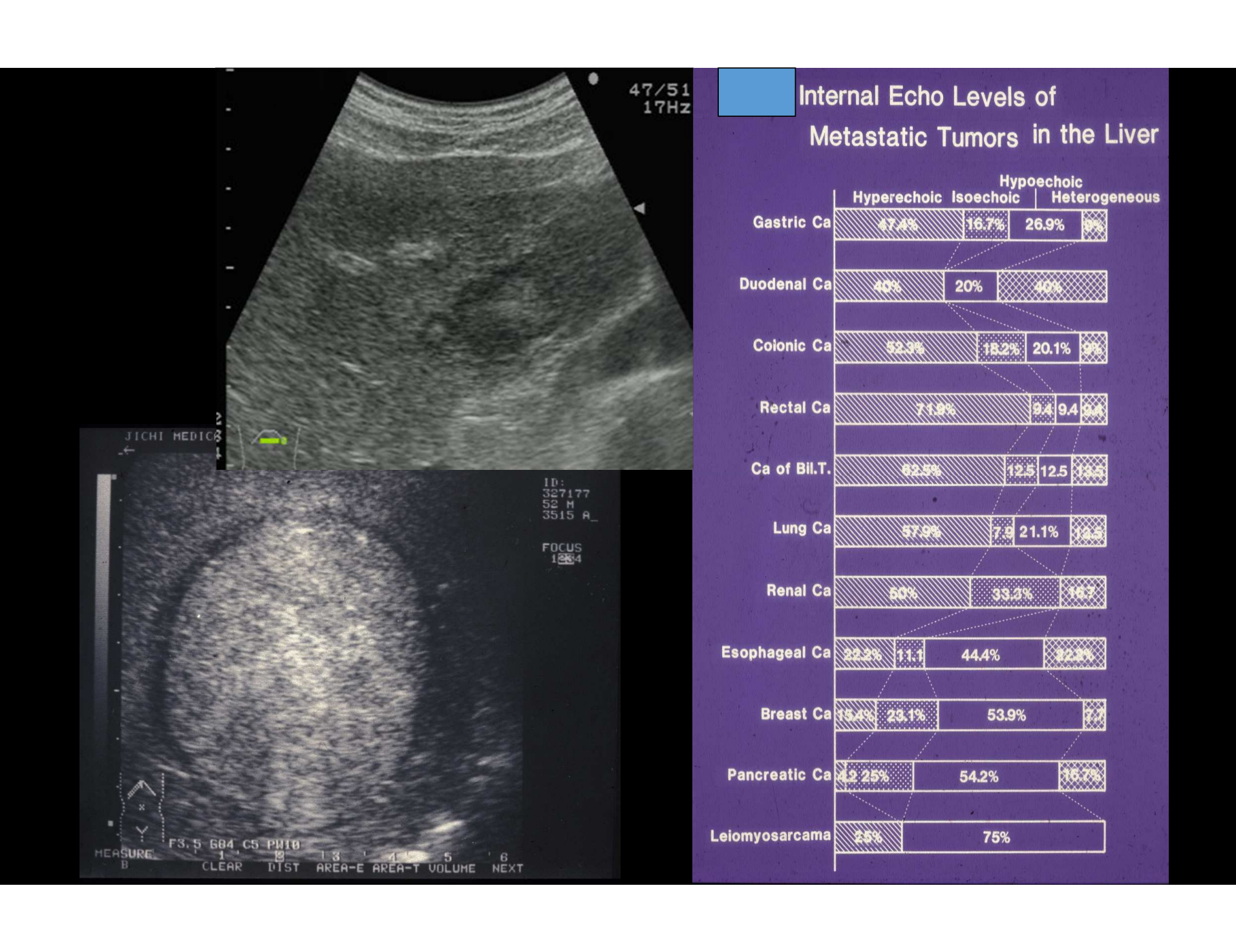
Correlation between hydroxyproline content and sonographic classification in 88 breast cancers. We have divided breast cancers into 3 classes according to those posterior echoes intensity and also assayed hydroxyproline content in each case.



Correlation between hydroxyproline content and histological classification in 88 breast cancers. We have divided breast cancers into 3 classes according to histological classification and also assayed hydroxyproline content in each case.

Comparative findings of US and Pathology

- There are many papers comparating between US and Pathology
- Breast Cancer has the specific findings of posterior echo
- Metastatic Liver Carcinomas has the characters of primary focuses



Comparative findings of US and Pathology

- There are many papers comparating between US and Pathology
- Breast Cancer has the specific findings of posterior echo

Metastatic Liver Carcinomas has the characters of primary focuses

Tissue Level Informations

Ultrasound Tomography

Acoustic Tissue Characterization

Blood Flow Information

Quantitative Diagnosis using Ultrasound

- <Tissue Characterization>
 - * Acoustic parameters

Acoustic impedance, Sound velocity,

Attenuation, Elasticity,

- * Information of tissue level
- * Quantitative analysis

Tissue Characterization

- 1;Informations of the Tissue level
- 2; Acoustic Physical Parameters
- 3; Quantitative Analysis
 - ** Acoustic Characters
 - 1;Uniform Substances
 - 2;Statistic Characters
 - **3;Dynamic Characters**

Acoustic Parameters

- Acoustic Velocity
- Attenuation

Absorption, Refraction, Reflection, Scatter, Frequency-Dependent-Attenuation

- Elasticity
- Blood Flow
- Acoustic Impedance : pC



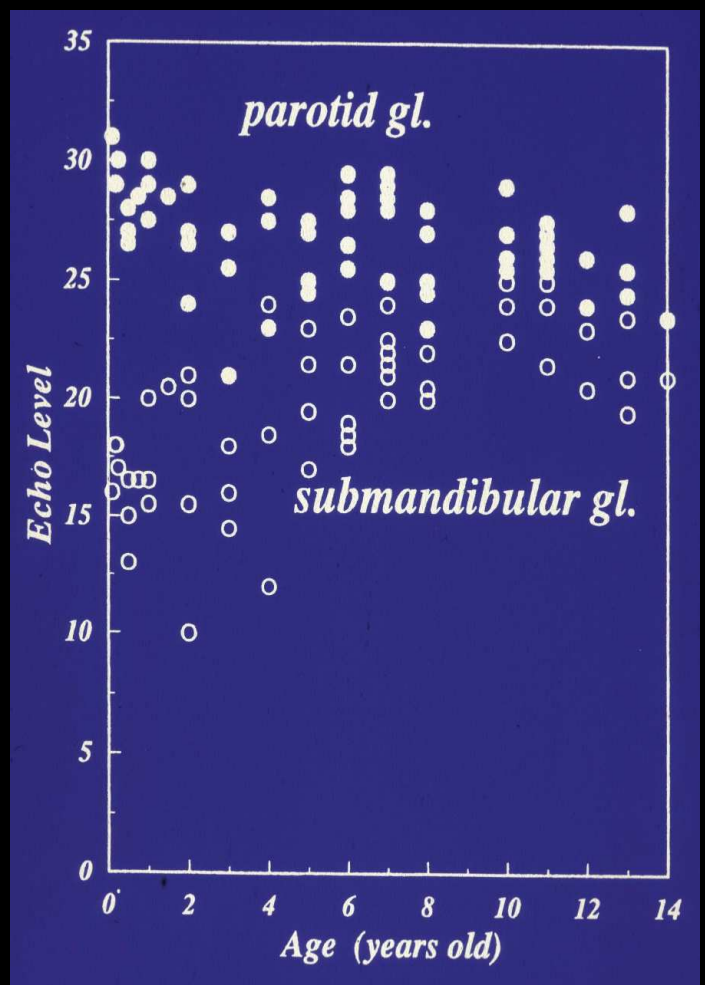


Fig. 3 L values of the salivary glands. Parotid glands show relatively stable L value through time, while L value of submandibular glands increases with age.

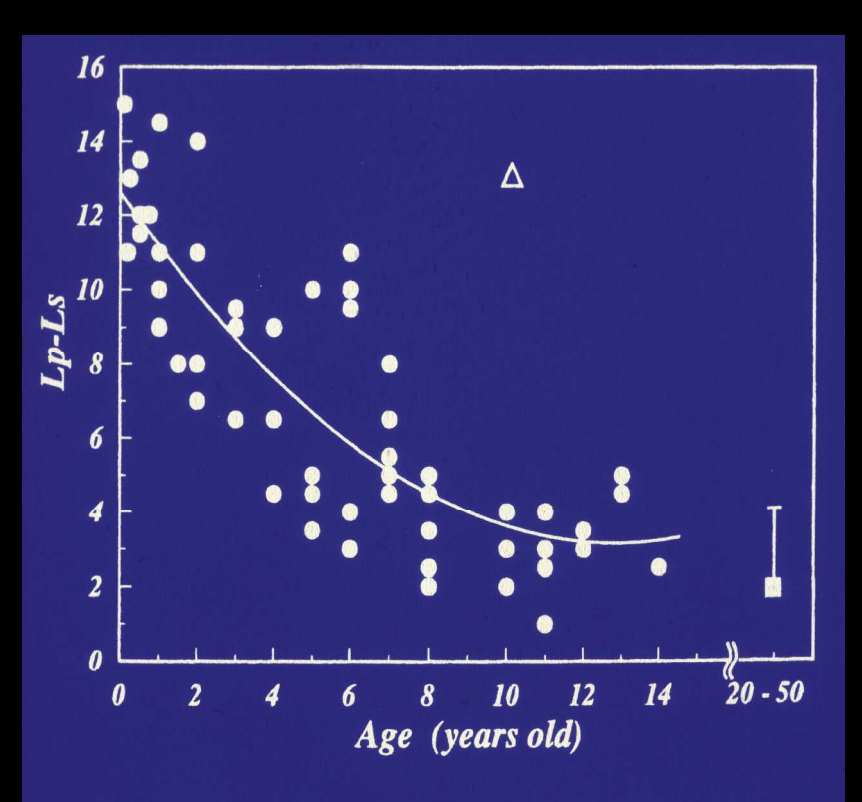
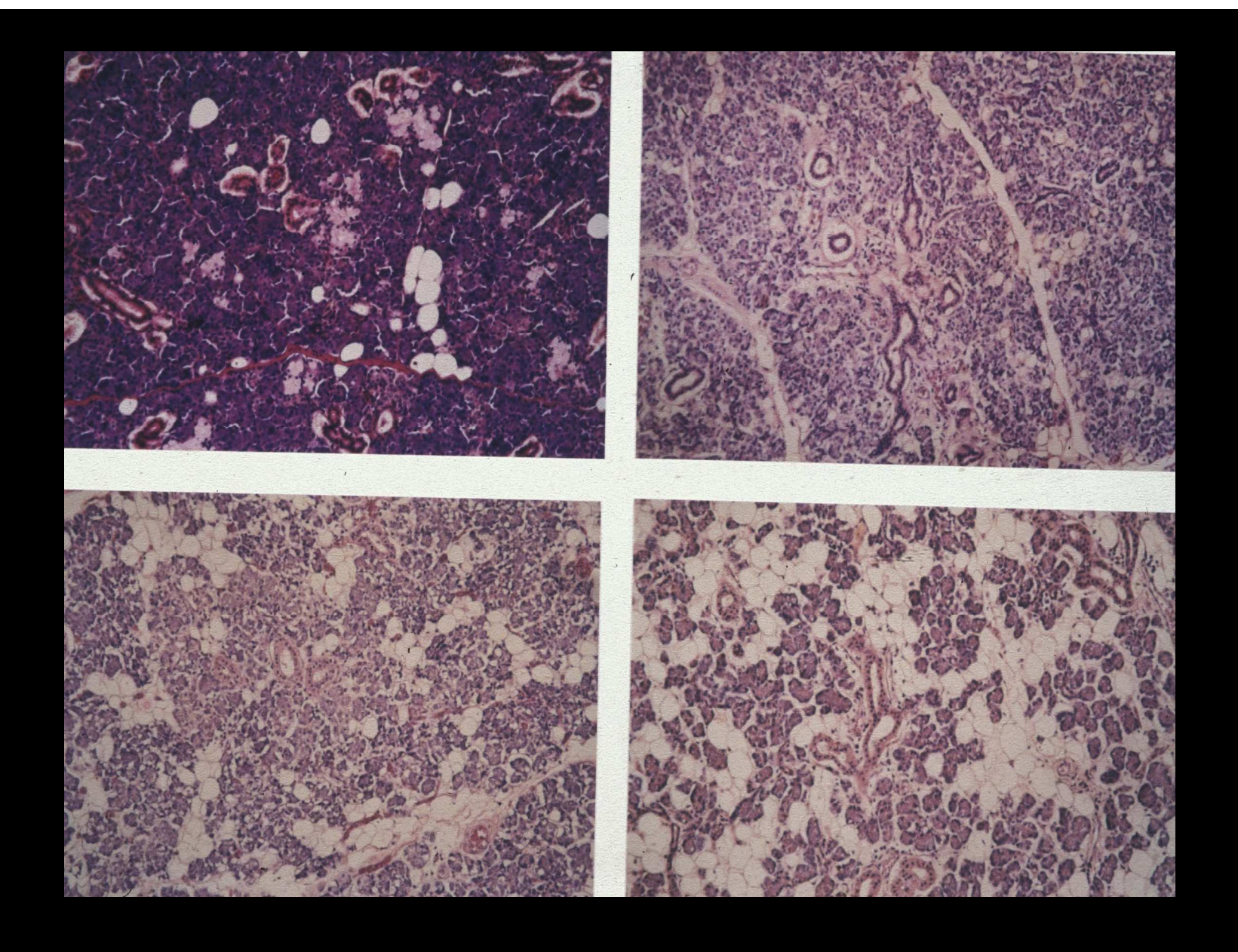
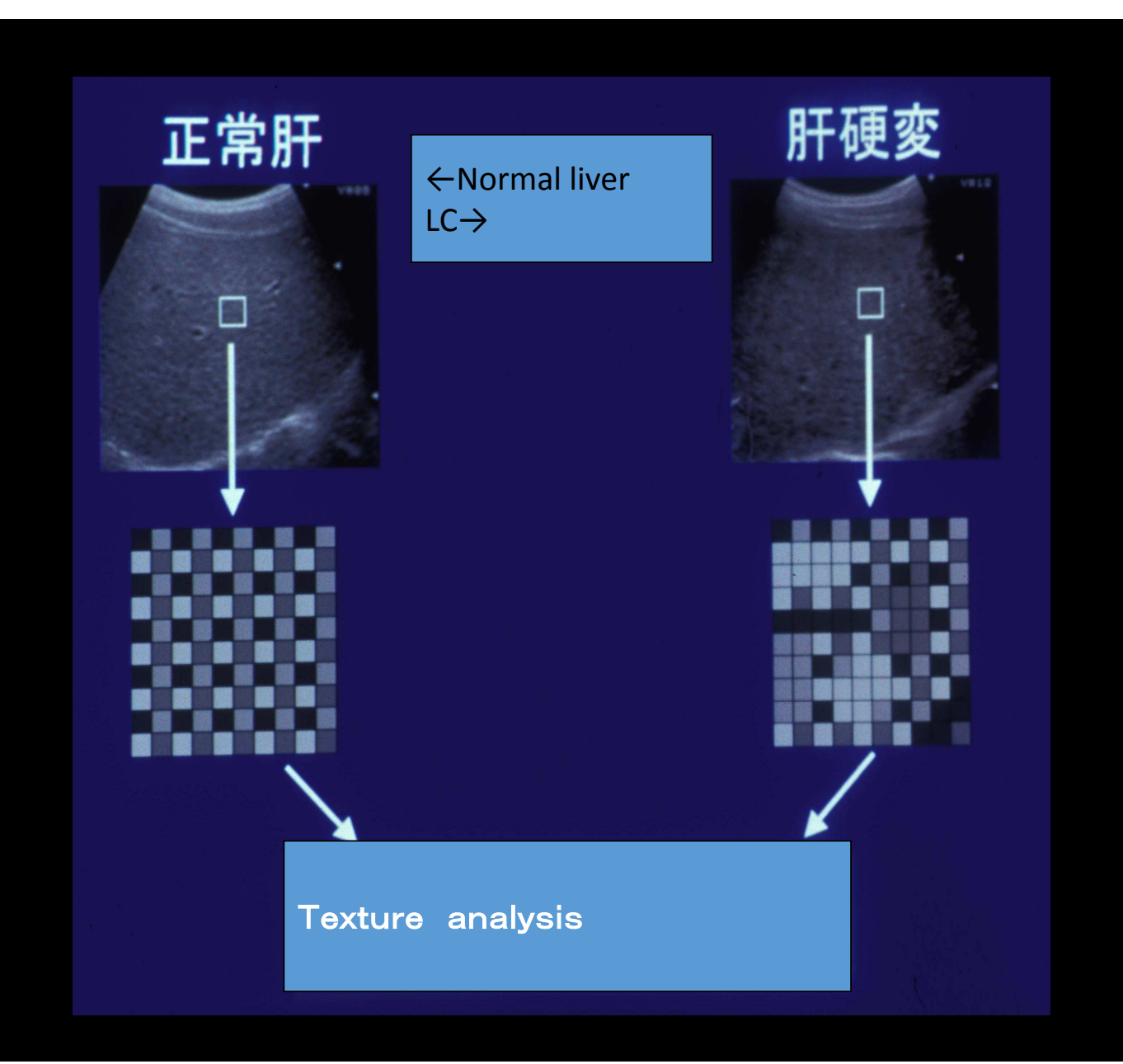
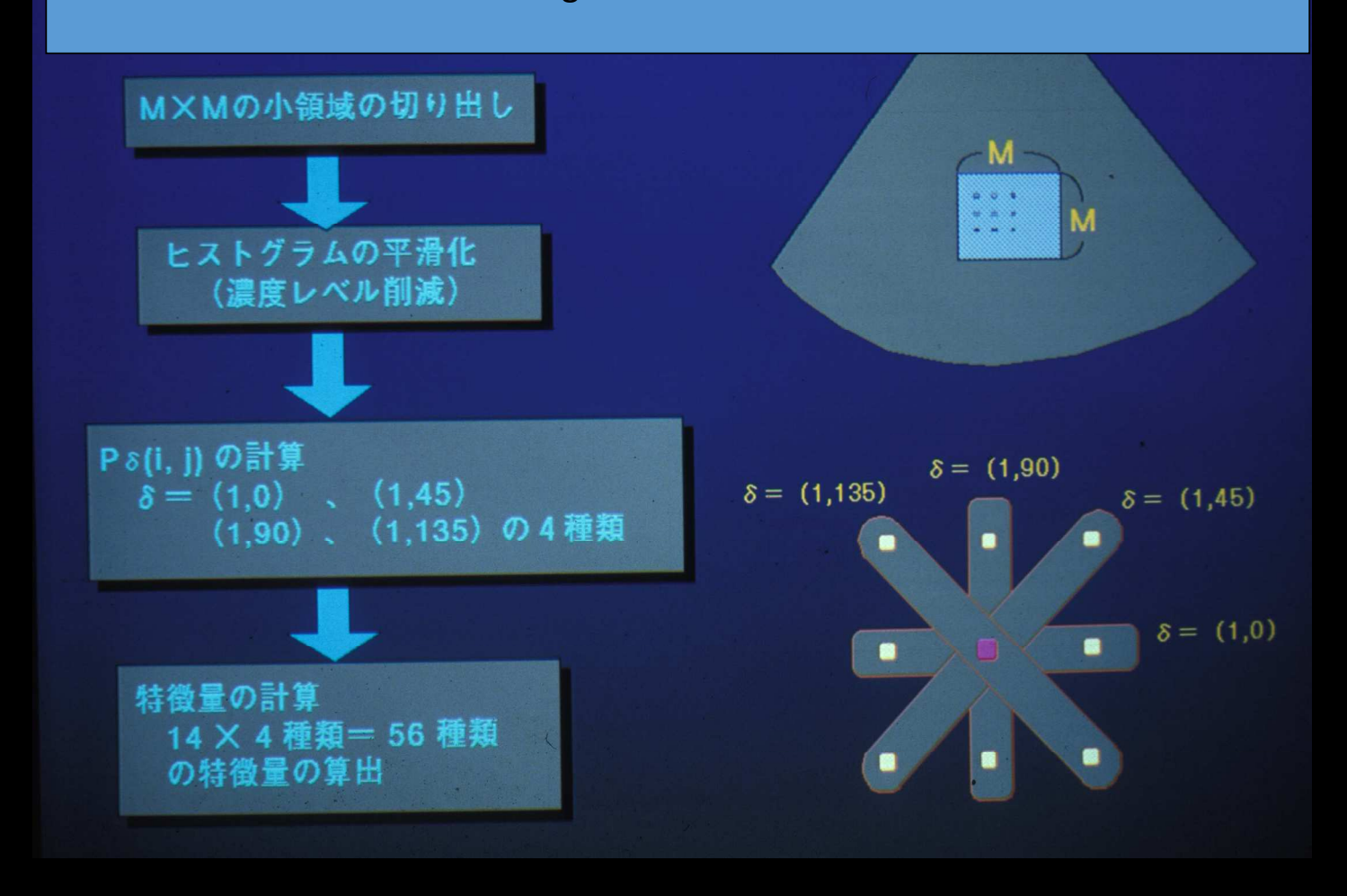


Fig. 4 Correlation of Lp-Ls and age. Clear negative correlation was demonstrated between Lp-Ls and age. (Correlation coefficient; -0.85; p<0.01). △ indicates a patient with submandibulitis; , mean value and standard deviation of control adults.





Measurement of Characters using Co-occurrence (同時生起行列)



同時生起行列からの特徴量の計算法

Px(i) =
$$\sum_{j=0}^{n-1} x_j (i,j)$$
 . Py(i) = $\sum_{j=0}^{n-1} x_j (i,j)$ i=0,1,...,n-1 i=0

1. angular second moment n-1 n-1

 $\sum_{j=0}^{n-1} x_j (i,j)$ } 2

1. angular second moment n-1 n-1

 $\sum_{j=0}^{n-1} x_j (i,j)$ } 2

1. angular second moment n-1 n-1

 $\sum_{j=0}^{n-1} x_j (i,j)$ } 2

1. angular second moment n-1 n-1

 $\sum_{j=0}^{n-1} x_j (i,j)$ } 2

1. angular second moment n-1

 $\sum_{j=0}^{n-1} x_j (i,j)$ } 2

1. angular second moment n-1

 $\sum_{j=0}^{n-1} x_j (i,j)$ } 2

1. angular second moment n-1

 $\sum_{j=0}^{n-1} x_j (i,j)$ } 2

1. angular second moment n-1

 $\sum_{j=0}^{n-1} x_j (i,j)$ } 2

1. angular second moment n-1

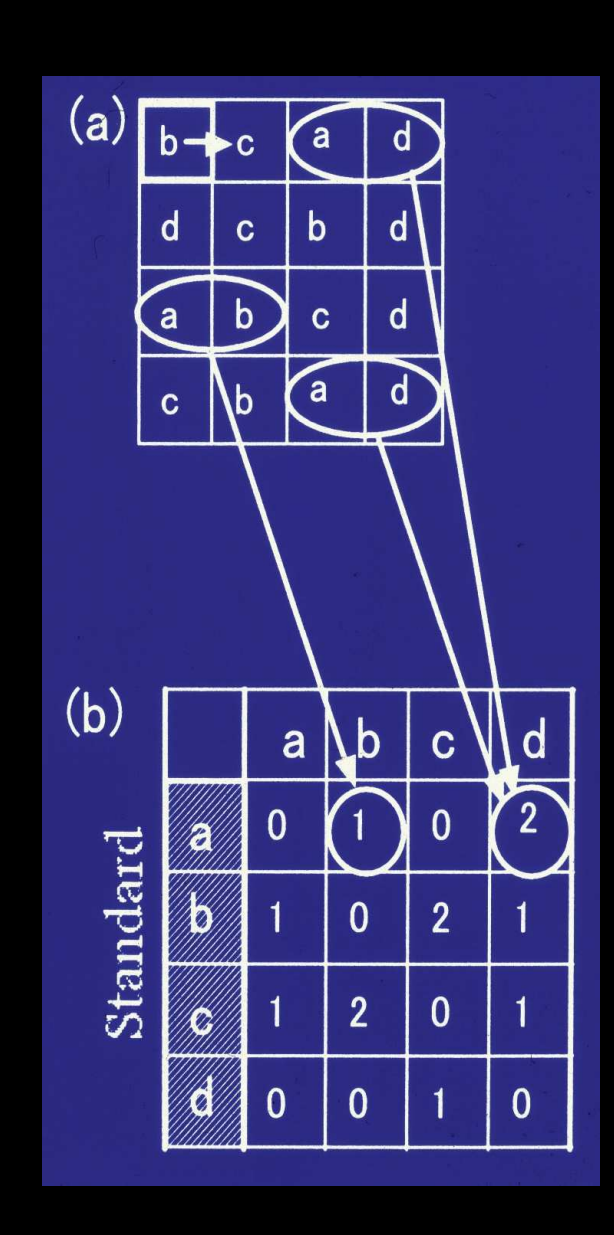
 $\sum_{j=0}^{n-1} x_j (i,j)$ } 2

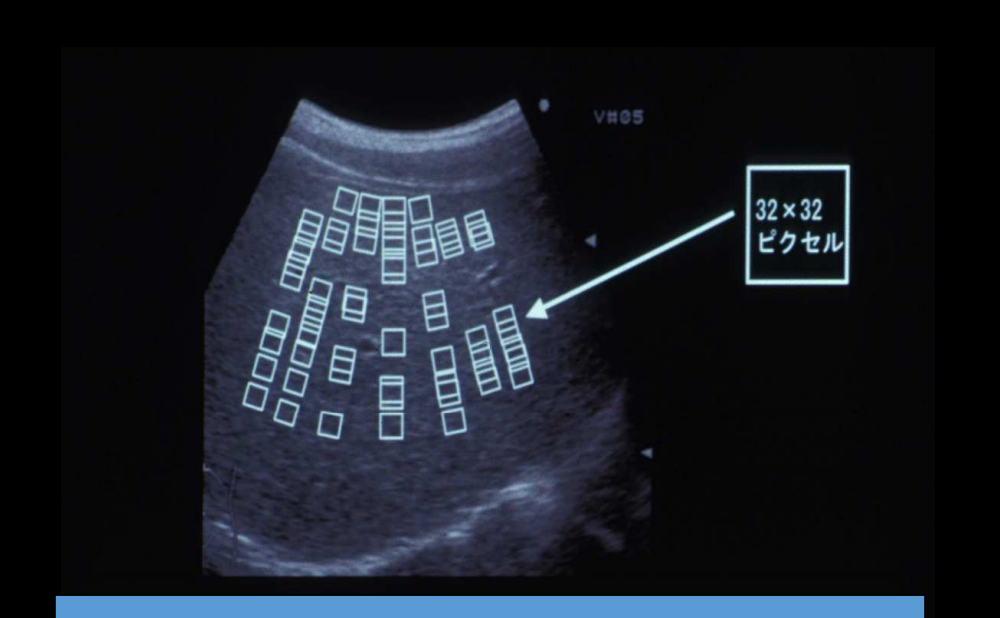
2. contrast

 $\sum_{j=0}^{n-1} x_j (i,j)$ $\sum_{j=0}^{n-1} x_j (i,j)$

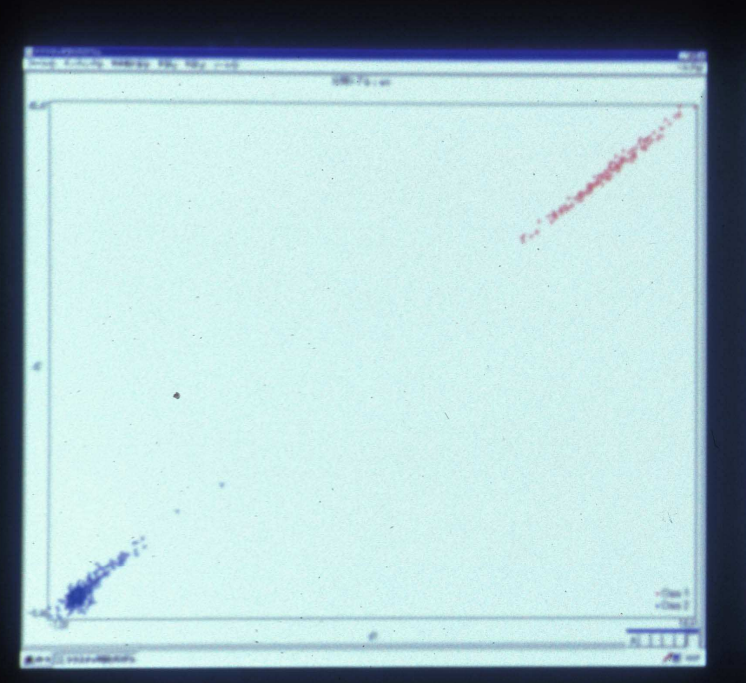
```
n-1 n-1
        Px+y(k) = \sum \sum Ps(i,j)
                                       i=0.1. .... 2n-2
                   i=0 j=0 .i+j=k
                  n-1 n-1
        Px-y(k) = \Sigma \Sigma Ps(i,j)
                                       i=0,1,...,n-1
                   i=0 i=0. | i-i | =k
7. sum variance 2n-2
                  Σ (k-sum average)2 - Px+y(k)
                   k=0
8. sum entropy
                   - Σ Px+y(k) - log( Px+y(k) }
9. entropy
                n-1 n-1
              - Σ Σ Ps(i,j) - log( Ps(i,j) }
                i=0 i=0
10. difference variance
                    n-1
           \Sigma \{k - \Sigma k - Px-y(k)\} Px-y(k)
            k=0
11. diference entropy
                       - Σ Px-y(k) - log(Px-y(k))
12.information measure of correlation
        HXY - HXY1
       max(HX, HY)
13.information measure of correlation
       [1 - exp[-2.8(HXY2-HXY)]] 1/2
14.maximal correlation coefficient
        〇の2番目に大きい闘有値
                  n-1 Ps(i,j=k) - Ps(k,j)
    表だし、Q(i,j) = Σ -
                          Px(i) - Px(j)
```

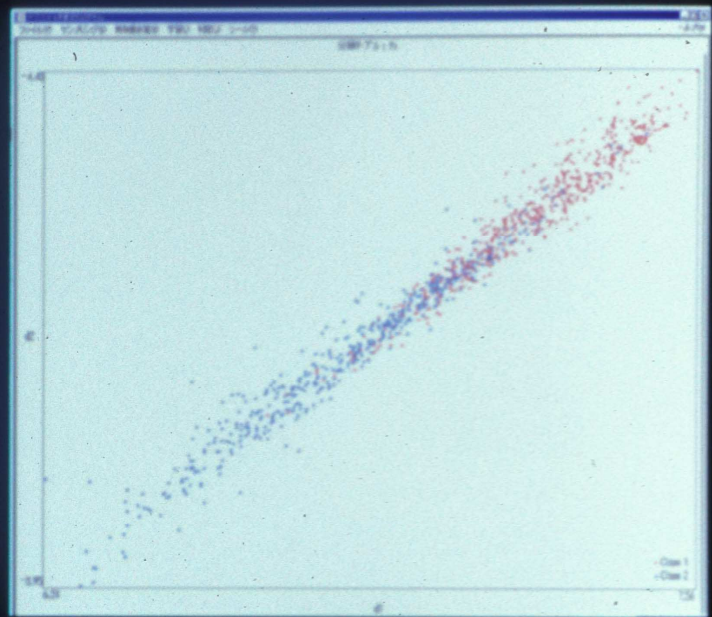
k=0





ROI on the Ultrasound image





Good separation of The 2 groups(FR=314.4)

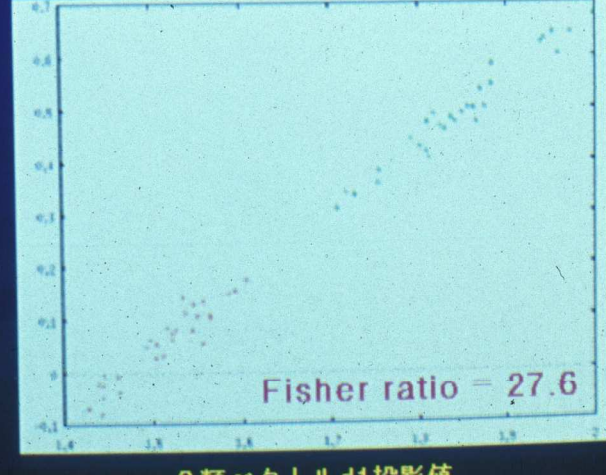
Non good separation of The 2 groups(FR= 3.9)

正常肝臓と肝硬変の分類結果

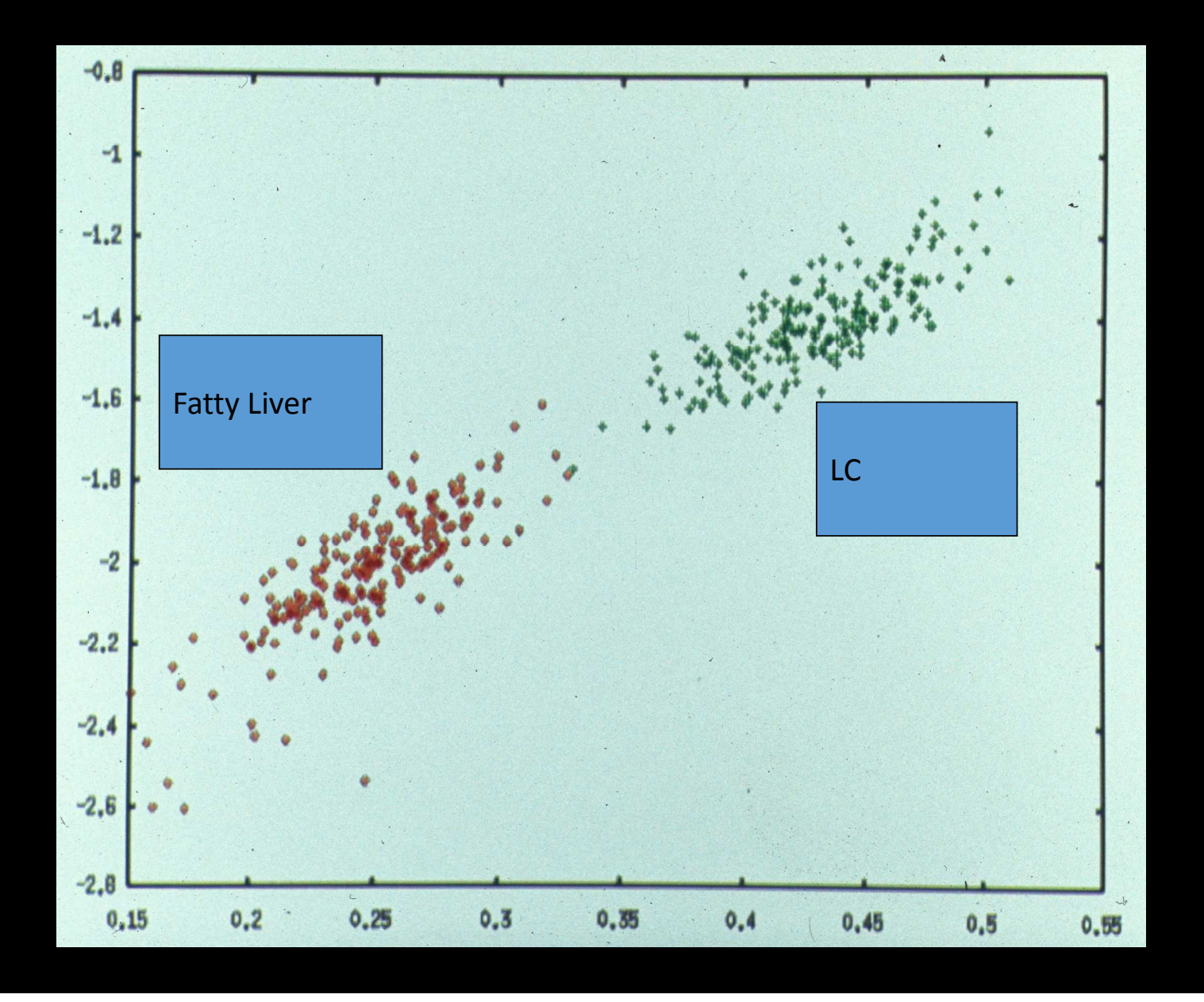


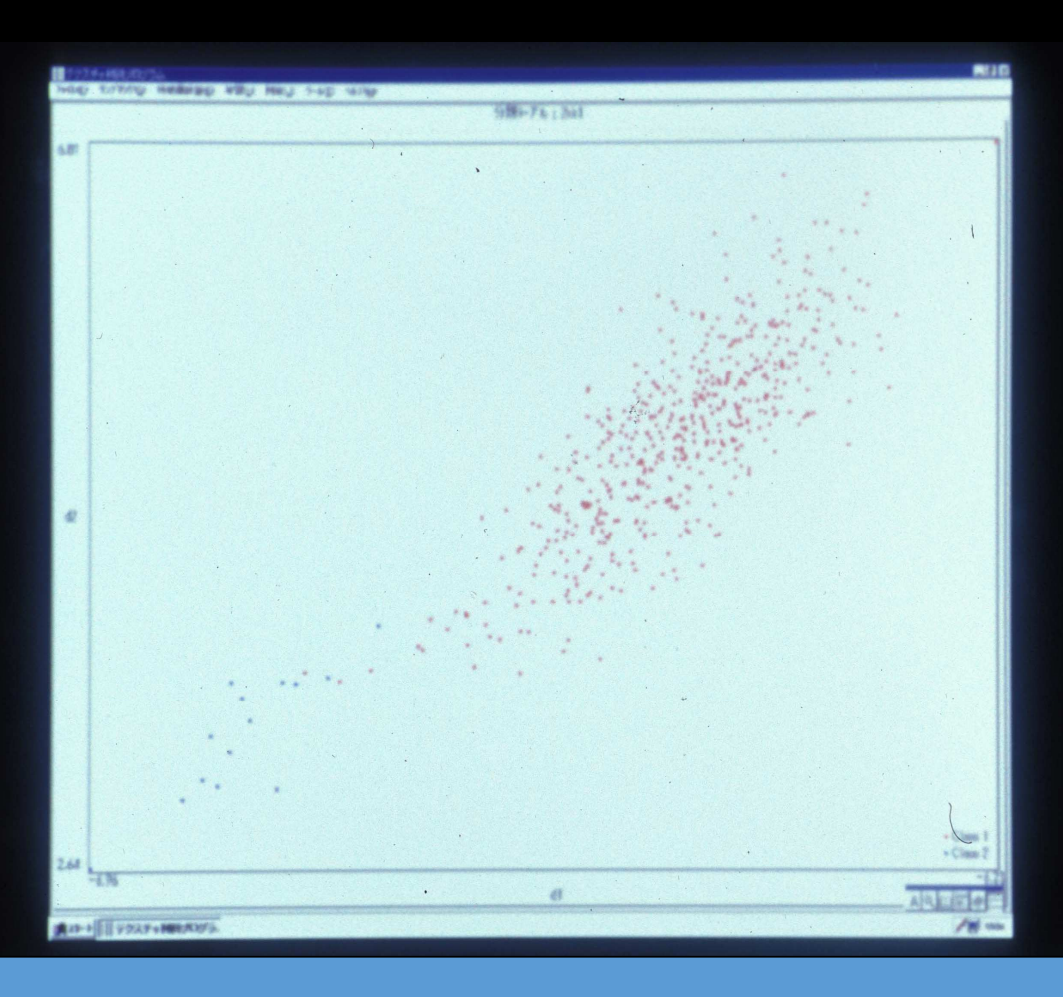




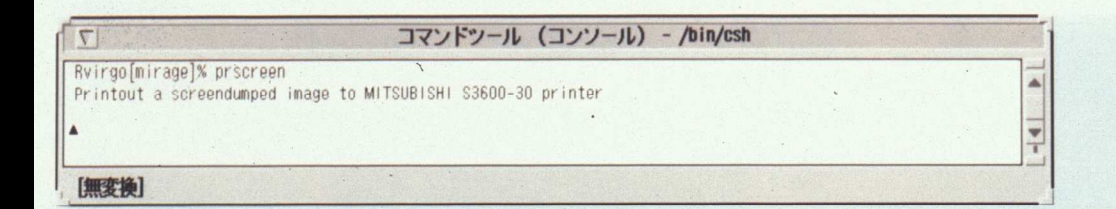


分類ベクトルd1投影値

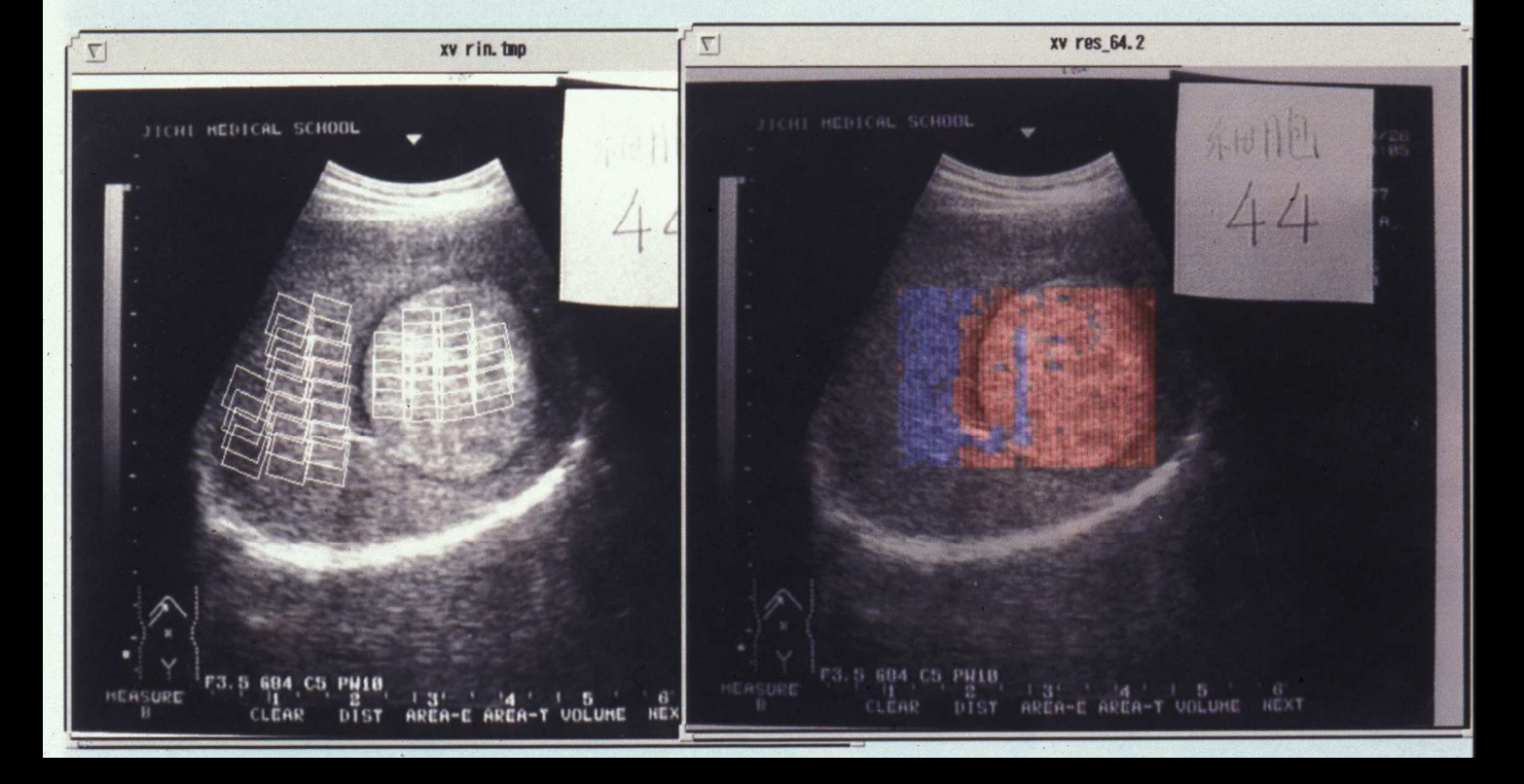




Normal Liver; 20 cases (red) and LC(blue) (FR=20.6)

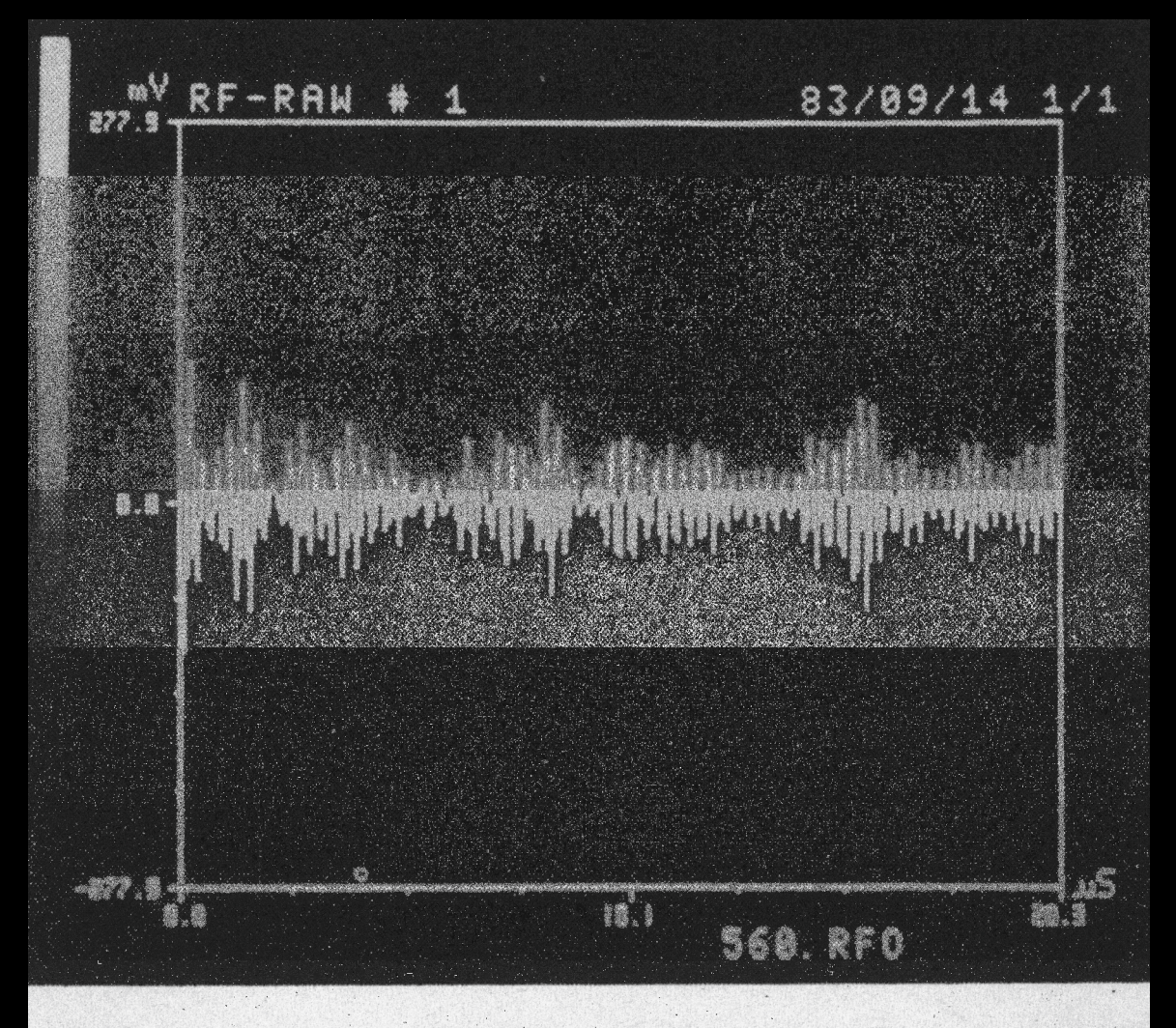






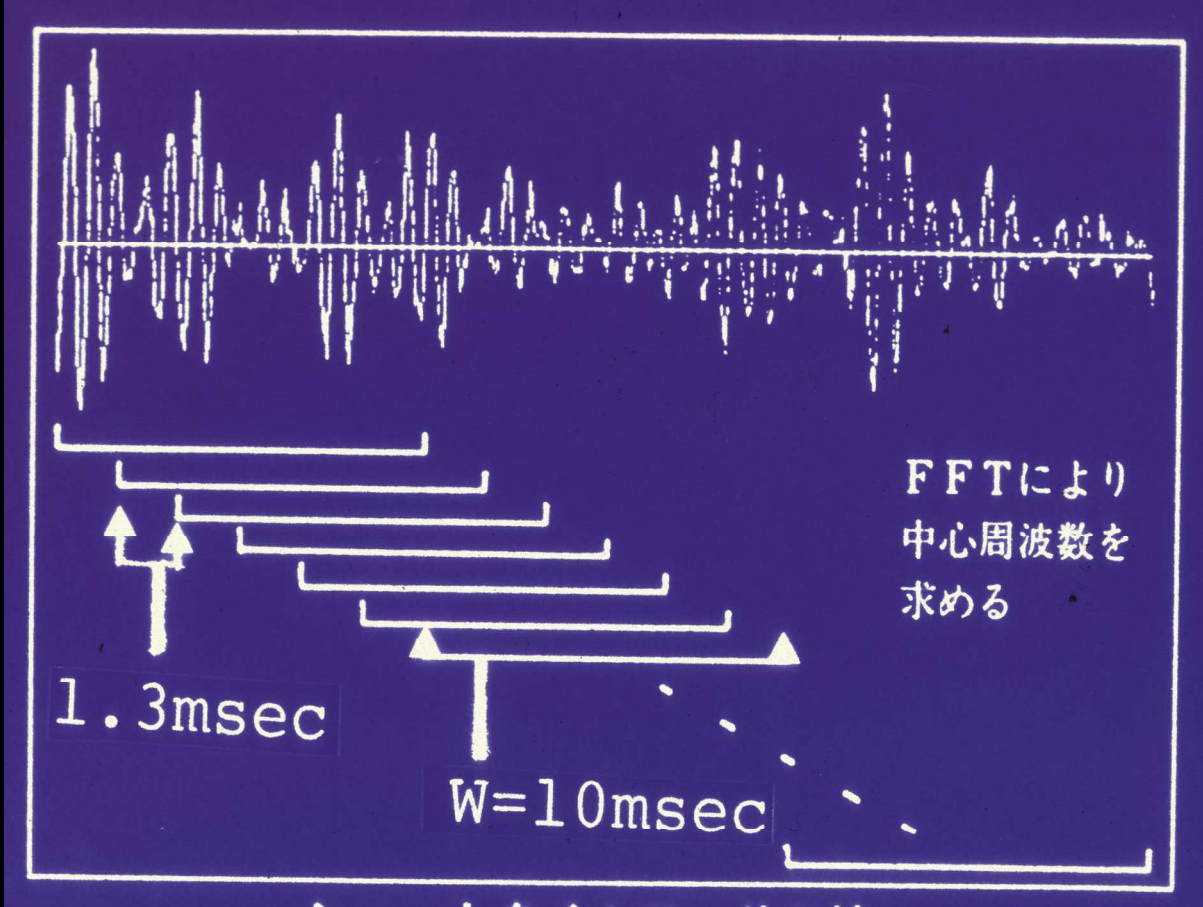
Quantitative Diagnosis using Ultrasound

- <Tissue Characterization>
 - * Acoustic parameters
 - Acoustic impedance, Sound velocity,
 - Attenuation, Elasticity,
 - * Information of tissue level
 - * Quantitative analysis

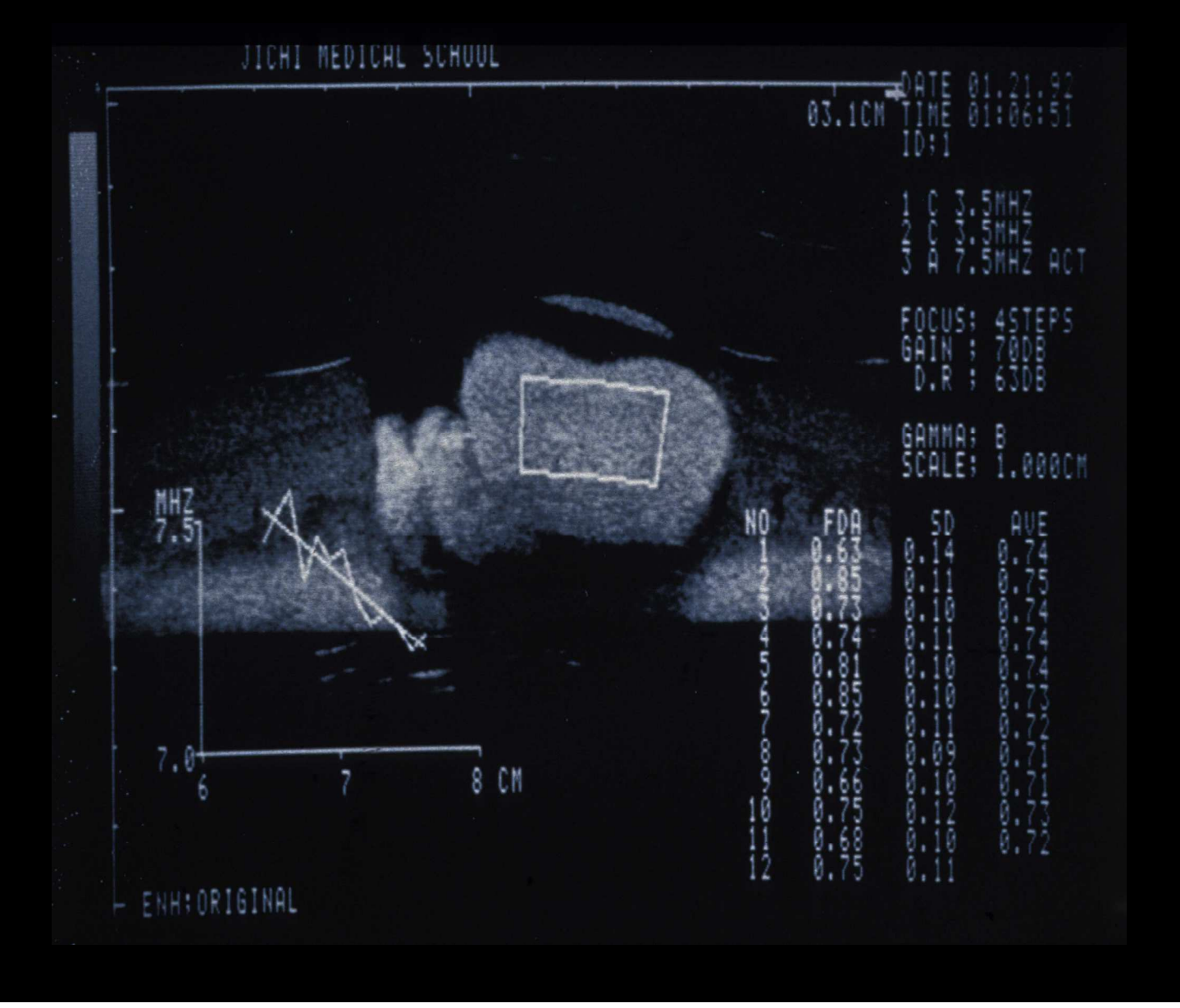


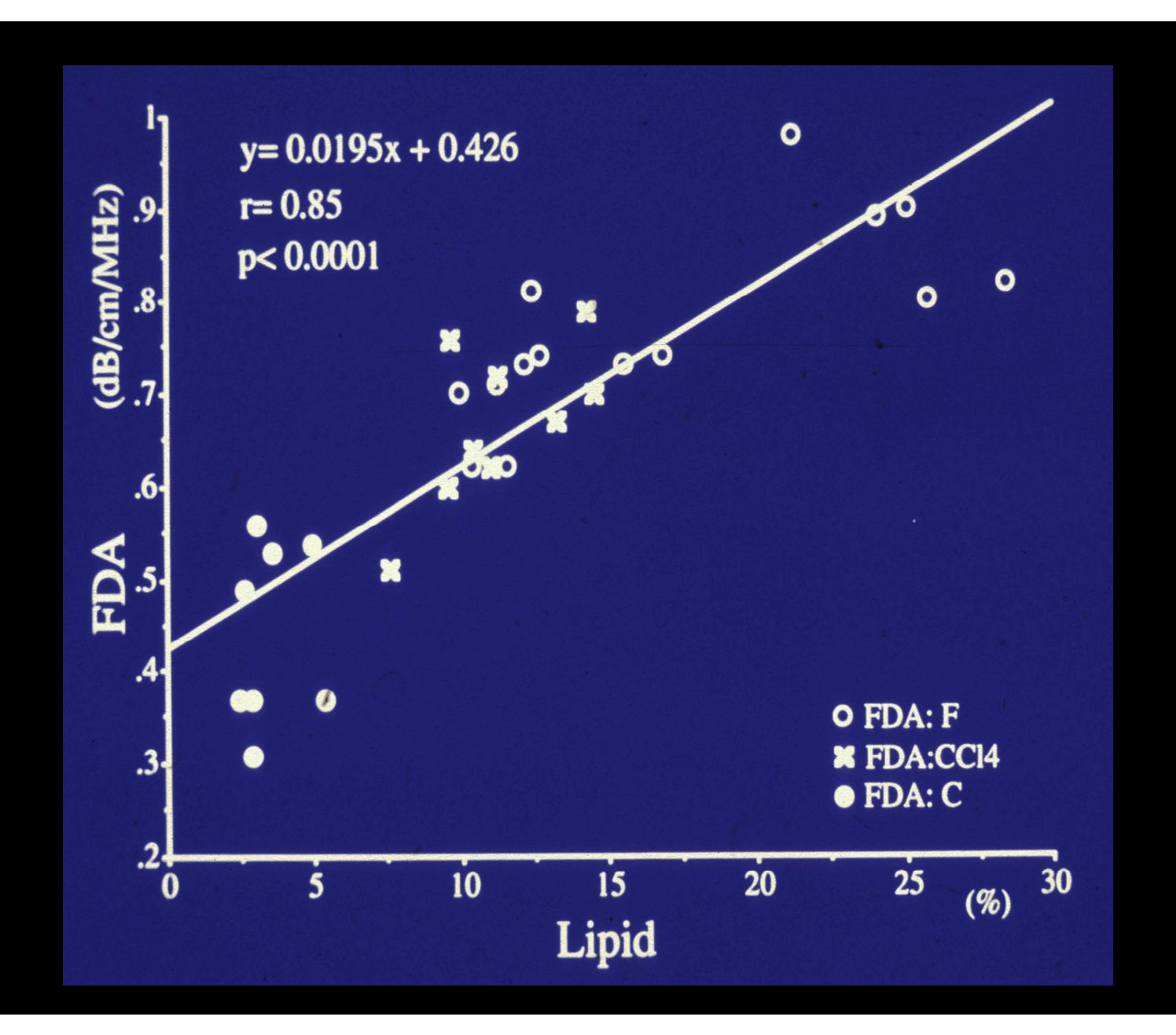
RFデータ

Short Time Fourier Analysis Spectral-shift mean-frequency



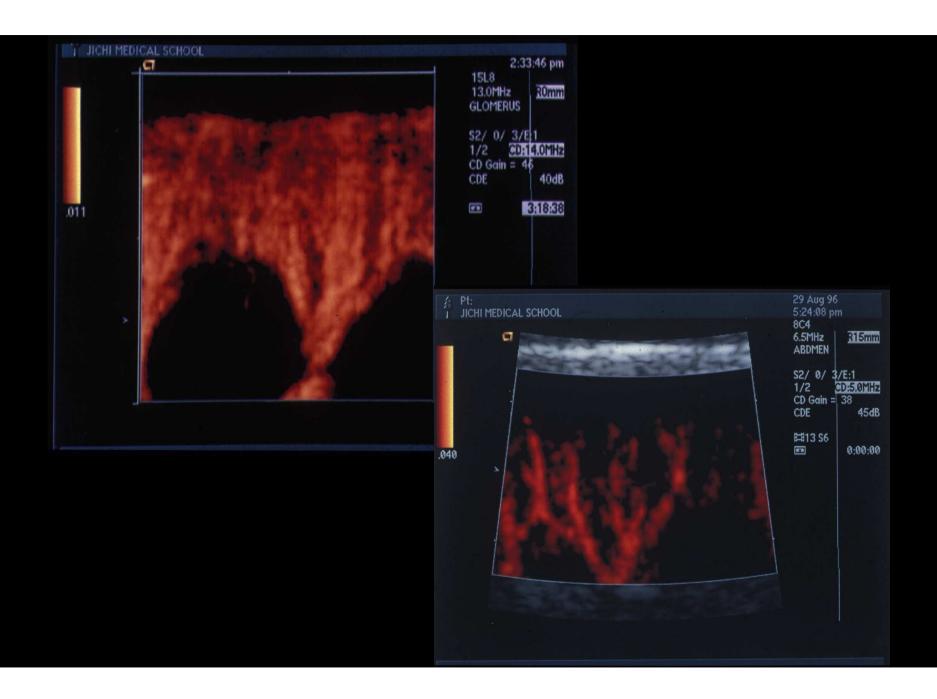
ショートタイムフーリエ法

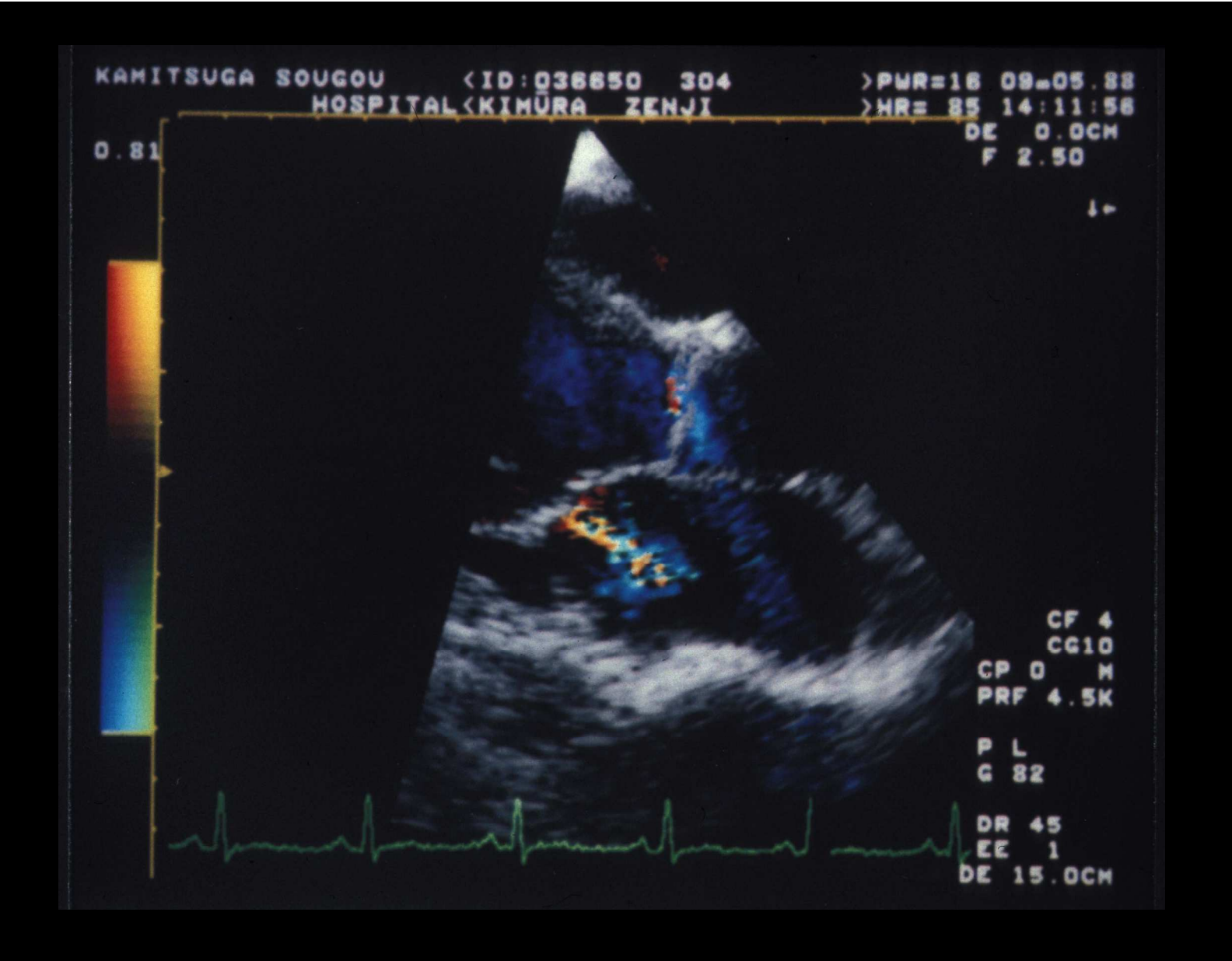


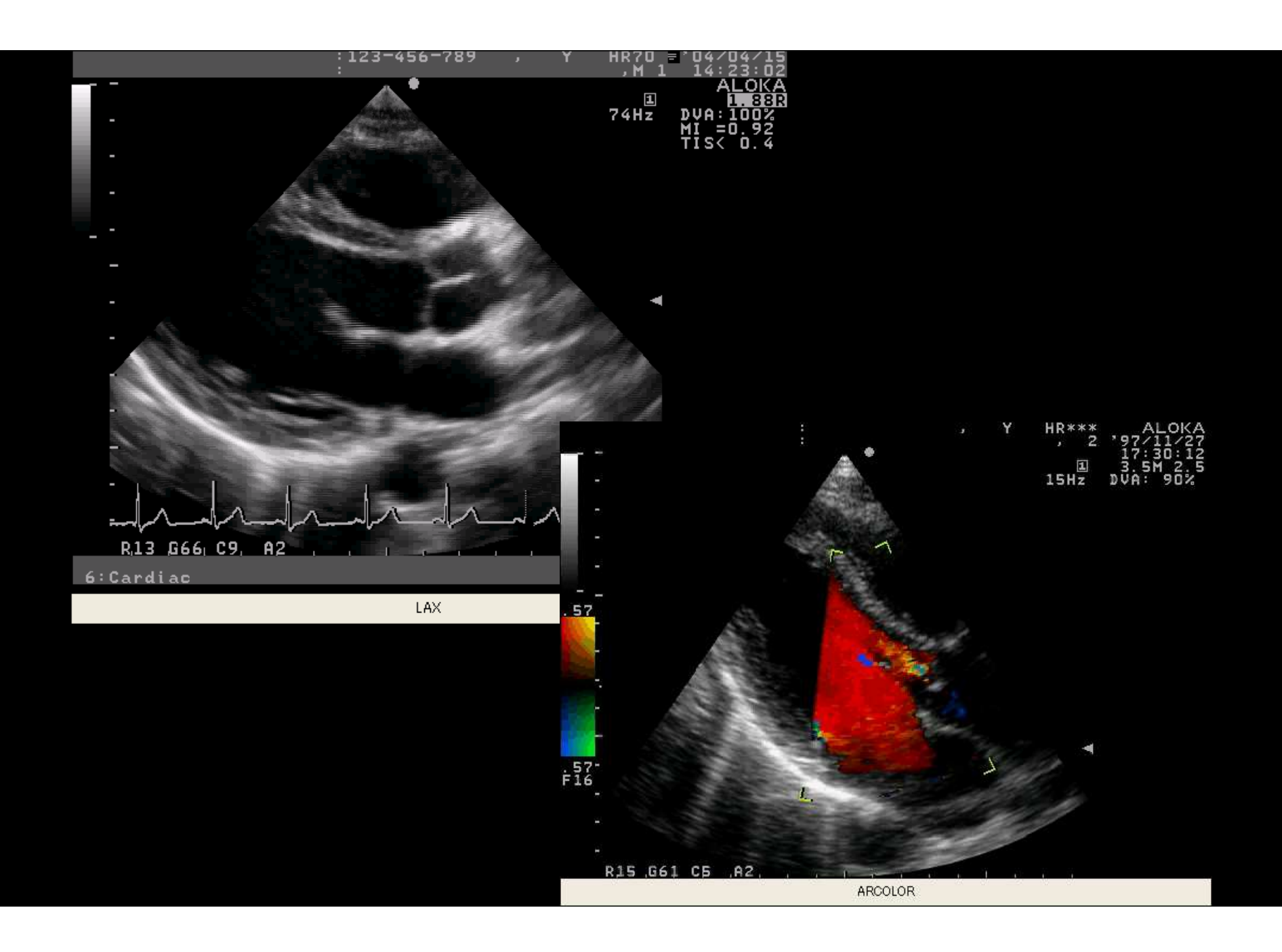


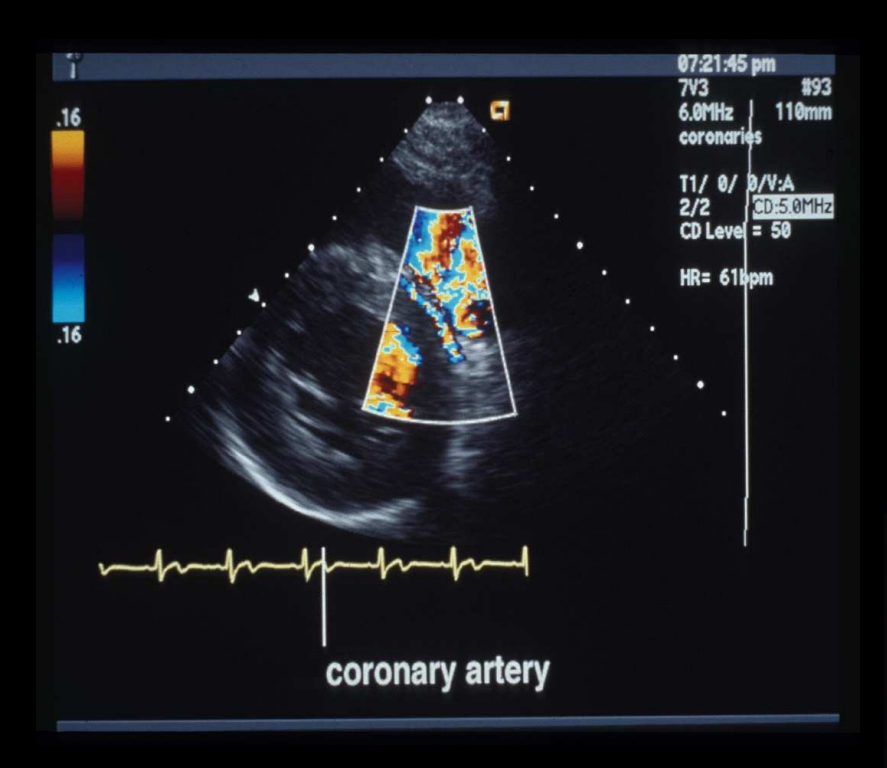
Tissue Level Informations

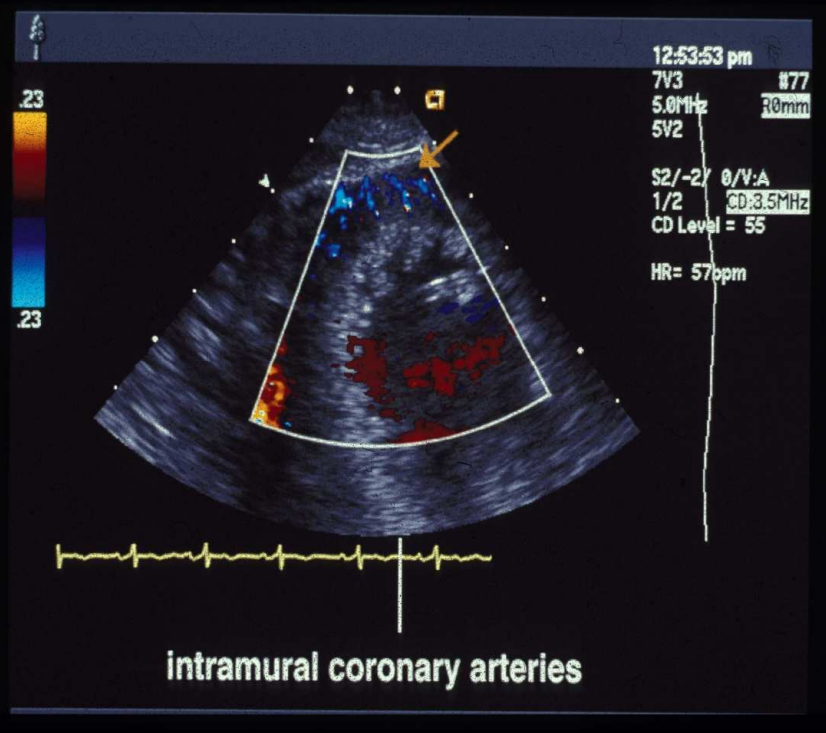
- Ultrasound Tomography
- Acoustic Tissue Characterization
- Blood Flow Information



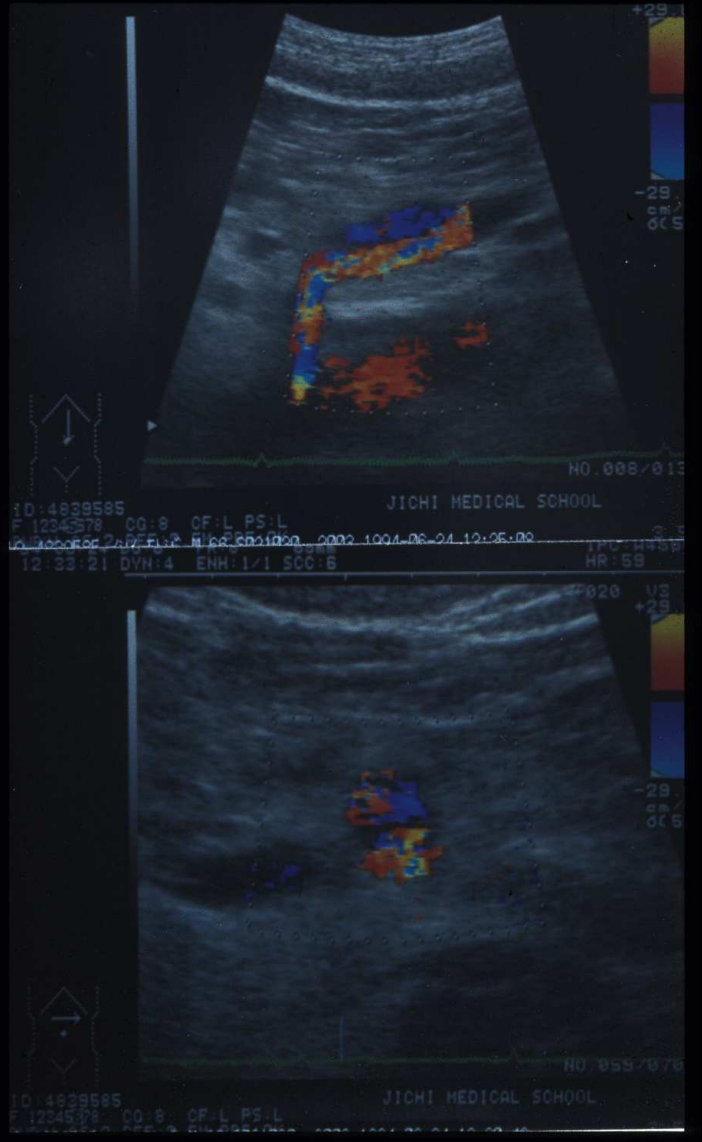


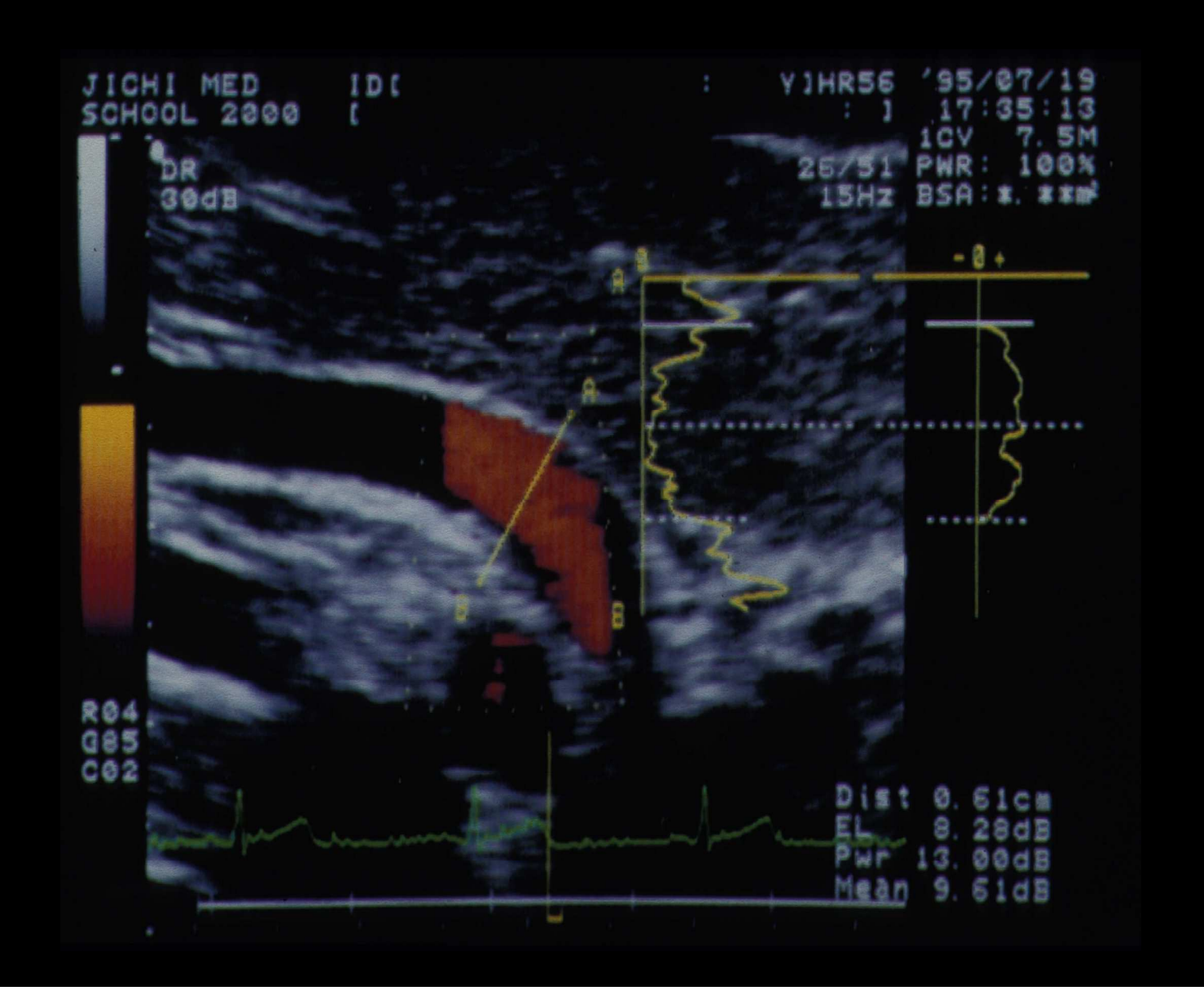


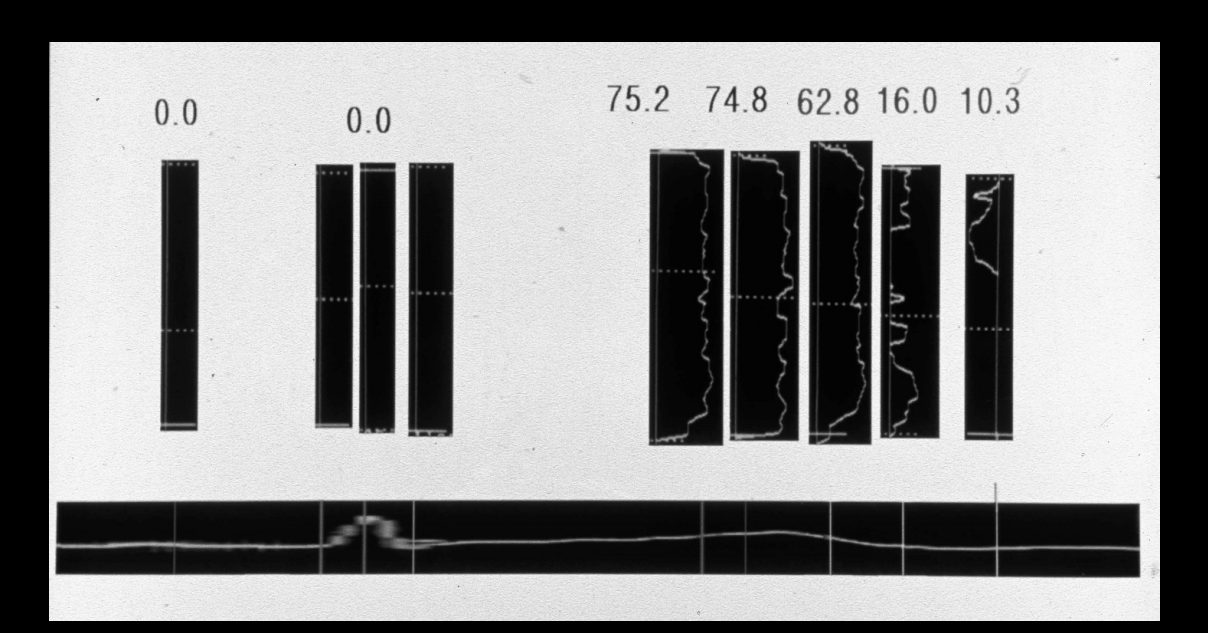


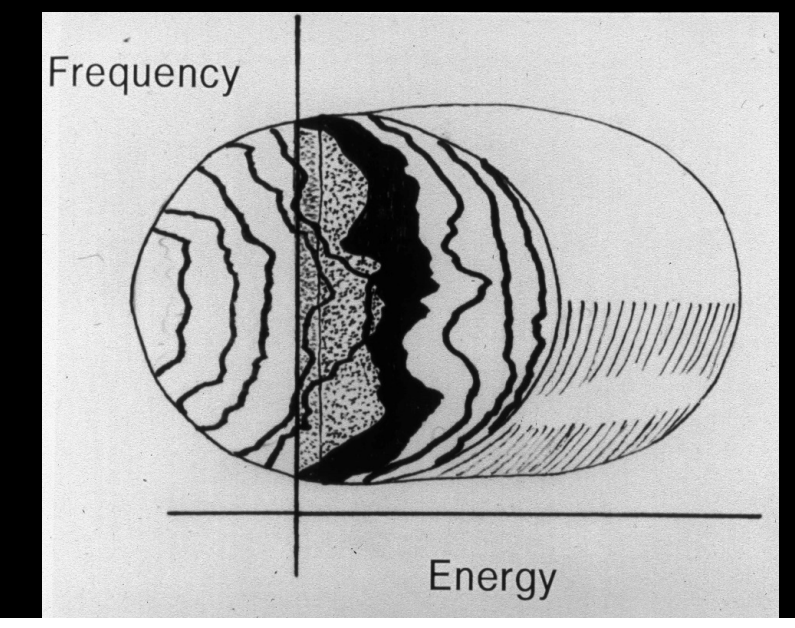


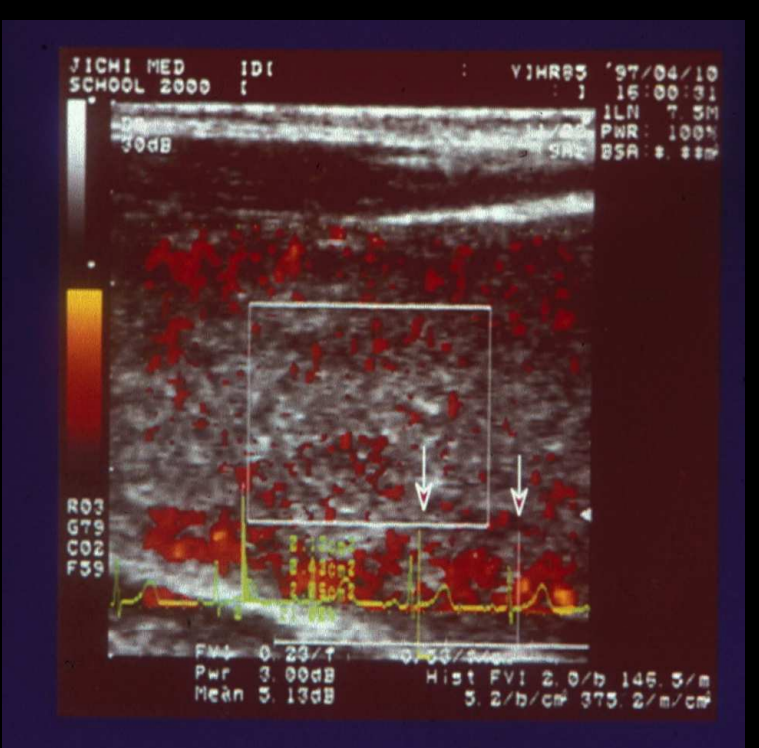












The ultrasound image is shown on the moniter, and the ROI is deliniated in the lesion or the site to be examined. Arrows are placed on the two adjacent R wave of the electrocardiogram simultaneously shown on the moniter. The computer then automatically calculates the total strength of Doppler signals per cardiac cycle in the ROI.

ISS

The index of signal strength per minute in the ROI.

$$F = \int_{t1}^{t2} \sum si pi dt$$

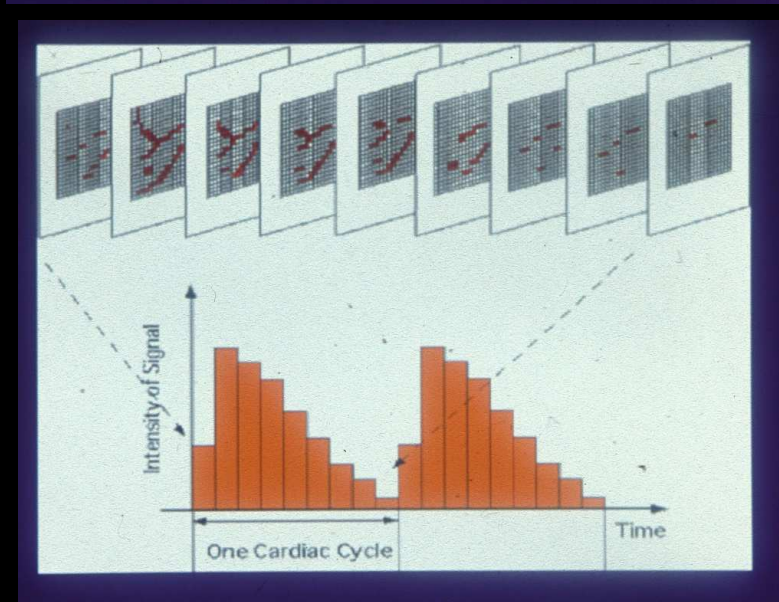
Equation for determing in total signal strength of accumulated Doppler signals during one cardiac cycle in the ROI.

F: tissue blood flow signals during one cardiac cycle in the region of interesting

t1-t2: one cardiac cycle

si: area of one pixel

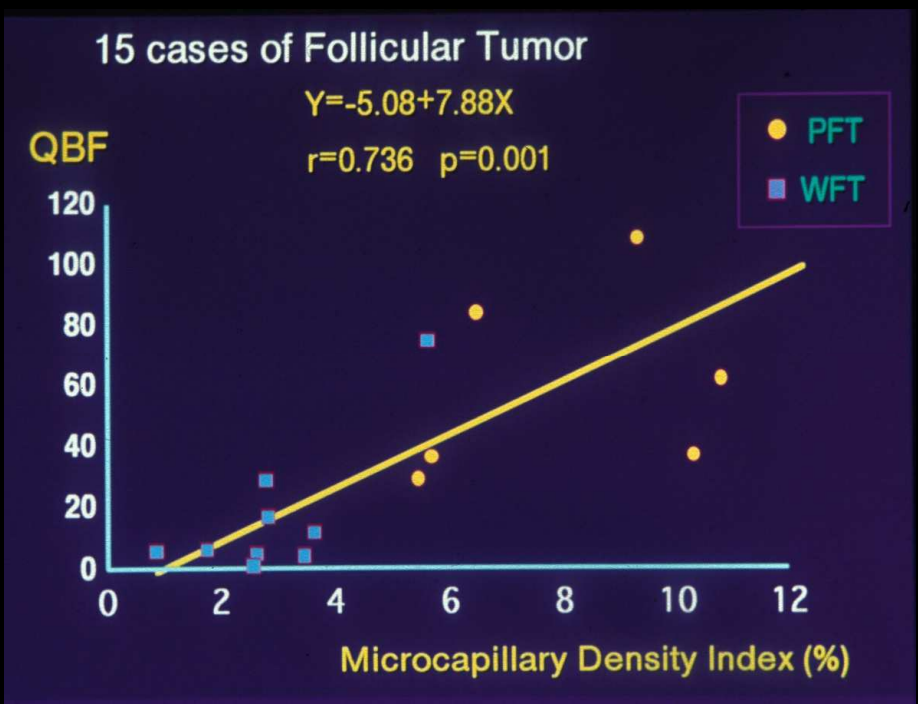
pi: intensity of power Doppler signals in one pixel



Schematic drawing of the equation



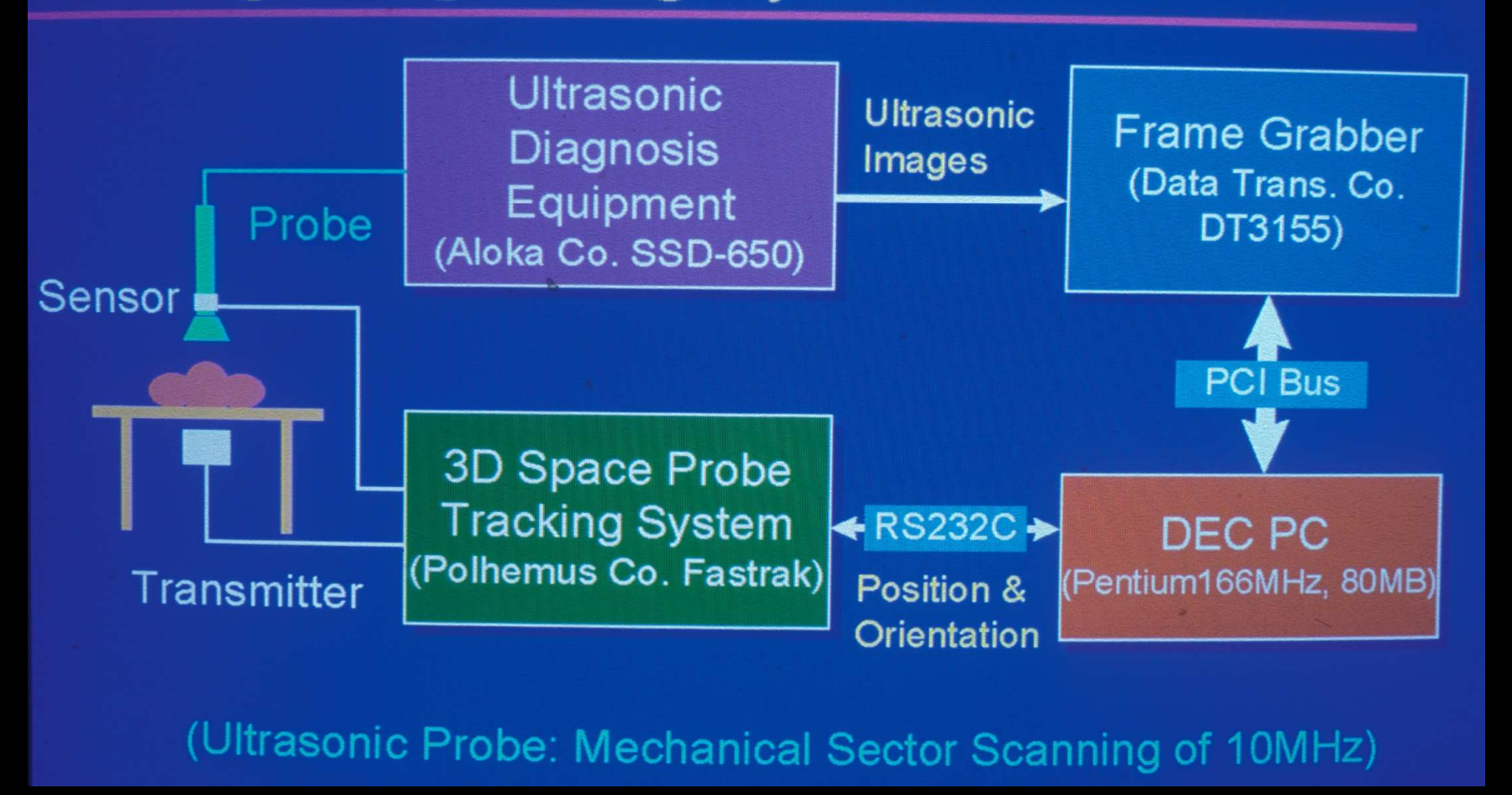
Microcapillary dencity index (%)

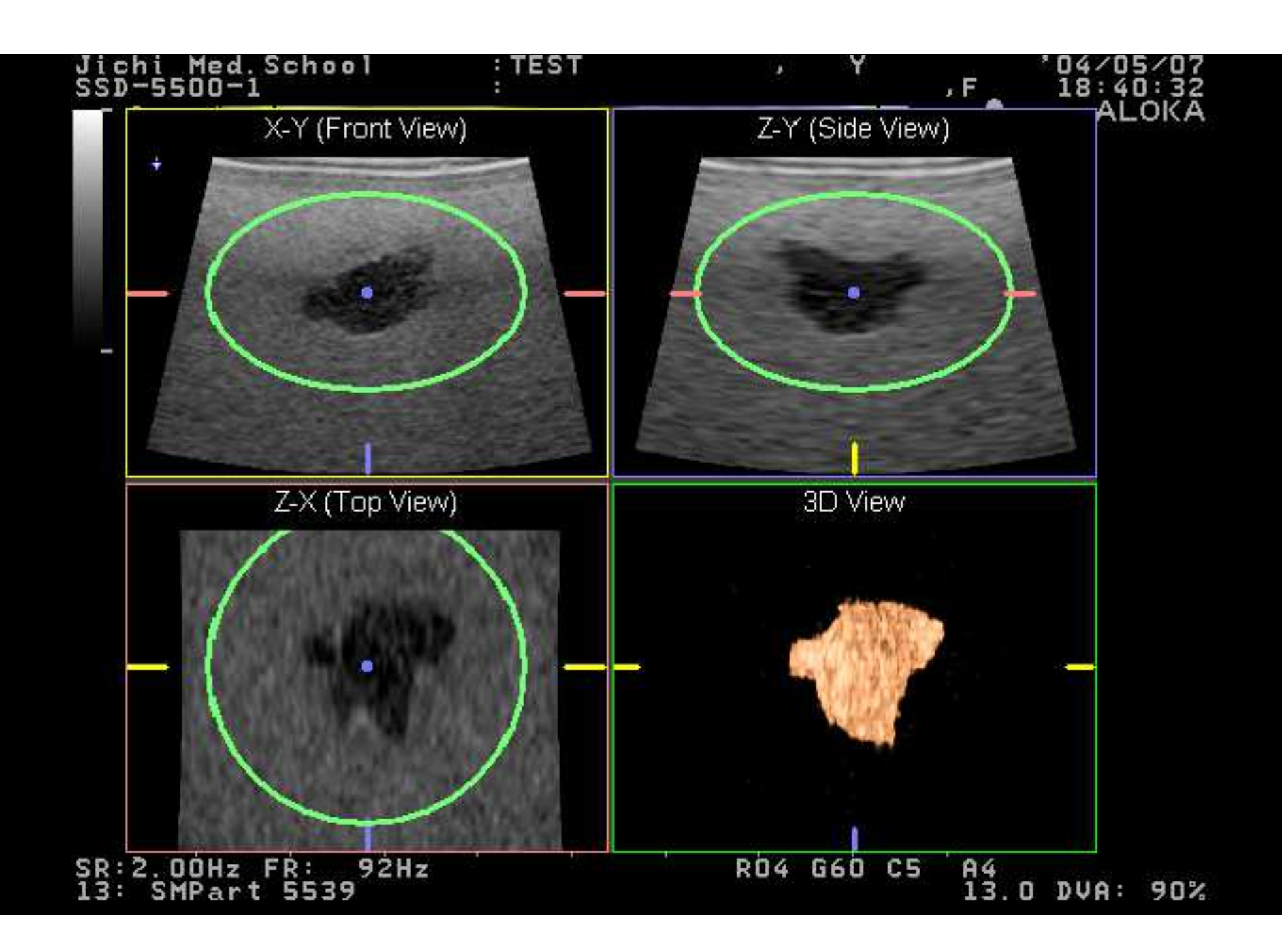


Volume measurement

- * Cardiac function;
 - Ejection fraction, Cardiac output, LV-volume, LV-muscle volume, LV-fractional shortning, MeanVcf,
 - etc.
- * Volume rendering of OB/GY
- * Growth parameter of fetus

Image Capturing System





Malignant Tumor

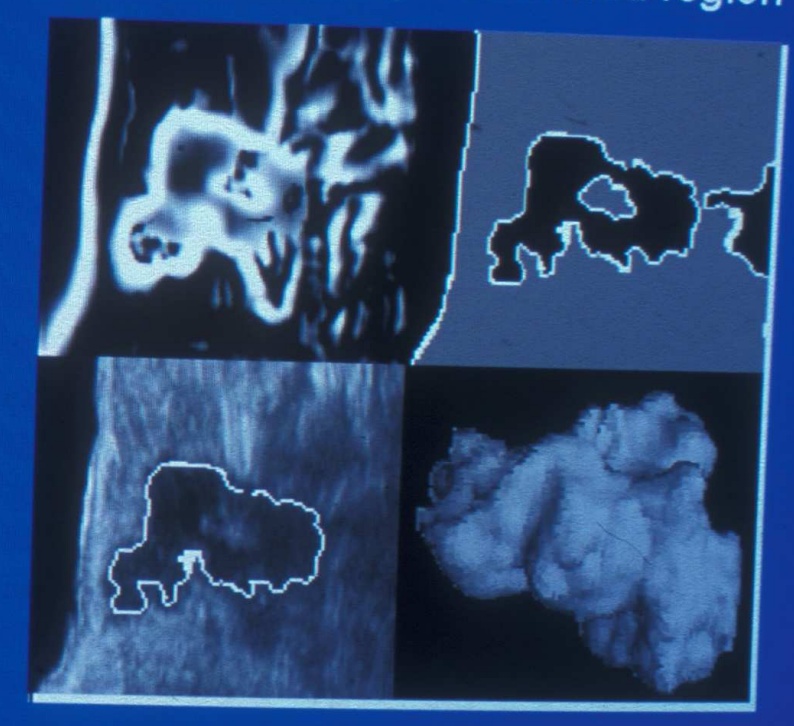
Original pixel data

Voxel data



Grade of tumor Grade of normal tissue

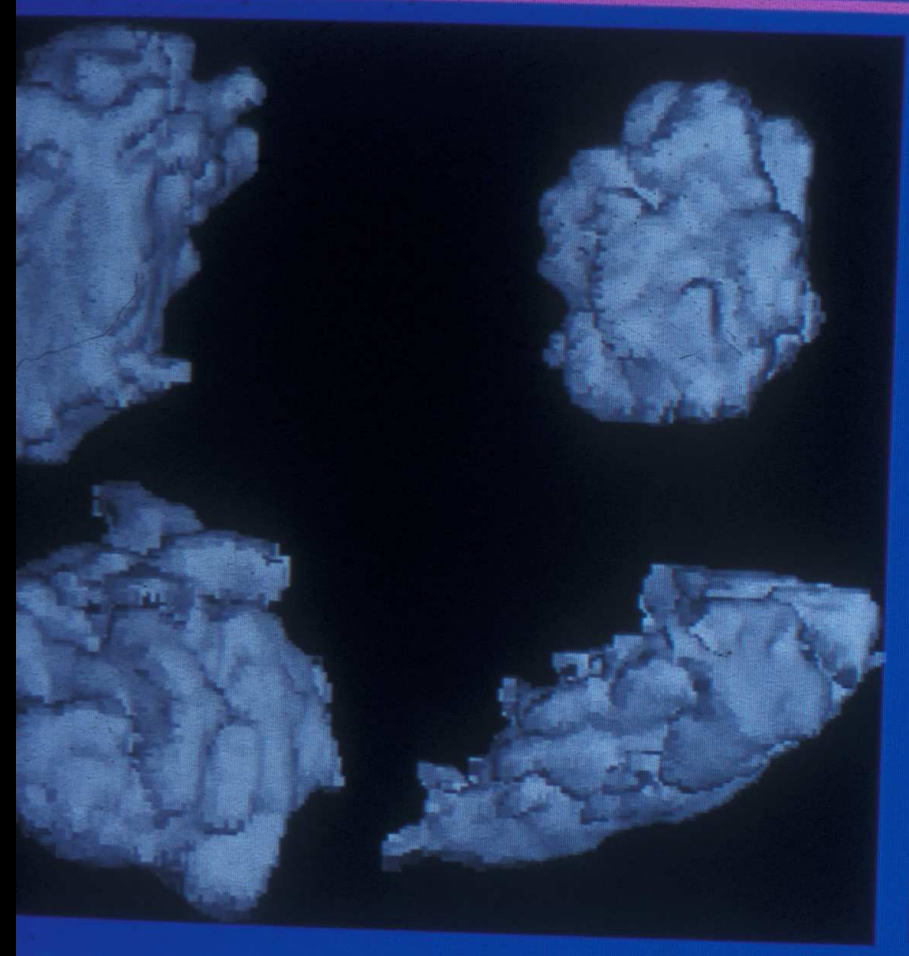
Grade of boundary Classified region



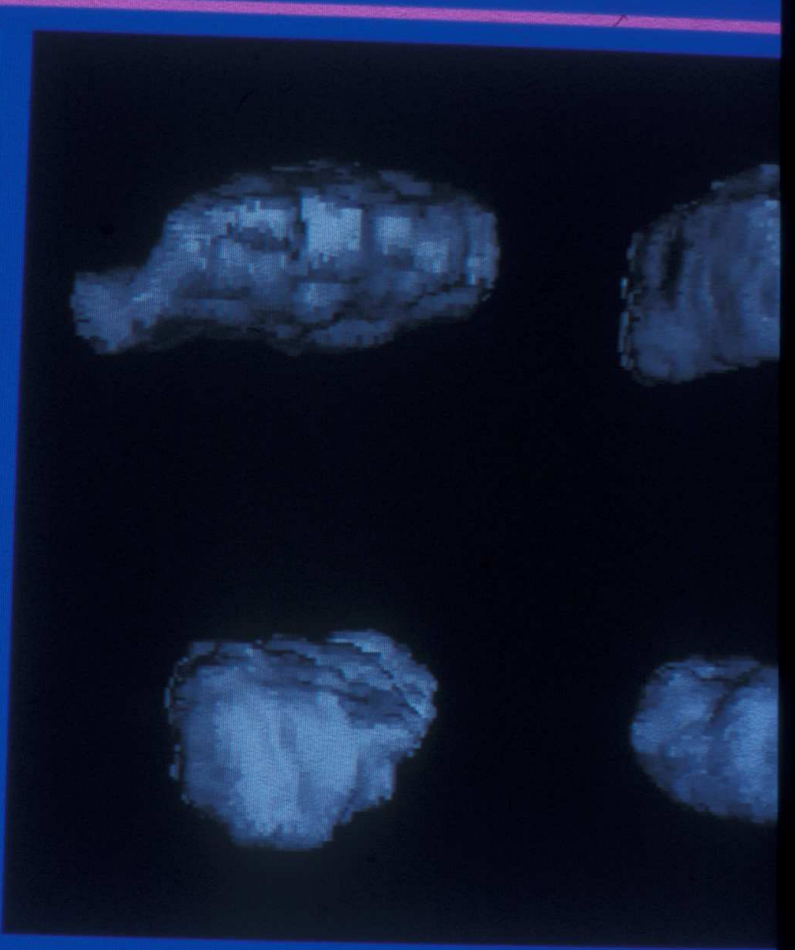
Extracted tumor

3D surface image

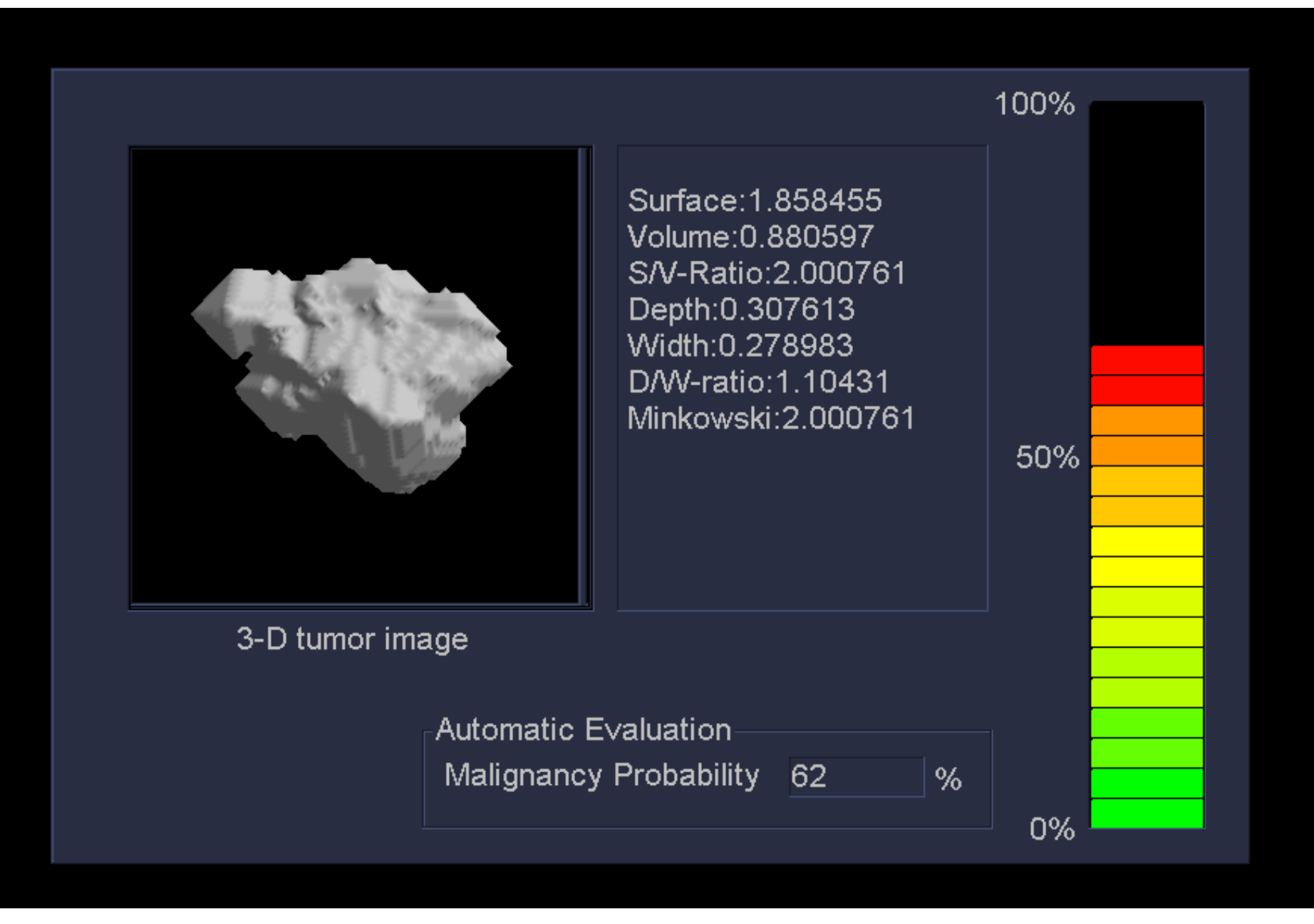
tracted Tumors



Malignant tumors



Benign tumors



まとめ

超音波による計量診断は可能になり、それは「疾病のグレード診断」への道を開くものであり、疾患に対する治療効果の評価に用いられるようになるものと考えられる。

超音波による診断は存在診断、部位診断、 質診断に加えて、グレーデイング(程度)診の 全てにおいて貢献することができる。

